

# Tehniium

REVISTĂ LUNARĂ EDITATĂ DE C.C. AL U.T.C.

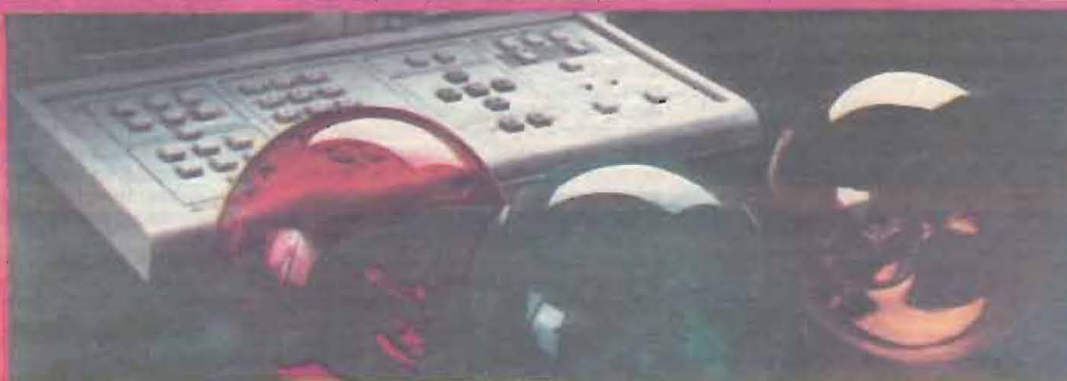
ANUL XIII - NR.156

11/83

## CONSTRUCȚII PENTRU AMATORI

### SUMAR

- LUCRAREA PRACTICĂ DE BACALAUREAT** ..... pag. 2—3  
Sursă suplimentară pentru ohmmetru
- RADIOTEHNICĂ PENTRU ELEVI** ..... pag. 4—5  
Disipația termică  
Divizor  
Filtru pentru rețea  
Millivoltmetru
- CQ-YO** ..... pag. 6—7  
Din lucrările Simpozionului național al radioamatorilor: Filtre în scară
- HI-FI** ..... pag. 8—9  
Ce știm despre discuri?  
Preamplificator
- AUTOMATIZĂRI** ..... pag. 10—11  
Alarmă pentru locuință  
Pentru acumulatori mici  
Automat pentru parbriz  
Convertor 6V/12V-8W
- MODELISM** ..... pag. 12—13  
Dirijabilul AKRON
- AUTO-MOTO** ..... pag. 14—15  
Autoturismele OLCIT:  
Performanțe
- FOTOTEHNICĂ** ..... pag. 16—17  
Temporizator foto  
Sertar  
Lămpi cu oglindă rece
- CITITORII RECOMANDĂ** ..... pag. 18—19  
Ionizator de aer  
Aparate de măsură cu indicație optică
- TEHNICĂ MODERNĂ** ..... pag. 20  
Televiziunea în culori
- PUBLICITATE** ..... pag. 21  
I.A.E.M. — Timișoara
- REVISTA REVISTELOR** ..... pag. 22  
432—144 MHz  
Termometru  
Tx-QRP  
Amplificator
- MEMORATOR** ..... pag. 23
- SERVICE** ..... pag. 24  
IRK 502 AL



## TELEVIZIUNEA ALB-NEGRU ȘI COLOR

(CITIȚI ÎN PAG. 20)

## SURSA SUPLEMENTARĂ PENTRU OHMMETRU

### GENERALITĂȚI

Majoritatea ohmmetrelor analogice folosesc pentru măsurarea rezistențelor, pe scara X 1000 Ω, surse suplimentare de tensiune continuă. Astfel, un ohmmetru care are ca sursă de bază un element de 1,5 V, pentru măsurări pe scara X 1000 Ω necesită o sursă suplimentară de 12-15 V. Dacă sursa de bază a ohmmetrului este o baterie de 4,5 V, atunci pentru măsurarea rezistențelor pe scara X 1000 Ω necesită o sursă de 30-40 V. Baterii sau acumulatori cu tensiuni de 12-15 V, respectiv 30-40 V, sînt greu de găsit la dimensiuni acceptabile.

Un redresor care debitează tensiunile de mai sus complică montajul de măsură și, în plus, apare dependența de o rețea de alimentare cu energie electrică.

Ing. ANDREI BOROȘ

Pentru a compensa aceste neajunsuri, am conceput o sursă de alimentare care poate debita un curent maxim de 0,2 mA la o tensiune de 13,6 V. Aceste mărimi de ieșire sînt suficiente pentru măsurări pe scara X 1000 Ω, cu ohmmetrele încorporate în AVO-metrele industriale.

Ca exemplu, sursa suplimentară poate fi folosită la AVO-metrele sovietice care utilizează ca sursă de bază un element de 1,5 V sau la AVO-metrul german NIII. Pentru un

AVO-metru sovietic, prin secționarea unei baterii „Pionier”, obținem două elemente R10; unul va fi folosit ca sursă de bază, iar celălalt pentru alimentarea convertorului. Pentru AVO-metrul NIII vor fi folosite tot două elemente, dar de tip R6.

### SCHEMA BLOC A SURSEI SUPLEMENTARE

În figura 1 este prezentată schema-bloc. Ca sursă de alimentare a convertorului este ales un element galvanic de 1,5 V tip R6, R10 sau R14, deoarece acestea au gabarit redus și o capacitate suficient de mare pentru scopul propus.

Dacă problema gabaritului nu se pune în mod deosebit, atunci poate fi folosit și elementul de tip R20. Întrerupătorul K stabilește alimentarea cu tensiune a oscilatorului, realizat cu un tranzistor cu germaniu. Acesta permite ca pierderile datorate rezistenței de saturație colector-emitor să rămână reduse. Folosind un tranzistor de comutație cu germaniu, pierderile vor fi și mai reduse.

Frecvența de lucru este de cca 8 kHz.

Redresorul este construit cu o

tenței ce se măsoară cu ohmmetrul pe scara X 1000 Ω. Deoarece curentul de măsurare nu depășește 100 μA, este suficientă o stabilizare parametrică realizată cu dioda Zener.

### SCHEMA DE PRINCIPIU. FUNCȚIONARE

Avînd în vedere puterea debitată redusă, ne-am orientat spre schema unui convertor cu bobină de șoc de acumulare, urmat de un stabilizator. Schema de principiu a ansamblului este prezentată în figura 2, unde am notat:

- $U_B$  = tensiunea la borne a elementului galvanic;
- $u_s, u_c$  = valori instantanee ale tensiunilor pe înfășurarea  $n_s$ , respectiv  $n_c$ ;
- $i_c$  = valoarea instantanee a curentului de colector;
- $U_s$  = tensiunea continuă la intrarea în stabilizator;
- $n_c, n_b, n_s$  = înfășurări de colector, bază, sarcină.

Începuturile înfășurărilor au fost marcate cu un punct.

Schema este simplă și practic nu necesită reglaje.

Ca avantaje importante menționăm că:

a) nu necesită circuit special de amorsare, deoarece în momentul pornirii dioda D este blocată;

b) raportul de transformare  $\frac{n_c}{n_s}$  poate fi mai mic decât  $\frac{U_s}{U_B}$ , deci nu-

mărul de spire în înfășurarea  $n_c$  poate fi mai mic decât la convertorul cu transformator.

Faptul că valoarea rezistenței de ieșire a convertorului este mare este evident un dezavantaj. Vom elimina acest dezavantaj cuplînd ieșirea convertorului la intrarea unui stabilizator. În acest fel vom obține pentru convertor un regim de sarcină constantă.

În momentul conectării tensiunii  $U_B$ , curentul de colector începe să crească liniar. Acesta induce în înfășurarea  $n_s$  un curent care comandă baza tranzistorului în sensul deschiderii.

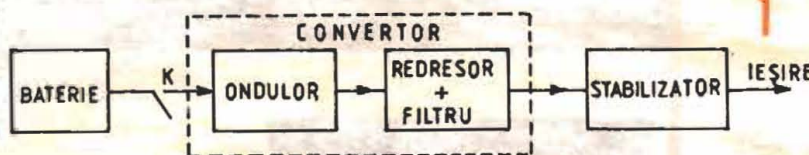


Fig. 1: Schema bloc a sursei suplimentare pentru ohmmetru, scara x 1000 Ω.

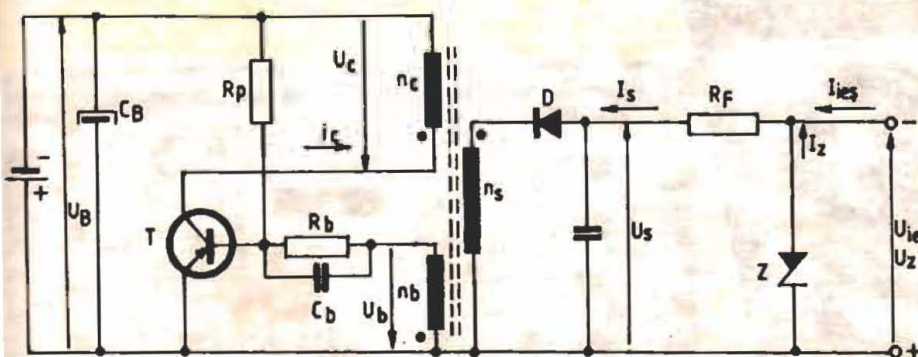


Fig. 2: Schema explicativă pentru ansamblul convertor - stabilizator.

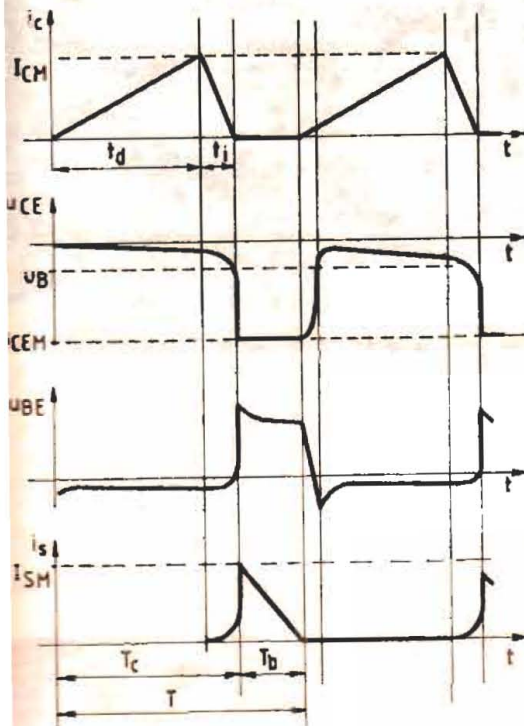


Fig. 3: Reprezentările grafice ale mărimilor variabile în schema din figura 2.

diodă detectoare cu germaniu, tot pentru a avea pierderi cât mai mici. Curentul de sarcină fiind mic, filtrajul tensiunii redresate nu pune probleme deosebite. Se poate folosi un filtru RC.

Stabilizatorul de tensiune este necesar din două motive:

a) Tensiunea la bornele elementului galvanic scade odată cu învechirea lui. Scăderea de tensiune s-ar transmite și la ieșirea convertorului.

b) Curentul absorbit din convertor în timpul măsurării are valori diferite, în funcție de valoarea rezis-

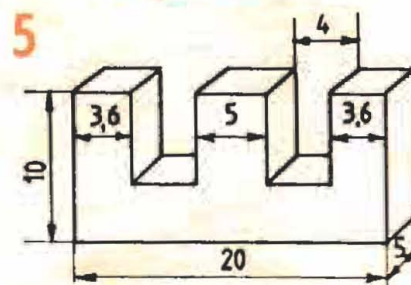


Fig. 4: Schema de principiu cu valorile pieselor.

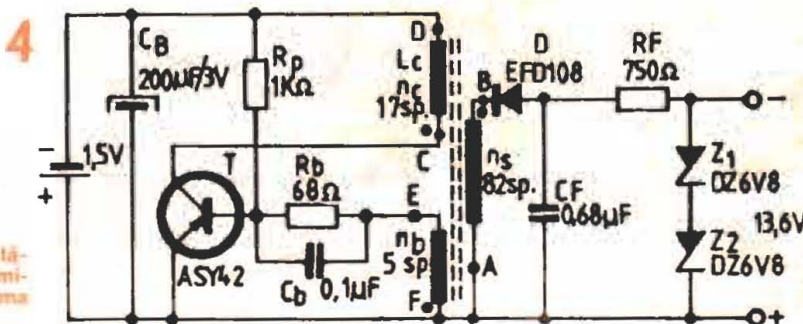


Fig. 5: Miez ferită tip E20.

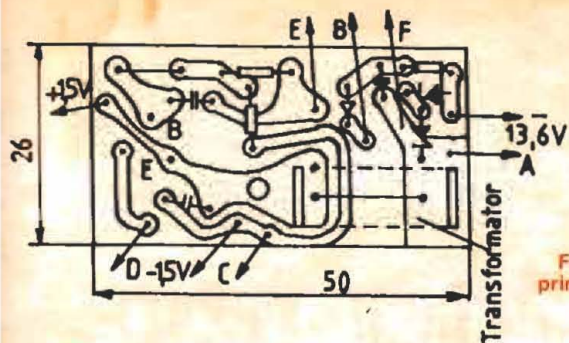


Fig. 6: Cablajul imprimat — fața placată

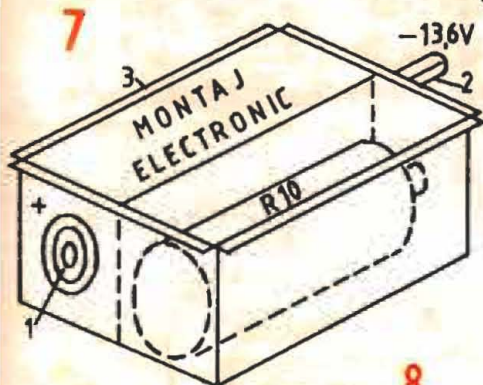


Fig. 7: Alimentator 13,6 V pentru ohmmetru. Schiță de montaj

1. Bucșă izolată care realizează și întrerupătorul
2. Fișă banană izolată (borma -13,6 V)
3. Faț pentru capac

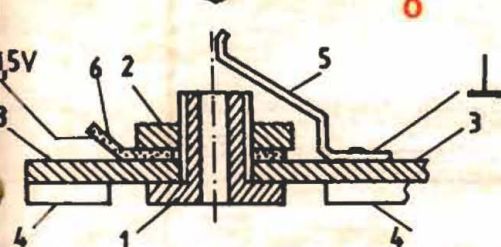


Fig. 8: Secțiune prin contactul K

1. Bucșă radio
2. Piulița bucșei
3. Perete interior din material plastic
4. Perete exterior din tablă
5. Lamelă elastică
6. Papuc care se leagă la -1,5 V

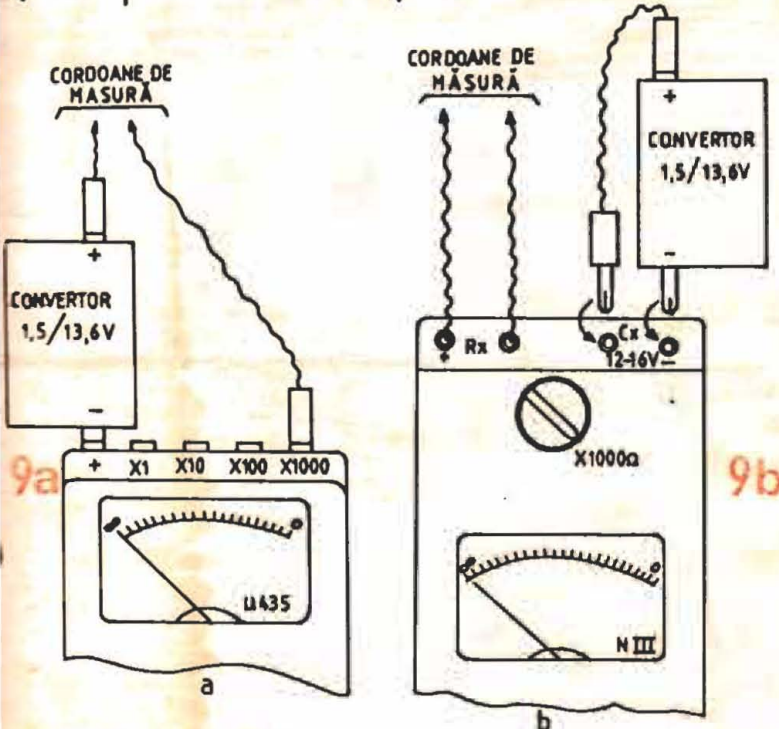


Fig. 9: Modul de legare a sursei la ohmmetru a) tip U.R.S.S. (U435); b) tip R.D.G. (N III)

Valoarea maximă a curentului de colector ( $I_{CM}$ ) este limitată numai de valoarea rezistenței înfășurării  $n$ , ( $r$ ), și de valoarea rezistenței de saturație a spațiului colector emitor ( $\gamma_{sat}$ ) al tranzistorului.

$$I_{CM} = \frac{U_B}{\gamma_{sat} + r}$$

Sensul înfășurării  $n$ , este astfel ales încît în timpul de conducție a tranzistorului dioda  $D$  nu conduce.

În momentul cînd curentul de colector a ajuns la valoarea  $I_{CM}$ , tensiunea  $U_{BC}$  se anulează și tranzistorul se blochează.

Tensiunile induse își inversează sensul, dioda  $D$  se deschide și transferă în sarcină energia ce fusese în-

$$= \frac{1}{2} L_c I_{CM}^2$$

Circuitul de sarcină este alimentat tot timpul cînd tranzistorul este blocat.

Timpii de conducție ( $T_c$ ) și de blocare ( $T_b$ ) ai tranzistorului sînt dați de relațiile:

$$T_c = \frac{L_c \cdot I_{CM}}{U_B}$$

$$T_b = \frac{L_c \cdot I_{CM}}{\frac{n_c}{n_s} \cdot U_S}$$

În figura 3 sînt reproduse, în funcție de timp, curentul și tensiunea de colector ( $i_c$ ,  $u_c$ ), tensiunea bază-

Energia înmagazinată în înfășurarea  $n$ , nu depinde decît de inductanța ei și de curentul de colector maxim. De aici rezultă că puterea debitată de convertor nu depinde de valoarea rezistenței pe care debitează.

Pentru o bună filtrare a tensiunii redresate este necesar ca  $R_f C_f > T_b +$

$$+ T_c = \frac{1}{f}$$

unde  $f$  este frecvența de lucru.

Pierderile cele mai mari din convertor apar în tranzistor, în miezul magnetic și în dioda redresoare.

În general, randamentul  $\eta$  al unui asemenea convertor cu bobină de șoc de acumulare este de 50-80%.

### ALEGEREA COMPONENTELOR, REALIZARE PRACTICĂ

Schema realizată, cu valorile pieselor, este prezentată în figura 4. Tranzistorul va fi de tipul ASY42, 2N527 sau asemănătoare, dar funcționează foarte bine și tranzistoarele de tip AC180, AC184, AC188.

Pentru redresare se va folosi o diodă detectoare cu germaniu de tip EFD 108 sau alta echivalentă cu tensiune inversă admisă de 50 V.

Diodele Zener vor fi de tip DZ6V8 (0,3 W), pentru ca rezistența diferențială să fie minimă, chiar și la curenți mici.

Rezistențele sînt de 0,25 W, tip miniatură, cu peliculă de carbon.

Condensatorul  $C_s$  are rolul de a sunta rezistența internă a elementului galvanic, care crește în timp.

Se recomandă  $C_s \geq 200 \mu F/3V$ .

Condensatoarele  $C_1$  și  $C_2$  vor fi de tip MYLAR la 100 V.  $C_1$  are valoarea de  $0,1 \mu F$ , iar  $C_2 \approx 0,68 \mu F$ .

Rezistențele  $R_1$  și  $R_2$  se folosesc pentru pornirea mai rapidă a montajului (polarizare inițială).

Condensatorul  $C_3$  are rol de accelerare a comutării tranzistorului. Bobina de șoc  $n$ , și înfășurările  $n_s$ ,

vor fi executate pe un miez de ferită, format din două jumătăți E20 cu constanta  $A_L = 630 \text{ nH/sp}^2$ .

Se poate folosi cu succes miezul transformatorului de atac al etajului final de linii din televizorul portabil „Sport”.

Dimensiunile miezului sînt date în figura 5. Înfășurarea de colector are 17 spire, iar cea de bază 5 spire. Sîrma de bobinaj va fi de tip CuEm 0,5 mm. Înfășurarea de sarcină  $n$ , va avea 82 de spire din sîrmă CuEm 0,1 mm. Între înfășurarea de sarcină și celelalte două înfășurări se pune un strat izolant din hîrtie de condensator. În mod obligatoriu se va păstra sensul de bobinare pentru toate înfășurările, notînd începuturile.

În lipsa unui miez tip E20 se mai poate folosi și un miez din ferită tip oală  $18 \times 11$ , cu constanta de inductanță  $A_L = 630 \text{ nH/sp}^2$ .

Dacă amatorul dispune de un miez ale cărui performanțe nu le cunoaște, va realiza înfășurarea  $L_c$  prin măsurare la o punte. În lipsa punții, înfășurarea  $n_s$  se realizează prin încercări, bobinînd 10-20 spire;  $n_b$  și  $n_c$  rezultă știind că

$$\frac{n_c}{n_b} \approx 3 \text{ și } \frac{n_s}{n_c} = 5.$$

Indiferent de tipul miezului, înfășurările se vor bobina pe o carcasă confecționată din material plastic sau carton subțire.

Ansamblul realizat va fi prins pe plăcuța de cablaj imprimat cu un colier din tablă subțire.

După realizarea circuitului, putem modifica între oarecare limite tensiunea de ieșire  $U_s$ , schimbînd valoarea rezistenței  $R_n$ . Acest lucru este posibil deoarece adîncimea intrării în saturație a tranzistorului depinde de valoarea curentului de bază.

La măsurătorile finale au rezultat datele din tabelul alăturat.

Tensiunea $U_s$ (V)	Curentul absorbit $I_s$ (mA)	Tensiunea la ieșire $U_{sc}$ (V)	Curentul la ieșire $I_s$ (mA)	Randamentul
0,75	6,7	13,4	0,2	0,53
1,28	25	13,6	1,2	0,51

Dacă limităm scăderea tensiunii de alimentare a elementului galvanic la 1 V, tensiunea  $U_{sc}$  variază foarte puțin.

Desenul cablajului imprimat este dat la scara 1:1, în figura 6. Din cauza dimensiunii reduse a cablajului au fost trecute numai simbolurile componentelor. S-a indicat și modul de legare a cablajului la înfășurări.

Tot montajul se va introduce într-o cutie din material plastic cu dimensiunile de cca 60x60x30. Aceasta la rîndul ei va fi introdusă într-o cutie din tablă cu dimensiuni de cca 63x63x33. Cutia exterioară constituie un ecran electromagnetic pentru sursa noastră și se execută din tablă recuperată dintr-o cutie de conserve. Închiderea cutiei de tablă se face prin lipire cu cositor, iar a celei de plastic prin lipire cu dicloroetan sau benzen. Cutia din material plastic va avea două compartimente, într-unul din ele fiind montat elementul de 1,5 V.

Ecranul va avea două decupări pe doi pereți opuși, astfel încît să se poată monta izolat o bucșă radio și o banană.

Dimensiunile sînt date pentru folosirea ca sursă primară a unui element galvanic tip R10. La folosirea altui tip de element, dimensiunile cutiei se vor modifica în mod corespunzător.

În figura 7 este prezentată o schiță de amplasament a blocurilor în carcasa alimentatorului de 13,6 V.

În figura 8 este prezentat modul de realizare a comutatorului K. Se observă că fișa bananei cordonului de măsură va fi stabilită legătura între lamela izolată 5 și bucșă izolată 1, cuplînd alimentarea de +1,5 V la masa montajului.

Deși cele două zone de masă de pe cablajul imprimat sînt legate prin colierul de fixare al „transformatorului”, este necesară o legătură suplimentară prin fir. În cazul lipsei acestei legături, funcționarea va fi perturbată și tensiunea la ieșire va fi mică.

Cutie exterioară din tablă se va lega la masa montajului (emitorul tranzistorului).

Ea va avea un capac cu faț ce o va închide prin alunecare.

### MOD DE UTILIZARE

Sursa de tensiune obținută, de 13,6 V, se va înseria cu ohmmetrul, conform figurii 9.

Convertorul intră în funcțiune dacă în bucșă se introduce fie banana cordonului de măsură, ca în figura 9 a, fie banana unui cordon auxiliar, ca în figura 9 b.

## DISIPATIA TERMICĂ

(URMARE DIN NUMĂRUL TRECUT)

### DIMENSIONAREA RADIATOARELOR

Pentru a putea finaliza calculul regimului de disipație termică, ne-a mai rămas să analizăm dependența rezistenței termice radiator-ambiant,  $R_{\lambda}$  (pe care în acest capitol o vom nota cu  $R_r$ , pentru simplificarea scrierii), de natura materialului, de dimensiunile, poziția și culoarea radiatorului. În literatura de specialitate se întâlnesc numeroase procedee în acest sens, de la grafice, tabele, nomograme, formule simplificate etc. pînă la calcule complicate

care presupun cunoștințe de matematici speciale. Noi vom rămîne însă la nivelul de exigență al constructorilor amatori, prezentînd niște formule aproximative, ușor accesibile, dar care dau totuși rezultate mulțumitoare.

Să precizăm înfi că rezistența termică a radiatorului,  $R_r$ , depinde de:

- natura metalului din care este confecționat, în special de conductibilitatea sa termică,  $\lambda$  ( $R_r$  scade cu creșterea lui  $\lambda$ );
- grosimea radiatorului,  $d$ , respectiv grosimea medie, dacă sec-

Culoare		Radiator negru-mat	Radiator alb-strălucitor
Poziție	Grosime		
Radiator vertical	$d = 3 \text{ mm}$	$R_r = 1,05 + \frac{293}{S}$	$R_r = 1,23 + \frac{553}{S}$
	$d = 2 \text{ mm}$	$R_r = 1,29 + \frac{293}{S}$	$R_r = 1,51 + \frac{553}{S}$
	$d = 1 \text{ mm}$	$R_r = 1,82 + \frac{293}{S}$	$R_r = 2,14 + \frac{553}{S}$
Radiator orizontal	$d = 3 \text{ mm}$	$R_r = 1,08 + \frac{325}{S}$	$R_r = 1,28 + \frac{650}{S}$
	$d = 2 \text{ mm}$	$R_r = 1,32 + \frac{325}{S}$	$R_r = 1,57 + \frac{650}{S}$
	$d = 1 \text{ mm}$	$R_r = 1,87 + \frac{325}{S}$	$R_r = 2,23 + \frac{650}{S}$

țiunea nu este uniformă ( $R_r$  scade cu creșterea lui  $d$ );

— suprafața totală a radiatorului,  $S$  ( $R_r$  scade cu creșterea lui  $S$ ); atunci cînd cele două fețe au arii egale, se ia în calcul suprafața  $S$  a unei singure fețe;

— gradul de finisare a suprafeței ( $R_r$  scade cu creșterea gradului de finisare);

— culoarea suprafeței ( $R_r$  este maximă pentru suprafața alb-strălucitoare și minimă pentru suprafața neagră mată);

## DIVIZOR

Fig. A. MĂRCULESCU

La solicitarea unor constructori începători, prezentăm alături modul de calcul al divizoarelor rezistive utilizate la intrarea voltmetrelor electronice pentru selectarea domeniilor de tensiune. Am considerat ca exemplu cazul unui amplificator foarte sensibil (realizat cu tranzistoare cu efect de câmp sau cu amplificatoare operaționale cu intrare pe FET), care permite o impedanță totală a divizorului,  $R_{\Sigma}$ , de peste  $10 \text{ M}\Omega$ . Mai precis, vom lua rezistența totală a divizorului de  $11 \text{ M}\Omega$ , valoare curent utilizată la voltmetrele profesionale. Calculele se fac asemănător pentru orice alte valori  $R_{\Sigma}$ .

Problema care se pune este de a determina rezistențele componente,  $R_1, R_2, \dots, R_{n-1}$  (fig. 1), astfel încît, pentru pozițiile corespunzătoare ale comutatorului  $K$ , instrumentul să indice capul de scală atunci cînd la intrare se aplică respectiv tensiunile  $U_1, U_2, \dots, U_n$ . În acest fel etalonarea făcută pentru un domeniu oarecare se păstrează și pentru celelalte, fără a mai fi necesar reglajul capului de scală.

Alegerea domeniilor de măsurare  $U_1, U_2, \dots, U_n$  se face în funcție de necesități, dar și de divizarea scalei la instrumentul utilizat. De exemplu, dacă scala este divizată 0-30, vom alege, pentru o citire ușoară, domeniile 0,3-3-30-300 V, eventual și o parte din multiplii 0,6-6-60-600 V; pentru o scală divizată 0-100, foarte comode sînt domeniile 1-10-100-

1000 V, eventual și submultiplii 0,5-5-50-500 V etc. Limita superioară este dată de necesitățile curente, ca și de posibilitățile de izolare corespunzătoare, ea nedepășind în general 600-1000 V. Limita inferioară însă este dată de sensibilitatea amplificatorului și se stabilește experimental (cea mai mică tensiune care, aplicată la intrarea amplificatorului, asigură deviația acului la cap de scală).

Cu aceste precizări, să trecem la analiza exemplului concret din figura 2, care reprezintă o soluție pentru problema următoare:

— instrumentul divizat 0-100, cu diviziuni echidistante;

— sensibilitatea amplificatorului 0,3-0,4 V;

— rezistența totală a divizorului  $R_{\Sigma} = 11 \text{ M}\Omega$ ;

— domeniile de măsurare

0,5-1-5-10-50-100-500 V.

Pentru a vedea cum s-au calculat rezistențele, să considerăm comutatorul  $K$  în poziția 7 (500 V) și să aplicăm la intrare tensiunea corespunzătoare domeniului,  $U_7 = 500 \text{ V}$ . Această tensiune produce prin divizorul  $R_1 + R_2 + \dots + R_7 = R_{\Sigma} = 11 \text{ M}\Omega$  un curent  $I_{\Sigma} = U_7/R_{\Sigma} = 500 \text{ V}/11 \text{ M}\Omega = 45,45 \mu\text{A}$ . Deoarece sensibilitatea amplificatorului este de 0,3-0,4 V, rezistența  $R_7$  — de la bornele căreia se culege tensiunea aplicată la intrarea voltmetrului — trebuie astfel dimensionată încît căderea de tensiune pe ea, produsă de curentul  $I_{\Sigma}$ , să fie de cel puțin

0,4 V. Prin urmare,  $R_7 I_{\Sigma} \geq 0,4 \text{ V}$ , de unde  $R_7 \geq 0,4 \text{ V}/45,45 \mu\text{A} = 8,8 \text{ k}\Omega$ . Putem lua, de exemplu,  $R_7 = 10 \text{ k}\Omega$ , careia îi corespunde o cădere de tensiune  $U_7 = R_7 I_{\Sigma} = 10 \text{ k}\Omega \cdot 45,45 \mu\text{A} = 0,4545 \text{ V}$ , deci mai mare decît pragul de sensibilitate al amplificatorului. Din trimerul aflat în serie cu instrumentul (în schema voltmetrului electronic) vom aduce indicația acului exact la capul de scală.

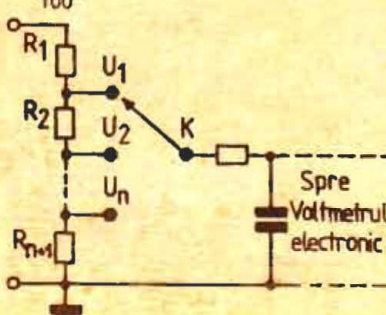
Urmează calcularea rezistenței  $R_6$ , pentru care presupunem comutatorul în poziția 6 (100 V), aplicînd la intrare tensiunea corespunzătoare,  $U_6 = 100 \text{ V}$ . Noua valoare a curentului prin divizor este  $I_6 = U_6/R_{\Sigma} = 100 \text{ V}/11 \text{ M}\Omega = 9,09 \mu\text{A}$ . Pentru a nu fi necesară reajustarea capului de scală, căderea de tensiune pe grupul  $R_7 + R_6$  trebuie să fie egală cît mai exact cu valoarea  $U$  din cazul precedent. Vom folosi în calcul valorile nerotunjite,  $U = \frac{5}{11} \text{ V}$ , res-

pectiv  $I_6 = \frac{100}{11} \mu\text{A}$ , cu care obținem:

$$R_7 + R_6 = \frac{U}{I_6} = \frac{5/11 \text{ (V)}}{100/11 \text{ (}\mu\text{A)}} = \frac{5}{100} \text{ (M}\Omega) = 50 \text{ k}\Omega.$$

Valoarea lui

$$R_6 = 50 \text{ k}\Omega - R_7 = 50 \text{ k}\Omega - 10 \text{ k}\Omega = 40 \text{ k}\Omega.$$



$R_6$  o cunoaștem, deci rezultă  $R_5 = 50 \text{ k}\Omega - 10 \text{ k}\Omega = 40 \text{ k}\Omega$ .

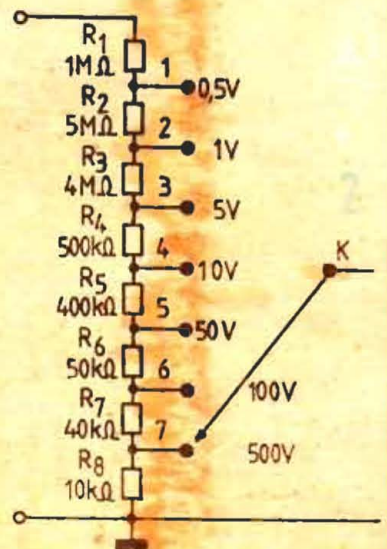
Procedînd analog și pentru  $R_4$  (K în poziția 5, cu 50 V la intrare),

$$\text{deducem: } R_4 + R_7 + R_6 = \frac{U}{I_4} =$$

$$= \frac{5/11 \text{ (V)}}{50/11 \text{ (}\mu\text{A)}} = 100 \text{ k}\Omega; R_4 = 100 \text{ k}\Omega -$$

$$-(R_7 + R_6) = 50 \text{ k}\Omega.$$

În mod similar se obțin și celelalte valori,  $R_3 = 400 \text{ k}\Omega$ ,  $R_2 = 500 \text{ k}\Omega$ ,  $R_1 = 4 \text{ M}\Omega$  și  $R_8 = 5 \text{ M}\Omega$ , păstrînd în permanență tensiunea  $U = 5/11 \text{ (V)}$  la intrarea amplificatorului. Ultima rezistență,  $R_8$ , rezultă scăzînd din valoarea totală a divizorului suma  $R_2 - R_8; R_1 = R_{\Sigma} - (R_2 + R_3 + \dots + R_7) = 11 \text{ M}\Omega - 10 \text{ M}\Omega = 1 \text{ M}\Omega$ .





# FILTRE ÎN SCARĂ

(URMARE DIN NUMĂRUL TRECUT)

Din păcate, celălalt flanc al curbei de răspuns rămâne destul de neconvenabil și, în plus, atenuarea la revenire (definită în capitolul 3) este mică. Aceste două neajunsuri sînt corectabile într-un transceiver „ajutînd” filtrul cu cuarț prin celelalte circuite LC din lanțul de frecvență intermediară (numai la recepție) și prin filtre active sau pasive în joasă frecvență (afît la recepție, cît și la emisie).

Rezultatele obținute la radioclubul C.N.F. Măgurele (YO3KDA) cu aceste filtre ne-au determinat să încercăm să facem mai abordabile relațiile de calcul ale lui Dishal [30].

Concluziile seminarilor noastre pe această temă fac de fapt obiectul lucrării de față, care sperăm să ofere amatorului metode simple și eficiente de calcul al filtrelor cu cuarț pentru SSB și telegrafie. Relațiile de calcul au putut fi simplificate introducînd următoarele notații:

a. Parametrul de proiectare A, care cu notațiile din [30] este

$$A = \frac{1}{r_{v,i}} \dots (4) \text{ și reflectă dezacordul capacitiv al rezonatoarelor din filtru, precum și poziția frecvenței centrale } f_0 \text{ a benzii de trecere față de frecvența de rezonanță serie } f_s \text{ a rezonatoarelor. El poate fi ales de proiectant în funcție de ceea ce dorește să obțină, dar trebuie să fie totdeauna supraunitar.}$$

Este recomandabil să se aleagă valori între 1,4 și 3,5, care corespund cazurilor uzuale.

b. Factorul de calitate echivalent al filtrului proiectat,  $Q_e = \frac{f_0}{B_{1,0dB}} \dots (5)$

care este de fapt valoarea inversă a dezacordului relativ pe care-l reprezintă banda de trecere.

c. Capacitatea „de calcul” dictată de banda de trecere propusă a se realiza,

$$C_1 = Q_e, C_2 = \frac{f_0}{B_{1,0dB}} \cdot C_1 \dots (6-1)$$

d. Capacitatea „de calcul” a filtrului, stabilită după ce s-a ales și parametrul de proiectare A,

$$C_1 = \frac{C_n}{A^2 - 1} = \frac{Q_e}{A^2 - 1}, C_2 = \frac{f_0}{B_{1,0dB}} \cdot C_1 \dots (6-2)$$

De remarcat că în cazul în care se alege parametrul de proiectare  $A = \sqrt{2} = 1,41$ , cele două capacități de calcul sînt egale ( $C_1 = C_2$ ).

Cu aceste notații, relațiile de calcul ale lui Dishal vor fi prezentate în capitolele următoare, separat pentru FBLs și FBLS, afît în forma generală pentru un filtru cu n rezonatoare, cît și pentru cazurile particulare ale filtrelor cu două pînă la opt rezonatoare. Coeficienții k și q din aceste relații sînt cei din tabelele 1 ... 7 pentru numărul respectiv de rezonatoare și pentru aproximarea dorită.

Pentru a ușura calculele rapide fără consultarea tabelelor, s-au prezentat în fiecare caz și relații simplificate la maximum, pentru aproximativ Cebîșev cu riplu de 0,5 dB (cea mai des utilizată de noi) și pentru parametrul de proiectare  $A = 1,41$ .

În sensul prezentat în capitolul 3 pentru cazul unui singur rezonator, rețeaua unui filtru care conține mai multe rezonatoare este caracterizată prin existența unor ochiuri și a unor noduri conținînd fiecare cîte un rezonator.

De asemenea, ca și cazurile simple menționate, la filtrele cu mai multe rezonatoare conectate în brațele longitudinale (FBLI) se produc dezacorduri ale rezonatoarelor pe fiecare ochi, din cauza condensatoarelor de cuplaj între ochiuri.

În cazul FBLS (care conțin rezonatoarele conectate în brațele transversale), se produc dezacorduri pe fiecare nod, din cauza condensatoarelor de cuplaj între noduri.

Condensatoarele care produc aceste dezacorduri sînt calculate cu ajutorul coeficienților din tabele și nu sînt aceleași pe toate ochiurile sau nodurile. Presupunînd că toate rezonatoarele filtrului sînt identice, adică au aceeași frecvență de rezonanță serie și paralel și aceeași capacitate dinamică  $C_d$ , rezulta că frecvențele de rezonanță serie pe ochiuri în cazul FBLS, sau frecvențele de rezonanță paralel (antirezonanță) pe noduri în cazul FBLS, diferă de la un ochi, respectiv nod, la altul.

Această situație conduce la o creștere a riplului în banda de trecere și se poate remedia prin introducerea în montajul filtrului a unor condensatoare suplimentare, pe

care le vom denumi „condensatoare de acord”, conectate în acele locuri în care nu afectează cuplajul între rezonatoare, dar produc dezacorduri suplimentare pe ochiuri, respectiv pe noduri, spre a le aduce pe toate la aceeași frecvență de rezonanță.

Prin urmare, condensatoarele de acord îmbunătățesc riplul în bandă și sînt singurele componente pe care recomandăm constructorilor de filtre să le retușeze ușor la reglaje, dar numai în cazul în care curba de răspuns prezintă un riplu neacceptabil. Cauza unui riplu normal de mare o constituie adesea neidentitatea rezonatoarelor, ceea ce este des întîlnit la rezonatoarele de surplus.

Trebuie totuși să se considere că riplul „teoretic” al aproximării alese reprezintă cazul ideal, cînd rezonatoarele sînt absolut identice, condensatoarele din componența filtrului au capacitatea corespunzătoare, rezistențele terminale au valoarea de calcul și nu există cuplaje parazite între componentele filtrului (deci atenție la montaj!).

Examinînd coeficienții de calcul din tabele, se observă că filtrele prezintă o simetrie de valori începînd de la terminale, ceea ce simplifică mult calculele. De asemenea se mai poate constata că dezacordurile cele mai mici se produc pe ochiurile, respectiv nodurile, numărul doi numărînd de la fiecare terminal. Acesta este motivul pentru care în aceste ochiuri sau la aceste noduri nu sînt conectate de obicei condensatoare de acord.

În calculul filtrelor trebuie să se folosească valorile medii pentru parametrul rezonatoarelor de care se dispune. Dintre aceștia este necesar să se cunoască  $f_0$  și  $C_d$  (valori medii) și valorile lui  $C_1$  pentru fiecare rezonator, deși în calcule simplificate se poate utiliza și pentru toate acestea o valoare medie.

Atragem atenția că pentru toate condensatoarele conectate în paralel cu rezonatoarele, indiferent de

tipul și valoarea, se vor alege valori ale capacităților mai mici cu C, decît valorile de calcul. Altfel spus, în aceste cazuri valorile de calcul conțin și capacitățile parazite ale montajului și ale rezonatorului (C<sub>p</sub>).

## 5. CALCULUL FILTRELOR PENTRU BANDĂ LATERALĂ SUPERIOARĂ (FBLs)

Schema unui asemenea filtru cu n rezonatoare este prezentată în figura 4.1, din care rezultă și notațiile componentelor, așa cum vor fi folosite în relațiile de calcul.

Frecvența centrală a filtrului, diferent de numărul de rezonatoare utilizat, este:

$$f_0 = f_c + \frac{B_{1,0dB}}{2} A \dots (17)$$

Din această formulă se deduce una din semnificațiile parametrului de proiectare A.

În cazul general al filtrului cu n rezonatoare din figura 4.1, componentele se calculează cu relațiile ce urmează, în care k și q sînt coeficienții din tabelele de prototipuri pentru aproximarea propusă și pentru n rezonatoare.

Rezistența terminală:

$$R = R_1 = R_n = \frac{q_1}{2 \cdot f_0 \cdot C_d} \dots (18)$$

Capacitatea de cuplaj între nodul i și nodul (i + 1) este:

$$C_{i, i+1} = k_{i, i+1} \cdot C_d \dots (19)$$

Capacitatea de acord la nodul i este:

$$C_{i,i} = (A - k_{i, i-1} - k_{i, i+1}) \cdot C_d \dots (20)$$

și rezultă din condiția ca suma capacităților condensatoarelor conectate la nodul i cînd cele două noduri vecine sînt conectate la nodul comun (de masă) să fie egală cu cea similară pentru oricare din noduri, și anume:

$$C_{i,i} = A \cdot C_d \dots (21)$$

Acesta este și procedeul prin care la sfîrșitul proiectării se poate verifica exactitatea calculelor.

TABELUL NR. 5

Filtre cu 6 rezonatoare

Riplu	$q_1 = q_6$	$k_{1,2} = k_{5,6}$	$k_{2,3} = k_{4,5}$	$k_{3,4}$
0 dB	0,5176	1,1688	0,6050	0,5176
0,01 dB	0,9372	0,8088	0,5500	0,5177
0,1 dB	1,2767	0,7145	0,5385	0,5180
0,5 dB	1,7962	0,6547	0,5326	0,5191
1 dB	2,25	0,631	0,531	0,51 (x)
3 dB	3,51	0,61	0,532	0,524 (x)

TABELUL NR. 6

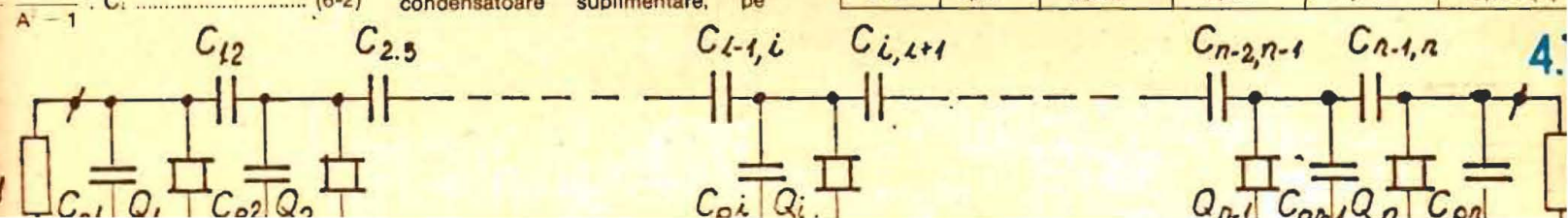
Filtre cu 7 rezonatoare

Riplu	$q_1 = q_7$	$k_{1,2} = k_{6,7}$	$k_{2,3} = k_{5,6}$	$k_{3,4} = k_{4,5}$
0 dB	0,445	1,3424	0,6671	0,5268
0,01 dB	0,9127	0,8289	0,5597	0,5168
0,1 dB	1,2615	0,7223	0,5421	0,5155
0,5 dB	1,7896	0,6566	0,5328	0,5155
1 dB	2,25	0,631	0,53	0,517 (x)
3 dB	3,52	0,607	0,529	0,519 (x)

TABELUL NR. 7

Filtre cu 8 rezonatoare

Riplu	$q_1 = q_8$	$k_{1,2} = k_{7,8}$	$k_{2,3} = k_{6,7}$	$k_{3,4} = k_{5,6}$	$k_{4,5}$
0 dB	0,3902	1,5187	0,7357	0,5537	0,5098
0,01 dB	0,8966	0,8430	0,5673	0,5198	0,5098
0,1 dB	1,2515	0,7276	0,5451	0,5160	0,5100
0,5 dB	1,7852	0,6580	0,5333	0,5145	0,5106
3 dB	3,53	0,605	0,527	0,515	0,513 (x)



le (19) și (20) se vor explica pentru cazul filtrelor cu 2, 3...8 rezonatoare.

Relațiile (17) și (18) rămân aceeași indiferent de numărul rezonatoarelor din care este compus filtrul. Pentru calculul lui  $C_f$  și  $C_a$  se vor folosi relațiile (6.2) și respectiv (6.1).

a) Filtrul cu două rezonatoare (figura 4.2):

$$C_{1,2} = K_{1,2} \cdot C_f; C_{p1} = C_{p2} = (A - K_{1,2}) \cdot C_f$$

Pentru aproximarea Cebîșev cu riplu 0,5 dB și  $A = 1,41$ , relațiile devin:  $C_{1,2} = 0,7225 \cdot C_B$ ;  $C_{p1} = C_{p2} = 0,6917 \cdot C_B$ .

b) Filtrul cu 3 rezonatoare (figura 4.3):

$$C_{1,2} = C_{2,3} = K_{1,2} \cdot C_f; C_{p1} = C_{p3} = (A - K_{1,2}) \cdot C_f; C_{p2} = (A - 2K_{1,2}) \cdot C_f$$

Pentru aproximarea Cebîșev cu riplu 0,5 dB și  $A = 1,41$ , relațiile devin ( $A = 1,41$ ):

$$C_{1,2} = C_{2,3} = 0,6474 \cdot C_B; C_{p1} = C_{p3} = 0,7668 \cdot C_B; C_{p2} = 0,1194 \cdot C_B$$

c) Filtrul cu 4 rezonatoare (figura 4.4):

$$C_{1,2} = C_{3,4} = K_{1,2} \cdot C_f; C_{p1} = C_{p4} = (A - K_{1,2}) \cdot C_f; C_{2,3} = K_{2,3} \cdot C_f; C_{p2} = C_{p3} = (A - K_{1,2} - K_{2,3}) \cdot C_f$$

Pentru aproximarea Cebîșev cu riplu 0,5 dB și  $A = 1,41$  avem:

$$C_{1,2} = C_{3,4} = 0,6482 \cdot C_B; C_{2,3} = 0,5446 \cdot C_B; C_{p1} = C_{p4} = 0,766 \cdot C_B; C_{p2} = C_{p3} = 0,2214 \cdot C_B$$

4.5):

$$C_{1,2} = C_{3,5} = K_{1,2} \cdot C_f; C_{2,3} = C_{3,4} = K_{2,3} \cdot C_f; C_{p1} = C_{p5} = (A - K_{1,2}) \cdot C_f; C_{p2} = C_{p4} = (A - K_{1,2} - K_{2,3}) \cdot C_f; C_{p3} = (A - 2K_{2,3}) \cdot C_f$$

Pentru aproximarea Cebîșev cu riplu 0,5 dB și  $A = 1,41$  avem:

$$C_{1,2} = C_{3,5} = 0,6519 \cdot C_B; C_{2,3} = C_{3,4} = 0,5341 \cdot C_B; C_{p1} = C_{p5} = 0,7623 \cdot C_B; C_{p2} = C_{p4} = 0,2282 \cdot C_B; C_{p3} = 0,346 \cdot C_B$$

e) Filtrul cu 6 rezonatoare (figura 4.6):

$$C_{1,2} = C_{5,6} = K_{1,2} \cdot C_f; C_{3,4} = K_{3,4} \cdot C_f; C_{p2} = C_{p5} = (A - K_{1,2} - K_{2,3}) \cdot C_f; C_{2,3} = C_{4,5} = K_{2,3} \cdot C_f; C_{p1} = C_{p6} = (A - K_{1,2}) \cdot C_f; C_{p3} = C_{p4} = (A - K_{2,3} - K_{3,4}) \cdot C_f$$

Pentru aproximarea Cebîșev cu riplu 0,5 dB și  $A = 1,41$  avem:

$$C_{1,2} = C_{5,6} = 0,6547 \cdot C_B; C_{3,4} = 0,5191 \cdot C_B; C_{p2} = C_{p5} = 0,2269 \cdot C_B; C_{2,3} = C_{4,5} = 0,5326 \cdot C_B; C_{p1} = C_{p6} = 0,7595 \cdot C_B; C_{p3} = C_{p4} = 0,3625 \cdot C_B$$

f) Filtrul cu 7 rezonatoare (figura 4.7):

$$C_{1,2} = C_{6,7} = K_{1,2} \cdot C_f; C_{3,4} = C_{4,5} = K_{3,4} \cdot C_f; C_{p2} = C_{p7} = (A - K_{1,2} - K_{2,3}) \cdot C_f; C_{2,3} = C_{5,6} = K_{2,3} \cdot C_f; C_{p1} = C_{p6} = (A - K_{1,2}) \cdot C_f; C_{p3} = C_{p4} = (A - 2 \cdot K_{3,4}) \cdot C_f$$

Pentru aproximarea Cebîșev cu riplu 0,5 dB și  $A = 1,41$  avem:

$$C_{1,2} = C_{6,7} = 0,6566 \cdot C_B; C_{3,4} = C_{4,5} = 0,5155 \cdot C_B$$

$$C_{1,2} = C_{7,8} = 0,2248 \cdot C_B; C_{3,4} = C_{5,6} = 0,5323 \cdot C_B; C_{2,3} = C_{4,5} = 0,7576 \cdot C_B; C_{p1} = C_{p8} = 0,3659 \cdot C_B; C_{p4} = 0,3832 \cdot C_B$$

g) Filtrul cu 8 rezonatoare (figura 4.8):

$$C_{1,2} = C_{7,8} = K_{1,2} \cdot C_f; C_{3,4} = C_{5,6} = K_{3,4} \cdot C_f; C_{p1} = C_{p8} = (A - K_{1,2}) \cdot C_f; C_{p2} = C_{p6} = (A - K_{2,3} - K_{3,4}) \cdot C_f; C_{2,3} = C_{4,5} = K_{2,3} \cdot C_f; C_{p3} = C_{p7} = (A - K_{1,2} - K_{2,3}) \cdot C_f; C_{p4} = C_{p5} = (A - K_{3,4} - K_{4,5}) \cdot C_f$$

Pentru aproximarea Cebîșev cu riplu 0,5 dB și  $A = 1,41$  avem:

$$C_{1,2} = C_{7,8} = 0,7276 \cdot C_B; C_{3,4} = C_{5,6} = 0,516 \cdot C_B; C_{p1} = C_{p8} = 0,6866 \cdot C_B; C_{p2} = C_{p6} = 0,3531 \cdot C_B; C_{2,3} = C_{4,5} = 0,5451 \cdot C_B; C_{p3} = C_{p7} = 0,51 \cdot C_B; C_{p4} = C_{p5} = 0,1415 \cdot C_B; C_{p4} = C_{p5} = 0,3882 \cdot C_B$$

În toate cazurile  $R$  și  $f_0$  se calculează cu relațiile (18) respectiv (17), iar  $C_f$  cu relația (6.2). Pentru formulele simplificate,  $C_B$  se calculează cu relația (6.1).

### 6. CALCULUL FILTRELOR PENTRU BANDA LATERALĂ INFEROARĂ (FBLI)

Schema unui asemenea filtru în cazul general a  $n$  rezonatoare este prezentată în figura 5.1, din care rezultă și notațiile componentelor așa cum vor fi utilizate în relațiile generale de calcul.

Pentru a da o formă mai simplă relațiilor de calcul ale lui Dishal [30], se mențin și aici semnificațiile parametrilor  $A, Q_i, C_B$  și  $C_i$  conform expresiilor (4), respectiv (5), (1), (6.2), dar valorile capacităților de cuplaj între rezonatoarele filtrului se vor calcula indirect, prin reacțanțele lor la frecvența centrală  $f_0$ , notate în continuare  $X_{1,2}, X_{2,3}$  etc.

Acest lucru ușurează mult calculul condensatoarelor de acord  $C_{1,2}, C_{2,3}, C_{3,4}, \dots$  căci și ele se obțin mai ușor sub forma reacțanțelor lor la frecvența  $f_0$ , notate  $X_{1,2}, X_{2,3}, \dots$  etc. După încheierea calculului unui filtru este foarte comod să se obțină valorile capacităților respective, prin aplicarea repetată a binecunoscutului relații:  $C = \frac{1}{2 \cdot f_0 \cdot X}$ .

Frecvența centrală a FBLI se calculează cu relația:

$$f_0 = f + \frac{B_{3dB} \cdot A(K_{1,2} + K_{2,3}) - 1}{2 \cdot A - K_{1,2} - K_{2,3}} \quad (7)$$

De remarcat că poziția sa față de  $f$  depinde și de prototipul ales, pentru care se află în tabele coeficienții  $K_{1,2}$  și  $K_{2,3}$ , iar dependența sa de parametrul  $A$  este mai complicată decât la FBL.

Rezistența terminală  $R = R_1 = R_n$  se calculează cu relația:

$$R = \frac{1}{q_i \cdot 2 \cdot \pi \cdot f_0 \cdot C_B \cdot (A - K_{1,2} - K_{2,3})} \quad (8)$$

Relațiile (7) și (8) păstrează forma indiferent de numărul  $n$  de rezonatoare din componența filtrului.

Condensatoarele de cuplaj se calculează aplicând relația pentru rezonatoarele nr.  $i$  și nr.  $(i+1)$ , dînd lui  $i$  valori cuprinse între 1 și  $n-1$ :

$$X_{i, (i+1)} = q_i \cdot K_{i, (i+1)} \cdot R \quad (9)$$

Așa cum se vede și în figura 5.1, în filtru se folosește și un dezacord capacitiv suplimentar, prin condensatoarele  $C_i$  conectate în paralel cu rezonatoarele (aceleași valoare pentru toate). Capacitatea acestor condensatoare se calculează cu relația:

$$C_i = \frac{A - K_{i, (i+1)} + K_{i, (i+1)}}{A^2 - 1} \cdot C_B \quad (10)$$

Rolul lui  $q_i$  este acela de a ajusta în-

țian superior al caracteristicilor filtrului să fie abrupt. Ele sînt totodată cauza scăderii atenuării la revenire (la frecvențe depărtate de banda de trecere). Deoarece în valoarea de calcul a lui  $C_i$  este inclusă și capacitatea  $C_B$  a rezonatorului, atragem atenția ca la realizarea filtrului să se facă această corecție.

Condensatoarele  $C_{1,2}, C_{2,3}, C_{3,4}, \dots$  pentru acordarea filtrului se calculează, așa cum s-a arătat în capitolul 4, din condiția ca frecvența de rezonanță serie pe oricare dintre ochiuri să fie aceeași cu cea de la ochiurile nr. 2, numărînd de la terminala.

Pentru că rezonatoarele sînt identice, aceasta este echivalent cu condiția ca suma reacțanțelor capacitive pe fiecare ochi să fie egală cu cea de pe ochiul II, adică:

$$X_{C_{1,2}} = X_{C_{1,2}} + X_{C_{2,3}} \quad (11)$$

Aceeași condiție scrisă pentru ochiul I unde este conectat rezonatorul cu același număr este:

$$X_{C_{1,2}} = X_{1,2} + X_{2,3} = X_{1,2} + X_{2,3} + X_{3,4} + \dots + X_{n-1,n} \quad (12)$$

Din care se deduce relația de calcul a condensatorului de acord de pe ochiul I  $X_{C_{1,2}} = X_{1,2} + X_{2,3} - X_{3,4} - \dots - X_{n-1,n}$ .

în care:

$$i = 1, 2, 3, \dots, n, \text{ iar } X_{i, (i+1)} = X_{(i+1), i} = 0.$$

Cu aceasta relațiile generale de calcul sînt complete și vor fi explicitate concret în cele ce urmează pentru cazul a două pînă la opt rezonatoare.

Pentru că în literatura de amatori au fost publicate multe „rețete” de calcul al filtrelor în scară cu structură similară, am scotocit necesar să le comparăm pe cele mai importante cu metoda Dishal. Plecînd de la aceeași ipoteză (neglijarea lui  $C_i$ ), cei care au folosit metodele de calcul ale filtrelor polinomiale [24, 26, 27] au ajuns la relații de calcul aproape identice între ele și deosebite de cele ale lui Dishal numai prin următoarele:

a) Nu se dau informații cantitative asupra poziției frecvenței centrale a benzii de trecere față de  $f_0$  a rezonatorului.

b) Rezistența terminală se calculează cu relația:

$$R = \frac{1}{q_i \cdot 2 \cdot \pi \cdot f_0 \cdot C_B} \quad (8-A)$$

care este un caz particular al relației complete (8) pentru o valoare a lui  $A$  care satisface condiția  $A^2 - 1 = 1$ .

Rezolvarea acestei ecuații oferă pentru  $A$  soluții supraunitare pentru oricare din prototipurile din tabelele 1...7, deci sînt soluții fizic realizabile.

c) În montaj nu sînt conectate condensatoarele  $C_i$  din schema FBLI Dishal, deci se consideră  $C_i = C_B$ , ceea ce, conform relației (10), înseamnă:

$$\frac{A - K_{i, (i+1)} - K_{i, (i+1)}}{A^2 - 1} \cdot \frac{f_0 \cdot C_i}{B_{3dB} \cdot C_B} = 1.$$

După transformări și după înlocuirea lui  $\frac{C_i}{C_B}$  cu valoarea sa din (3),

se obține o formă foarte expresivă:

$$2 \Delta f = \frac{A - K_{i, (i+1)} - K_{i, (i+1)}}{A - K_{i, (i+1)} - K_{i, (i+1)}}, \text{ care în general nu poate fi îndeplinit pentru valorile lui } A \text{ obținute din condiția precedentă decât pentru prototipuri cu riplu mare, număr de rezonatoare mare și numai pentru anumite tipuri de rezonatoare. Iată deci estimate cantitative observațiile experimentale din [22, 24, 25, 26, 27] în legătură cu intervalul de rezonanță a cuarțurilor utilizate în filtrele calculate cu relațiile lor de calcul și pe care le vom denumi în continuare „formule aproximative”. Aceste formule sînt foarte răspîndite în prezent și, cu toată imprecizia lor, asigură calcule mult mai simple decît relațiile exacte ale lui Dishal.}$$

K

Tehnum

HI-FI



# ce știm DESPRE DISCURI

Ing. I. MIHĂESCU

Discul, element de bază în stocarea de informații, este cunoscut de marele public în special din înregistrările muzicale. Se părea la un moment dat că înregistrările magnetice vor înlocui înregistrarea mecanică, respectiv discul, dar faptul că discul menține nealterată o perioadă foarte lungă de timp informația continuă să fie apreciat, folosit și protejat.

Spre a fi eficient folosit de iubitorii înregistrărilor de înaltă fidelitate, publicăm câteva date despre discuri, despre modul cum trebuie manipulate.

Discurile microsillons de înaltă fidelitate asigură o durată a lecturii de aproximativ 25 de minute pe fiecare față; fiecare centimetru pătrat al discului poartă în trei secunde o frază muzicală alegro, adică două măsuri. În aceste trei secunde de muzică un număr considerabil de informații sînt transmise, asigurînd calitatea necesară audiei.

La înregistrare trebuie înscrise în șanțuri minuscule structura interpretărilor noastre pentru diferite octave, sonoritatea clară și distinctă a diverselor instrumente, nivelurile intensității sonore, precum și efectul spațial. Trebuie, de asemenea, realizată inscripționarea pe ambele flancuri, asigurînd în același timp o separare perfectă a celor două canale stereo-fonice, fiecare avînd calitatea sa proprie.

În cursul înregistrării unui disc, al multilelor operații de fabricare, numeroși factori influențează calitatea finală: talentul, abilitatea și personalitatea muzicanților, disciplina artistică a orchestrei, talentul dirijorului, apoi se adaugă acustica studioului de înregistrare, disponerea rațională a diverselor instrumente și a microfoanelor. Un disc bun trebuie să poată avea toate calitățile ca să formeze o linie sonoră de înaltă fidelitate.

Cînd un disc poartă pe el inscripția HI-FI, el este aproape perfect, dar cum și o carte în tiraj mare poate avea foi lipsă sau capitole inversate, la fel și la discuri unele exemplare pot avea defecte din procesul presării, așa că atunci cînd se cumpără un disc, spre a nu avea surprize neplăcute acasă, trebuie adiat în magazin într-un agregat de înaltă fidelitate: un ac de picup deformat la o singură lectură poate deteriora discul. Dacă la un disc auzim diverse zgomote, variații ale nivelului sonor, distorsiuni ale sunetului, acesta trebuie refuzat.

Separarea instrumentelor poate să ne pară insuficientă, masa sonoră fiind opacă și omogenă, mai ales cînd avem o mare orchestră și cor, o simfonie cu solist, dar grație agregatelor electronice de redare care au inclus efectul de prezență, situația descrisă anterior poate fi în mare parte ameliorată.

## UN CONTROL RAPID

Controlul calității discurilor nu necesită instrumente complexe și nici cunoștințe deosebite de specialitate, ci un pic de atenție și o ureche adecvată. Ascultăm în primul rînd cum sînt reproduse frecvențele joase și foarte joase, de exemplu toba și orga; sunetele provenite de la violoncel sau contrabas nu sînt edificatoare în acest sens. Verificăm apoi sunetele înalte provenite de la vioară sau de la instrumente de percuție.

Sunetele medii asigură inteligibilitatea cuvintelor prin contrast cu muzica.

Este necesar să mai controlăm dinamica puterii; în acest caz, ascultăm cu atenție bucățile cu muzică pianissimo și fortissimo și în special trecerile între aceste niveluri. Dăm atenție cum sînt reproduse sunetele pianului ca să constatăm dacă există alunecări de frecvență și apropiem urechea de difuzor cînd audia este la nivel mic să auzim zgomotul de fond. Aceste câteva examene ne permit să apreciem calitatea tehnică a gravurii, care condiționează calitatea artistică.

## CONSERVAREA CALITĂȚII MUZICALE

Discurile actuale se uzează inevitabil în timpul audiei, indiferent dacă utilizăm ac de safir sau de diamant.

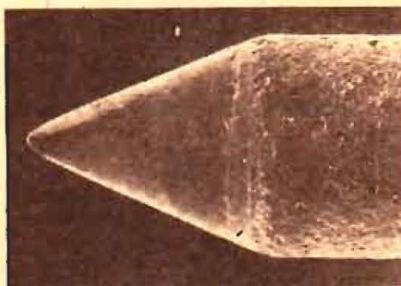
Șanțurile sînt supuse la forțe care tind să le deformeze, aceasta fiindcă nu efectuăm lectura unei fețe la intervale de timp suficiente. Materialul discului nu are calitatea de a asigura revenirea formei unui șanț în intervale scurte de timp, după ce a fost presat transversal de către ac.

În timpul utilizării lor normale, acele de safir și de diamant, care au înlocuit pe cele de oțel, sînt șlefuite (încet, dar sigur) de pereții șanțurilor, deformare care face ca ele să nu mai calce bine, reproducerea avînd de suferit.

Un ac deformat printr-un accident (de cîte ori nu se scapă din mină brațul picupului), cînd vîrful său capătă forme piramidale, trebuie înlocuit imediat. Cu un astfel de ac, la o singură lectură, un disc (foarte prețios) este complet deteriorat și scos din serviciu.

Un ac nou, bine rotunjit, apasă ușor ambele margini ale șanțului, urmînd perfect toate sinuozitățile, spre deosebire de un ac uzat, care apasă pe suprafața mare, pierzîndu-se în felul acesta tocmai frecvențele înalte din spectru, gama muzicală fiind simțitor redusă.

Un ac deformat poate șlefui pur și simplu șanțurile discului, poate apoi să-l modifice și adîncimea, apărînd



• Examinat, vîrful acului nu trebuie să prezinte deformări.

• Așa trebuie să arate un ac privit prin lupă.

• Acul trebuie să apese uniform pe ambele suprafețe laterale ale șanțului.



ondulații verticale ale brațului de redare.

Durata de lucru depinde de greutatea aplicată și de diverși factori mecanici. La o greutate normală, cuprinsă între 3 și 6 g, a dozelor moderne, ea se poate evalua la minimum 50 de ore de audia continuă la un ac de safir și la 500 de ore la un ac de diamant, dar în practică se poate admite o durată dublă. Dacă greutatea dozei se micșorează, uzura acului scade și aproape dispăre (dacă doza are greutatea mai mică de 1 g). Există, desigur, o limită pînă unde se poate merge cu această greutate, întrucît acul nu mai este suficient de bine ghidat de șanțurile discului, putînd căpăta oscilații care să producă salturi pe aite șanțuri, apărînd implicit o defectuoasă reproducere a înregistrării de pe disc.

Soluția practică este totuși utilizarea unor ace de foarte bună calitate, care să sufere uzuri reduse, optim fiind diamantul. Amintim numai că traiectul parcurs de ac la un disc cu diametrul de 30 cm este de ordinul a 1,5 km.

Dacă doriți o bună lectură, după 200—250 ore de ascultare, acul trebuie studiat cu o lupă. Dacă se observă cea mai mică modificare a vîrfului acului, acesta trebuie schimbat, operație cit se poate de facilă.

## PRAFUL — INAMICUL NR. 1

Una din cauzele esențiale de uzură rapidă a acului provine din acumularea prafului ce transformă discul într-un element abraziv, de unde și necesitatea protejării și manipularii cu grijă a discurilor. Masele plastice din care se confecționează

actualmente discurile sînt mai elastice (decît cele de bachelită), dar sînt influențate de șocuri mecanice, radiații de căldură (în special) și, în plus, produc un puternic efect de electricitate statică. Este cunoscută experiența cu atragerea de mici bucățele de hîrtie de către obiectele electrizate, or, tocmai acest efect apare foarte nedorit în cazul de față, fiindcă discurile electrizate atrag puternic particulele de praf, inamicul lor nr. 1. Acest praf formează milioane de ace microscopice pe versantele șanțului și, pe măsură ce discul este utilizat, produc uzura acului, deformarea gravurii discului sau un zgomot de fond foarte puternic în timpul audiei.

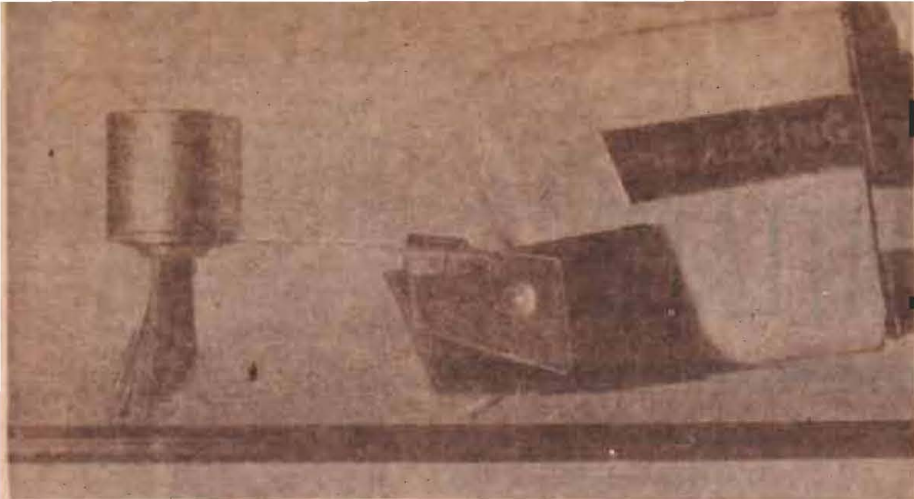
Evităm aceste neajunsuri și eliminăm acest dușman — praful — dacă păstrăm discurile în casete; chiar în timpul unei audii picupul trebuie să fie acoperit. Total contraindicată este lăsarea discului pe platanul picupului.

## CUM MANIPULĂM DISCUL

Trebuie avut în vedere că un disc nu se ține decît de margini sau de partea cu etichetă, fiind total contraindicată atingerea părții gravate cu degetele. Spre a se evita zgomotul de fond produs de ac prin atingerea fundului șanțului, mulți practicieni recomandă ungerea suprafețelor discului cu un ulei foarte fin sau cu un produs parafinat.

De fiecare dată cînd utilizăm un disc cu praf, acul (după cum am amintit) produce deformări mecanice în disc, deformări care nu mai pot fi remediate — discul nu este bandă magnetică —, o imprimatură deteriorată nu mai poate fi corijată.





• La unele doze moderne se atașează o perie ce curăță șanțurile discului.



• Un picup de bună calitate este prevăzut cu un capac protector împotriva prafului.



• Discurile se păstrează într-un ambalaj adecvat și în poziție verticală.

• Manipularea discurilor trebuie făcută cu atenție; așezarea discului pe picup trebuie făcută cu ambele mâini.



și acesta este de fapt principalul dezavantaj față de banda magnetică. De multe ori deteriorările unui disc provin dintr-o manipulare brută, dintr-un picup defect sau dintr-o doză sau ac defecte. Depozitarea discurilor se face într-o mapă sau pe o etajeră, totdeauna în îmbrăcămintea de protecție.

Dacă dorim să ținem un disc în mână spre a-i citi eticheta, sau să-i verificăm suprafața gravată, acesta va sta în echilibru pe palma dreaptă deschisă, cu concavitatea în sus, presind marginile discului cu degetele; dacă discul este mare, marginile acestuia vor fi prinse între de-

gete și abdomen în așa fel ca suprafața activă să nu fie atinsă. Discul se așază totdeauna pe platanul picupului cu ambele mâini,

fiind susținut prin presare de margini, și numai când platanul nu se rotește. În incheiere, autorul vă reco-

mandă:

1. Păstrați discurile într-o pungă de material plastic flexibil.
2. Țineți discurile numai de margine sau de partea cu etichetă și niciodată de partea gravată.
3. Ștergeți discurile de praf cu o cârpă curată, dar umezită (eventual chimic tratată), sau curățați-le cu un jet de aer comprimat.
4. Spălați discurile murdare în apă rece cu detergent, cu un burete celulozic moale.
5. Depozitați discurile în poziție verticală (să nu se deformeze).
6. Curățați acul cu o perie cu păr fin.
7. La discurile HI-FI folosiți de preferință ace de diamant (verificate după 250 de ore de funcționare).
8. Verificați și lubrifiați periodic partea mecanică a picupului. Orice zgomote produse de aceasta se regăsesc suprapuse peste programul ascultat.
9. Când nu este folosit, acoperiți picupul împotriva prafului.
10. Verificați dacă presiunea și poziția brațului pe disc sînt normale.
11. Nu schimbați discul în timpul funcționării picupului.
12. Nu supuneți discurile razelor soarelui sau altor radiații calorice.
13. Nu ștergeți discurile cu o cârpă uscată; se electrizează și atrag praf.
14. Nu permiteți copiilor sau neinițiaților să umele în discotecă și la lanțul electroacustic.
15. Nu împrumutați discuri prietenilor — de cele mai multe ori pierdeți și discurile și prietenii.

# PREAMPLIFICATOR

Ing. A. NICOLAE

În figura alăturată se dă schema unui preamplificator pentru doză (microfon) magnetică. Schema conține două tranzistoare de tip npn, cu siliciu.

Impedanța de intrare (100 kΩ) este dată, în mare parte, de rezistența R<sub>1</sub>.

Să urmărim în continuare felul în care se realizează stabilizarea punctelor statice de funcționare (în curent continuu).

În momentul conectării sursei de tensiune, prin rezistorul R<sub>1</sub>, se stabilește un curent ce tinde să satureze tranzistorul T<sub>1</sub>. Curentul de emitor al acestuia (aproximativ egal cu curentul de colector) determină apariția unei tensiuni la bornele rezistenței R<sub>2</sub>. Când tensiunea depășește o anumită valoare (aproximativ 0,7 V), începe să se deschidă tranzistorul T<sub>2</sub>, din cauza curentului ce apare prin rezistențele R<sub>1</sub> și R<sub>2</sub>. Deci o parte din curentul ce trece prin R<sub>1</sub> începe să treacă prin colectorul lui T<sub>2</sub>. Curentul prin tranzistorul T<sub>2</sub> in-

cetează să mai crească și, în acest fel, se ajunge la un echilibru. Această autostabilizare a punctului static de funcționare constituie rezultatul reacției negative (în antifază) în curent continuu prin rezistențele R<sub>1</sub> și R<sub>2</sub>.

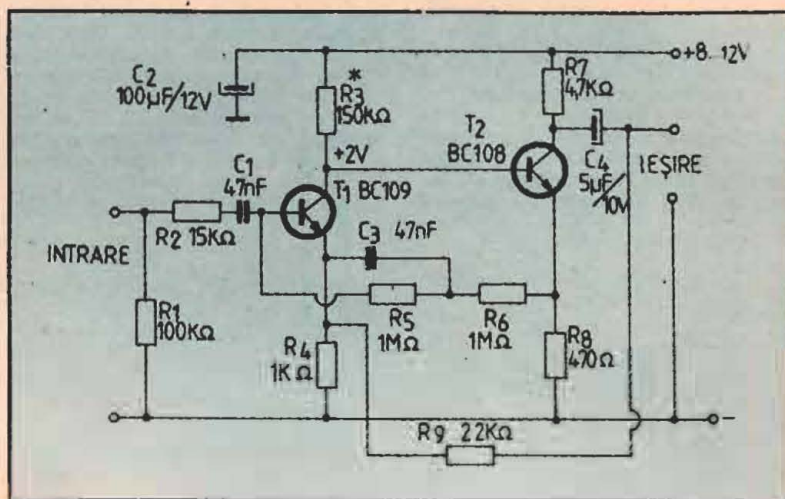
Stabilirea finală a curenților de colector se face din rezistența R<sub>1</sub>.

Din punct de vedere alternativ, lucrurile sînt ceva mai complicate. Rezistența R<sub>1</sub>, împreună cu condensatoarele C<sub>1</sub> și C<sub>2</sub>, realizează o compensare în funcție de frecvență, utilă în cazul redării discurilor. Rezistența R<sub>1</sub>, nedecuplată introduce o reacție negativă de tip serie-serie pe primul etaj. La fel R<sub>2</sub>. Prin R<sub>2</sub>, se introduce o reacție negativă globală de tip paralel-serie. R<sub>1</sub> și R<sub>2</sub> sînt rezistențele de sarcină ale celor două tranzistoare.

Condensatorul C<sub>2</sub> realizează decuplarea sursei de alimentare. Amplificarea în tensiune a montajului se calculează (aproximativ) cu rela-

$$A_v = \frac{R_1}{R_2}$$

Amplificarea se poate modifica după dorință, prin schimbarea valorii lui R<sub>1</sub>, dar acceptînd o micșorare a benzii și mărirea distorsiunilor. Cu valorile de pe schemă, distorsiunile sînt practic nemăsurabile (sub 0,1 %).



## ALARMA PENTRU LOCUINȚĂ

Fiz. GH. BĂLUȚĂ

Schema descrisă mai jos se cuprinde la soneria din locuință și la un întrerupător acționat de ușa de la intrare. Funcțiile realizate sînt următoarele:

a) Acționarea soneriei timp de 30—40 s atunci cînd un intrus deschide ușa pentru un timp mai lung de 0,5 s.

b) Aprinde un bec de 3 W pe toată durata deschiderii ușii, acțio-

nării soneriei și apăsării pe butonul de decuplare a alarmei, plus un interval de 30 s. Becul semnalizează vizual decuplarea și alarma, dar este util și seara pentru orientare la intrarea ori ieșirea din apartament.

c) Decuplarea alarmei se face automat cînd se acționează butonul soneriei sau de la un buton separat; ea durează 30 s, dar continuă un timp nelimitat, dacă ușa este lăsată

deschisă pentru diverse necesități.

d) Permite acționarea normală a soneriei, indiferent de starea montajului și poziția ușii.

Schema alăturată conține trei butoane de control:

— S (sonerie) este întrerupătorul normal al soneriei, ale cărui fire se decuplează din circuitul existent al soneriei și se leagă la montaj;

— D (decuplare) este un întrerupător tip sonerie, montat în interior într-un loc greu vizibil;

— A (alarmă) este un întrerupător care stabilește un contact electric atît timp cît ușa este deschisă. Se montează pe tocul ușii și poate fi un microîntrerupător sau realizat din tablă elastică, după sugestiile din desenul a.

Soneriei există împreună cu sursa ei de alimentare (figurate în schema b) vor fi legate în serie cu contactul normal deschis „sonerie”

ționale continue, deci cu automercurare. Nu se pot folosi sonerii bing-bang cu un simplu electromagnet, fără circuit de întrerupere periodică a curentului.

Urmărind schema, să observăm că alimentarea se face cu plusul la masă. În „stare de așteptare” nici un buton nu este acționat, toate tranzistoarele sînt blocate, relele declanșate, C<sub>1</sub> încărcat, iar C<sub>2</sub> descărcat.

Dacă un intrus deschide ușa, se stabilește contactul A. În câteva zecimi de secundă, prin D<sub>6</sub> se descarcă C<sub>1</sub>, iar baza lui T<sub>1</sub> este conectată la masă. T<sub>1,2</sub> intră în conducție și potențialul punctului X devine negativ. Pe de altă parte, prin D<sub>7</sub> este asigurată deschiderea lui T<sub>3</sub>. Colectorul lui T<sub>4</sub> este acum alimentat, iar prin C<sub>2</sub> trece un curent de bază care asigură deschiderea lui T<sub>4</sub> și, prin acesta și T<sub>3</sub>, anclanșarea releului R<sub>01</sub>. Prin contactul său ND, acesta își asigură automenținerea, astfel că închiderea ușii (blocarea lui T<sub>3</sub>) nu duce la declanșare. Contactele „sonerie” fac să sune alarma. Pot apărea două situații: ușa este închisă rapid sau este lăsată deschisă. În primul caz, la circa 30 s după închidere (deschiderea lui A), curentul de bază al lui T<sub>1</sub>, scade din cauza încărcării lui C<sub>1</sub>, T<sub>1,2</sub> se blochează și R<sub>01</sub> declanșează. În al doilea caz, cele două tranzistoare rămîn în conducție, dar R<sub>01</sub> este declanșat datorită blocării lui T<sub>4</sub>, cauzată de încărcarea, în 30—40 s, a lui C<sub>2</sub>. Ca urmare, semnalul sonor încetează, prevenindu-se arderea soneriei, care nu este, de obicei, dimensionată pentru o funcționare continuă. Re-

## PENTRU ACUMULATOARE MICI

VASILE COSTEA

În practica fotografică și cinematografică a amatorilor s-a răspîndit din ce în ce mai mult utilizarea acumulatorilor ca surse de energie pentru aparatele de filmare și fotografiere, pentru lămpi fulger etc. Este vorba de acumulatori de mici dimensiuni, cel mai adesea de formatul bateriilor R6.

Posesorul unor asemenea acumulatori va trebui să-și achiziționeze și un dispozitiv de încărcare sau, așa cum se propune în acest articol, să-l construiască.

Schema pe care o propune H. Kuhne în lucrarea sa „Elektronisch gesteuerte Aufladung von Akkumulatoren”, în ciuda simplității sale, are următoarele caracteristici:

— menținerea constantă a curentului de încărcare;

— întreruperea încărcării la atingerea tensiunii nominale a acumulatorului;

— reglarea tensiunii de încărcare în intervalul 1,2 — 7,5 V;

— reglarea curentului de încărcare între 5 și 60 mA.

Dispozitivul descris în continuare permite astfel menținerea acumulatorilor timp îndelungat la încărcare, pînă în momentul folosirii

lor practic, este utilizabil pentru o gamă largă de acumulatori, atît cu plumb cit și cu NiCd. Evident, schema este valabilă pentru acumulatori de capacitate mică, sub formă de nasture sau sub formă de baterie.

După cum se poate constata din figură, schema este ușor de realizat, comportă un număr redus de piese, toate fiind componente ușor procurabile și fără performanțe deosebite.

Transformatorul poate fi din cele pentru sonerie, rebobinîndu-se secundarul astfel încît să se obțină 12 V alternativ. Redresarea se face cu patru diode, ca în schemă, sau cu o punte. Pe terminalele condensatorului de 1000 μF trebuie să se obțină o tensiune de 12—18 V.

Curentul constant de încărcare este asigurat de sursa de curent constant formată din T<sub>3</sub>, DZ2, LED și P2. Cu ajutorul potențiometrului P2 se reglează intensitatea curentului de încărcare. Se poate grada butonul potențiometrului P2 în miliamperi, în care caz operația se face cu cursorul potențiometrului P1 la extremitatea superioară.

LED-ul rămîne aprins pe durata

încărcării și se stinge la sfîrșitul acesteia.

Potențiometrul P1 servește reglării tensiunii (în funcție de tipul acumulatorilor de încărcat) și poate fi gradat în volți. Operația de gradare se face cu cursorul potențiometrului P1 pe o poziție mediană și cu un instrument de măsură conectat în paralel cu o rezistență de 1 kΩ legată la bornele de încărcare.

Dioda D5 împiedică descărcarea acumulatorilor în cazul că tensiunea la bornele lor este mai mare decît tensiunea oferită de sursă.

Cît timp durează încărcarea, doar tranzistorul T3 este deschis, asigurîndu-se curentul de încărcare constant. La atingerea tensiunii de încărcare, reglată cu potențiometrul P1, tranzistorul T1 se deschide, implicit se deschide și tranzistorul T2 și se blochează T3 (prin deschiderea lui T2 se scurtcircuitază DZ2 și LED-ul).

Dacă producătorul acumulatorului nu indică altfel, se folosește la încărcare o tensiune de 1,1 ori mai mare decît tensiunea nominală.

Curentul de încărcare rămîne constant pînă la atingerea a cca 95% din tensiunea finală reglată cu P1, după care scade lent pînă la zero.

Piesele din schemă sînt:

D1—D5 = SY200; SY320 sau echivalente;

DZ1 = SZX 21/7,5;

DZ2 = SZX 21/5,1; dacă lipsește LED-ul se va folosi SZX 21/6,8;

T1 = SS216D (β > 80) sau echivalent;

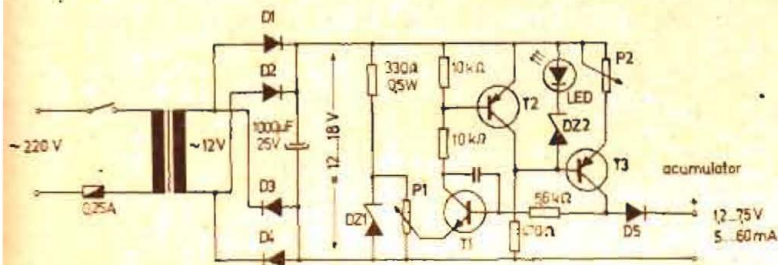
T2 = KFY18; KF517 (β > 50) sau echivalent (tranzistoare cu siliciu);

T3 = ASZ1018; GD240 (β > 30) sau echivalent (≥ 18 V; ≥ 1 W);

LED = VQA 12...15 sau similar;

P1, P2 = 1 kΩ.

Rezistențele sînt de 0,25 W, cînd nu se indică altfel.



## AUTOMAT PENTRU PARBRIZ

Ing. COSTACHE FLORE

Pentru conducătorii autoturismelor „Dacia” 1300 recomandăm construirea unui automat pentru ștergătorul de parbriz, foarte util pe timp nefavorabil atunci cînd nu se dorește funcționarea continuă a ștergătorului.

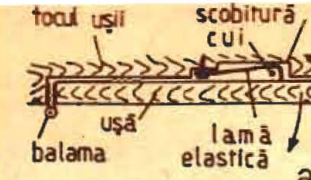
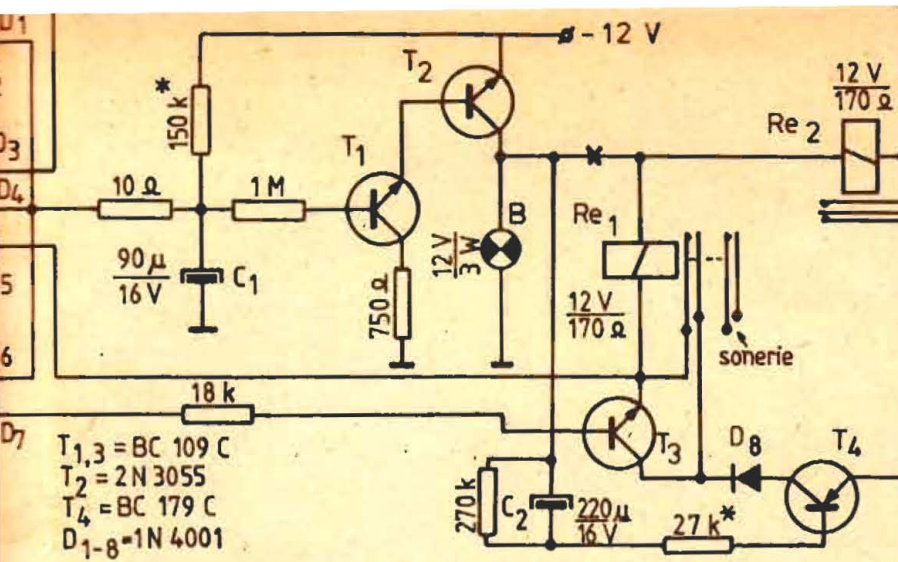
Schema prezentată în figura 1 constă dintr-un astabil realizat cu circuitul integrat 555, la care se poate regla durata impulsurilor generate la ieșire.

La închiderea întrerupătorului 1, circuitul astabil generează semnale dreptunghiulare care determină atragerea sau nu a releului RL.

În timpul cît releul este atras, motorul M se alimentează prin contactul releului RL direct de la bateria mașinii și ștergătorul începe să funcționeze.

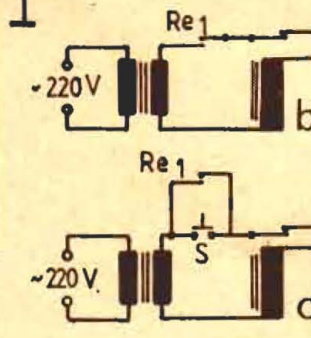
Cînd releul RL nu mai este atras, ștergătorul va continua să funcționeze pînă cînd cama K va reveni în poziția din figura 1, moment în care motorul M este frînat.

Ciclu se reia la o nouă atragere a releului RL. Pentru schema prezentată timpul de funcționare a ștergătorului de parbriz se poate regla în mod continuu din potențiometrul P, pînă la maximum 70 s, iar timpul după care se reia ciclu este de 1,5 min.



montaj (dispar diodele  $D_{3,4,5}$ ), legându-se în paralel cu contactele „sonerie” ale releului  $Re_1$ , după schema c.

La deconectarea alarmei, poate apărea o acționare de foarte scurtă durată a soneriei atunci când se apasă D. Fenomenul se produce dacă  $Re_1$  este mai rapid decât  $Re_2$ . Într-un asemenea caz se vor inversa relele sau i se va mări inerția lui  $Re_1$  prin legarea unui condensator de circa  $100\mu F$  în paralel cu bobina acestuia.



Diodele  $D_{1,7}$  împiedică interconectarea circuitelor legate la același întrerupător. Condensatoarele vor avea curenți de fugă cât mai reduși. Din cauza variației amplificării tranzistoarelor și curenților de fugă a capacităților, este posibil ca timpul indicați pentru temporizări (30–40 s) să nu se obțină de la început. Se vor modifica atunci valorile condensatoarelor sau, în limite nedepășind  $\pm 25\%$ , ale rezistoarelor marcate cu o steluță. Verificați mai întâi montajul șuntind emitorul și colectorul lui  $T_4$  și abia după ce v-ați convins de buna funcționare eliminați scurtcircuitul pentru a verifica deconectarea automată a alarmei în cazul când ușa este lăsată deschisă.

Alimentarea se face cu 12–14 V/0,5 A, de la o sursă separată de cea a soneriei, pentru evitarea supratensiunilor ce apar în timpul funcționării acestuia.

istorul montat în paralel pe  $C_2$  îl descarcă pe acesta în aproximativ 5 minute de la deschiderea lui A, făcând montajul apt pentru o nouă alarmare. Dioda  $D_8$  împiedică încărcarea lui  $C_2$  în situația când se apasă pe S.

Funcționarea normală a soneriei este asigurată astfel: la apăsarea lui S sînt legate la masă cite o bornă a releelor și baza lui  $T_1$ . Cum am văzut, în X apare un potențial negativ timp de 30 s;  $Re_2$  este anclanșat pe acest interval; iar  $Re_1$ , doar în timp ce S este apăsat, deoarece proprietatea de automenținere s-a transferat de la  $Re_1$  și  $Re_2$  prin deplasarea

contactului central al lui  $Re_2$ . Pe un interval de 30 s de la ridicarea degetului de pe S, alarma este blocată datorită lipsei legăturii emitorului lui  $T_4$  la masă. În acest timp putem deschide ușa, iar blocarea persistă pe toată durata deschiderii, plus 30 s după închidere. Simultan cu blocarea, becul B este aprins.

Cum procedăm cînd dorim să ieșim fără a alerta... vecinii? În acest caz, o scurtă apăsare pe butonul D montat în interior acționează releul de blocare  $Re_2$  și circuitul de temporizare cu  $T_{1,2}$ . Efectul este același ca cel de la apăsarea lui S, exclusiv funcționarea soneriei care se obține

prin  $D_5$ .

Am menționat mai sus că deconectarea alarmei din afară se face automat, simultan cu acționarea butonului S al soneriei. Dacă acest sistem nu este agreeat de constructor, se poate folosi o variantă a montajului la care blocarea se face de la un buton legat în paralel pe D și situat în exterior. El poate fi camuflat într-un mod oarecare; de exemplu, prin realizarea sa din două piese metalice (chiar capete de cui), între care se stabilește contactul prin atingerea lor cu cheia sau cu o monedă. În această variantă butonul S al soneriei nu se mai conectează la

**DETALII CONSTRUCTIVE**

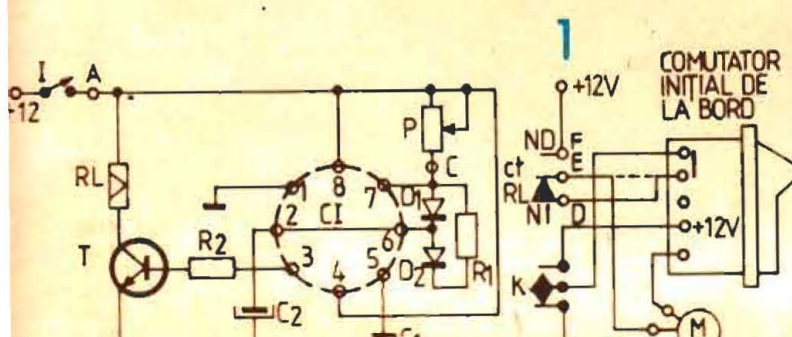
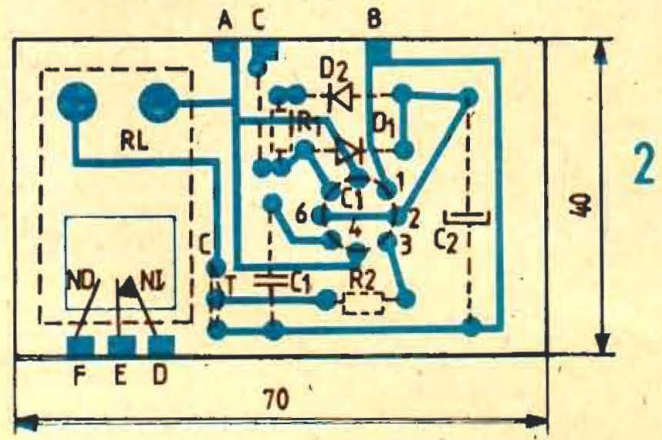
În figura 1 se prezintă legăturile la instalația autoturismului.

Schema se execută pe o plăcuță de circuit imprimat al cărui cablaj este dat în figura 2 și care poate fi ușor montată la bordul autoturismului, scoțindu-se în exterior întrerupătorul I și potențiometrul P.

Montajul, simplu și util, este fiabil în exploatare și nu afectează funcționarea independentă a instalației autoturismului.

**LISTA DE PIESE**

I — Întrerupător basculant, CI —  $\mu E 558$ , RL — RM1—12 V/220 W, miniatură; T — BC 172 (BC 171, BC 107, BC108); D, D<sub>1</sub> — EFD 105 (EFD 106, 1N4148); C<sub>1</sub> — 10 nF/100 V, C<sub>2</sub> — 100  $\mu F$ /63 V; R — 12 M $\Omega$ /0,5 W; R<sub>1</sub> — 5 x 10,5 W; P — potențiometrul tipul 1 M11.



**CONVERTOR 6V/12V-8W**

Ing. MARIN PETRESCU

Cu montajul prezentat mai jos se poate asigura alimentarea unui casetofon auto dintr-un acumulator de 6 V.

Montajul oferă o putere în jur de 8 W, avînd un randament de 80–85%. El a fost montat pe un autoturism „Trabant”, asigurînd alimentarea unui casetofon „Corina” de 2 x 2,6 W.

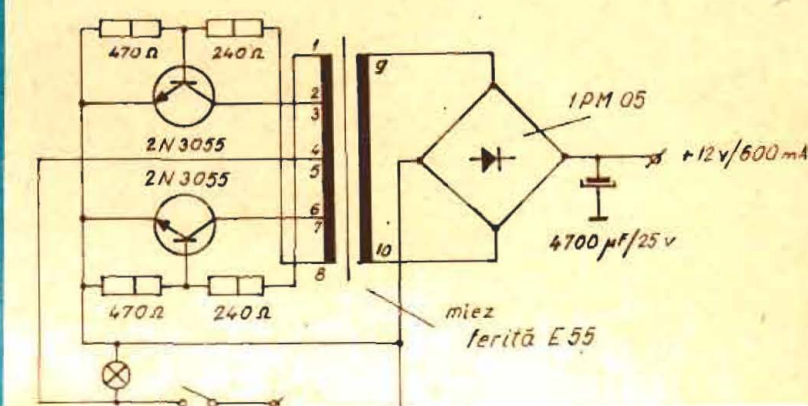
În absența miezului de ferită, transformatorul se poate realiza cu tole E 12, grosimea pachetului 24 mm, în care caz:  $n_1 = 18$  spire,  $n_2$

= 7 spire și  $n_3 = 43$  spire. Poate întăsurările primarului sînt în același sens, notîndu-se capetele, care se leagă conform schemei. Bobinarea se începe cu  $n_3$  și se sfîrșește cu  $n_1$ , care trebuie să se afle la exterior.

Tranzistoarele se montează în compartimentul motorului, în habitacul venindu-se numai cu tensiunea de 12 V.

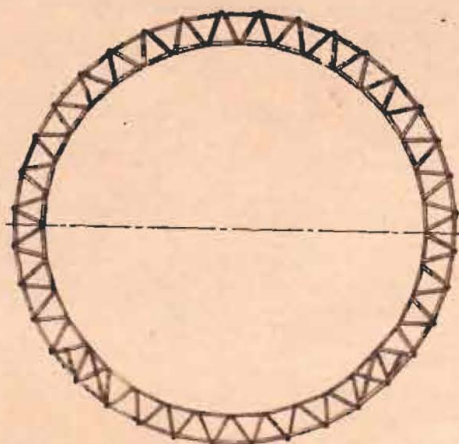
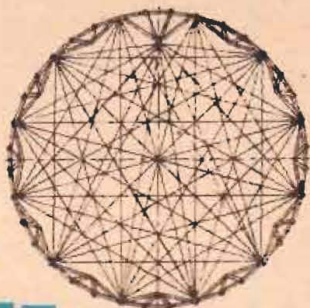
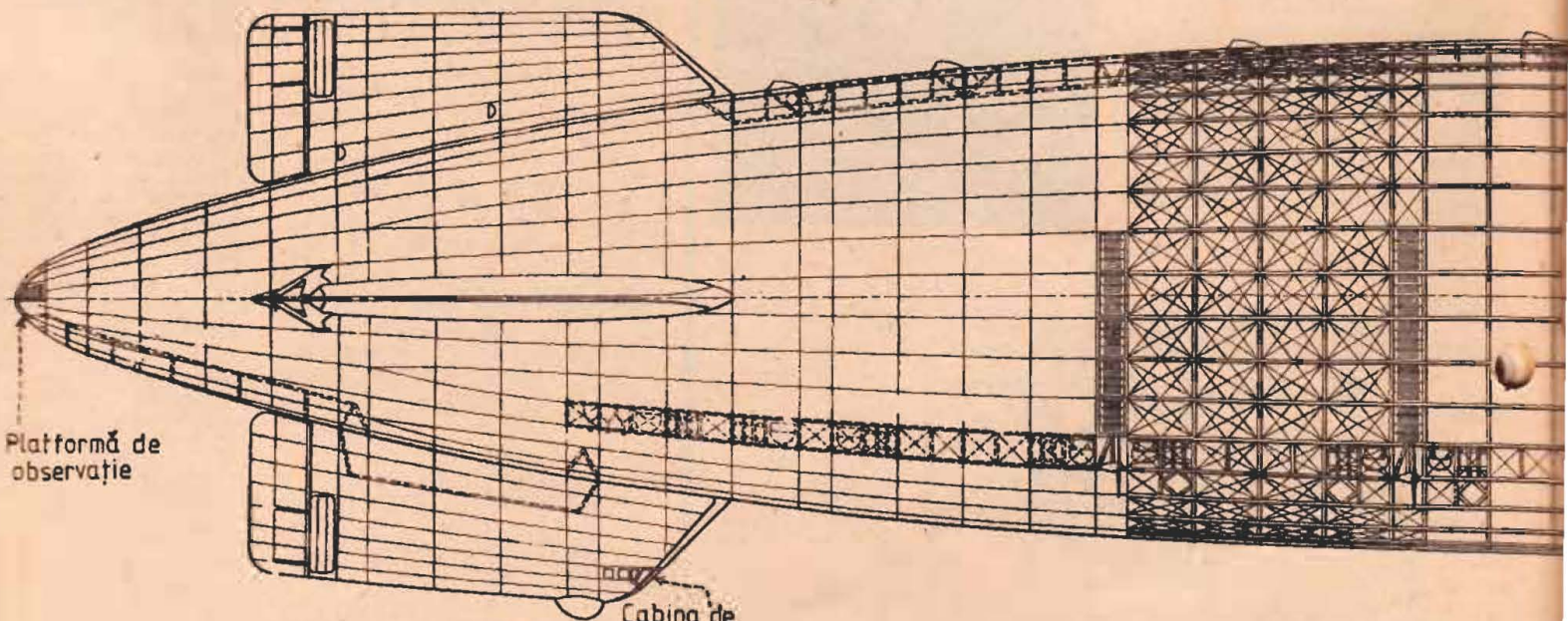
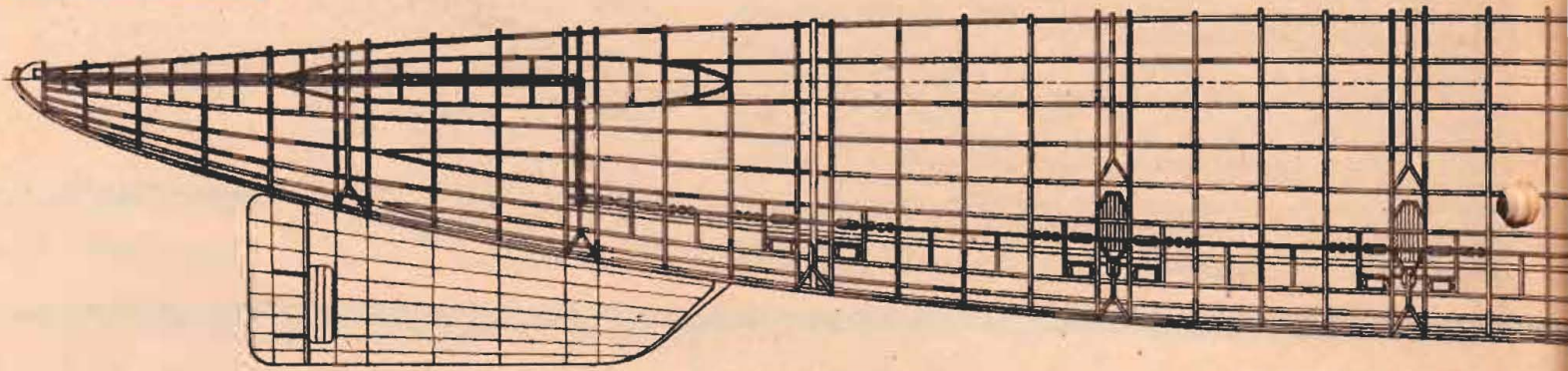
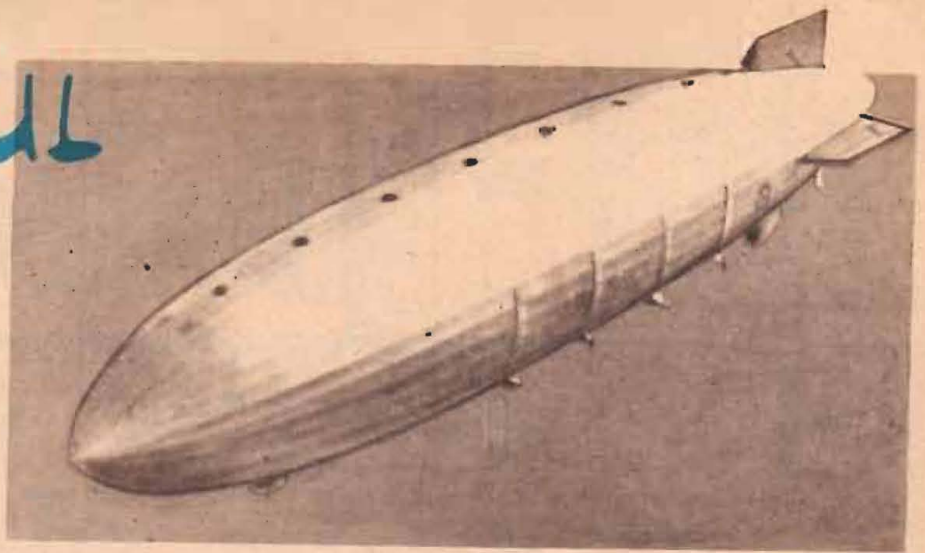
Becul este necesar pentru a marca punerea sub tensiune a convertorului.

Înfășurarea	Nr. spire	Diametrul	Material
$n_1$	3 - 4 5 - 6	25	1,0 mm CuE
$n_2$	1 - 2 7 - 8	9	0,5 mm CuE
$n_3$	9 - 10	60	0,8 mm CuE



# IRIJABILUL AKRON

Ing. CRISTIAN CRĂCIUNOIU

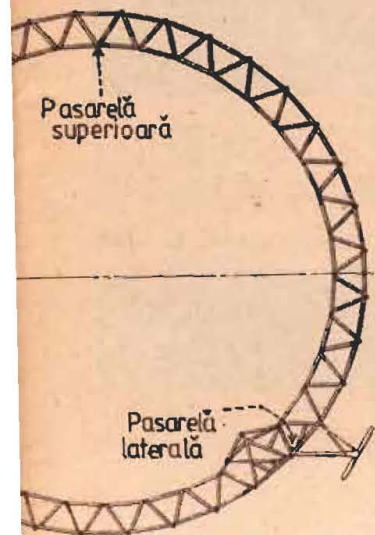
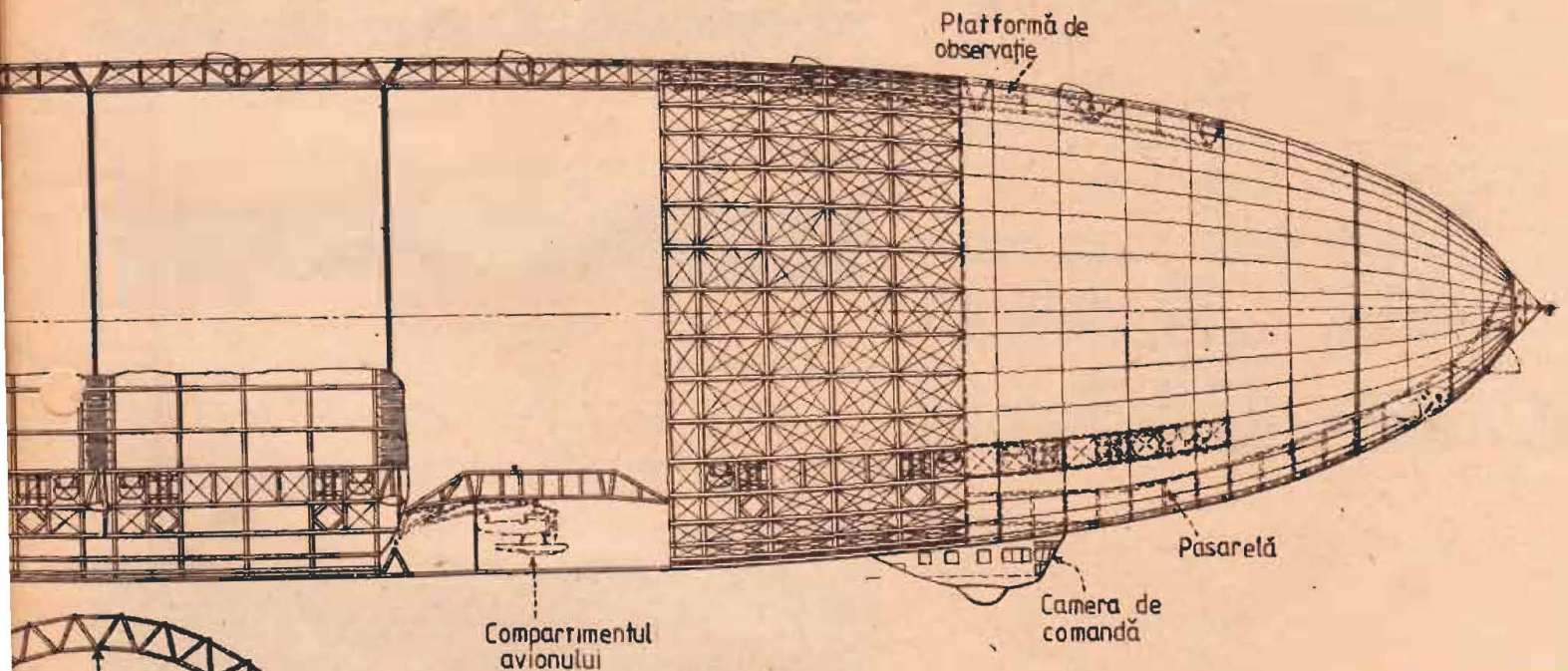
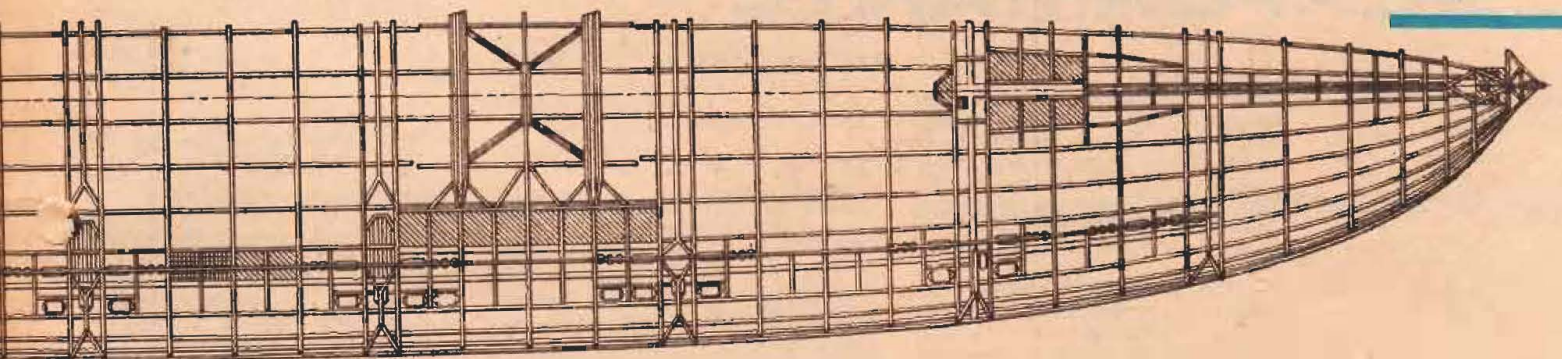


... ca vehicule de transport de mare randament, iar revistele de specialitate publică, deocamdată, modele ale acestora.

Dirijabilele au făcut „epocă” în primele decenii ale secolului, dar accidentele datorate utilizării hidrogenului (gaz foarte inflamabil) pentru realizarea sustentăției, cit și perfecționarea rapidă a avioanelor au dus practic la dispariția lor.

Utilizarea heliului în locul hidrogenului, a unor motoare foarte economice și apariția unor materiale foarte ușoare pentru înveliș și structură le-au readus în actualitate. Se consideră că prețul unei tone de material transportate pe calea aerului prin intermediul unui dirijabil este de circa 4 ori mai redus decât în cazul transportului cu avionul.

Pentru amatorii de machete prezentăm planurile și istoricul unuia dintre cele mai mari dirijabile construite vreodată: AKRON.



Primul zbor al acestui vehicul a avut loc la 23 septembrie 1931, în cadrul unei festivități, în Statele Unite ale Americii. În acest zbor el a transportat 113 persoane, atingând viteza maximă de 125 km/h.

Avea o lungime de 240 m, o înălțime de 48 m și un volum total de 185 000 mc. Deplasamentul dirijabilului era de 208 t din care 56 t de carburant. Raza de acțiune era apreciabilă, 20 000 km la viteza de 74 km/h și 9 000 km la 125 km/h.

În locul celor 120 de pasageri putea transporta 5-7 hidroavioane, executându-se încercări de lansare a acestora în plin zbor.

Propulsia era asigurată de 8 elice montate simetric de-a lungul corpului, în partea inferioară. Era vopsit

argintiu și purta însemnele marinei militare.

Recomandăm construcția machetei statice pentru începători, dar nu excludem posibilitatea construcției unui model telecomandat, principala impediment fiind dimensiunile apreciabile ale construcției pentru a putea ridica receptorul stației și minimum două motoare. Dirijabilele de mici dimensiuni cu formă nerigidă sînt utilizate în scopuri meteorologice, de supraveghere a bazinului hidrografic, împrăștiere de insecticide etc.

În cazul realizării machetei statice recomandăm o scară de construcție cuprinsă între 1:100 și 1:50.

Corpul poate fi foarte bine executat din polistiren expandat acoperit

cu pînză fină (eventual ciorneț) și aracet. Nacela și rîndele urmează a fi executate din lemn.

Construcția unui model zburător este însă cu mult mai complexă, presupune un calcul exact al forțelor de ascensiune, al greutatei utilității și al deplasamentului pînzei. Tehnologia de construcție în acest caz este accesibilă numai avansatilor, corpul putînd fi executat dintr-un schelet de balsam de lemn sau cu o peliculă de film celulozic. Membrana subțire din cauciuc este lipsită de interes nici în modelul mai ușor decît aerul ce stă de birou sau lipită de tavan prin propria forță ascensională. Diferențele de presiune sunt mici și se deosebesc de cele din natură.



# AUTO - MOTO

## AUTOTURISMELE "OLTCIT" PERFORMANȚE

### 1. CARACTERISTICILE DINAMICE ALE MOTOARELOR

Capacitatea de tracțiune a autoturismelor OLTCIT este determinată de posibilitățile dinamice ale motoarelor cu care sînt echipate cele două tipuri de autoturisme, fabricate de uzinele românești, concretizate în caracteristica de turație (exterioară) a acestora (fig. 1).

Autoturismele TA-1 sînt echipate cu motoare M-031, care — încercate la banc — au următoarele caracteristici dinamice: putere maximă de 34,0 CP (25 kW), la turația de 5 250 rot/min; moment maxim de 5,1 daN.m, la turația de 3 500 rot/min; turația maximă de 6 250 rot/min; zonă de funcționare stabilă (stabilitate): 3 500—6 250 rot/min; indice de adaptabilitate (suplețe):  $K_a = 1,108$ .

Autoturismele TA-2 sînt echipate cu motoare M-036, care — încercate la banc — au următoarele caracteristici dinamice: putere maximă de 57,4 CP (42,2 kW), la turația de 6 000 rot/min; moment maxim de 8,2 daN.m la turația de 3 500 rot/min; turația maximă de 6 500 rot/min; zonă de funcționare stabilă (stabilitate): 3 500—6 500 rot/min; indice de adaptabilitate (suplețe):  $K_a = 1,17$ .

### 2. RAPOARTELE DE TRANSMITERE A MIȘCĂRII DE ROTĂȚIE ȘI VITEZELE AUTOTURISMELOR

Autoturismele OLTCIT sînt echipate cu schimbătoare de viteză mecanice, organizate cu cîte patru trepte pentru mers înainte și o treaptă pentru mers înapoi; acționarea acestora este clasică, cu pîrghie de viteze.

Rapoartele — parțiale și totale — de transmitere sînt prezentate în tabelul 1.

Rațiile progresiilor geometrice, formate de rapoartele de transmitere ale schimbătoarelor de viteză, folosite la cele două autoturisme sînt: 0,604 (TA-1) și 0,640 (TA-2).

Prin construcție, s-a asigurat ca saltul etajării rapoartelor de transmitere să fie din ce în ce mai mic:

$$\begin{aligned} & \text{la autoturismul TA-1: } \frac{4,545}{2,500} > \frac{2,500}{1,643} > \frac{1,643}{1,147} \\ & \text{la autoturismul TA-2: } \frac{3,818}{2,294} > \frac{2,294}{1,500} > \frac{1,500}{1,031} \end{aligned}$$

asigurîndu-se astfel funcționarea normală a motoarelor la schimbarea vitezelor.

Acoperirile la schimbarea treptelor de viteză — în interiorul zonei de funcționare stabilă a motorului — sînt următoarele:

Pentru autoturismul TA-1, la care turațiile extreme de schimbare a treptelor de viteză — situate în zona de funcționare stabilă — sînt  $n' = 3 500$

Dr. Ing. TRAIAN CANȚĂ

rot/min și  $n'' = 6 000$  rot/min, vitezele calculate cu relația:

$$V = 0,377 \frac{rd \cdot n}{i_1}$$

în care raza dinamică a pneului folosit este  $rd = \frac{1,720}{2}$  (m) sînt date în tabelul 2.

Se constată că acoperirea — indicată teoretic — pentru schimbarea vitezei din treapta I în treapta a II-a este negativă. Urmărind variația momentului, în graficul din figura 1, se constată că la turația de 3 000 rot/min momentul dezvoltat de motor este foarte apropiat de valoarea sa maximă ( $M \approx 5$  daN.m), ca atare se poate efectua schimbarea la această turație, în care:

Acoperirea, în acest caz, este pozitivă,  $\Delta V = + 2,83$  km/h, iar schimbarea vitezei în treapta a II-a se face — datorită caracteristicii motorului — fără a se influența mersul normal al autoturismului, rezistențele la înaintare fiind mult mai mici decît forța de tracțiune (a se vedea diagrama din figura 4).

Pentru autoturismul TA-2, la care turațiile extreme de schimbare a treptelor de viteză — situate în zona de funcționare stabilă — sînt  $n' = 3 500$  rot/min și  $n'' = 6 000$  rot/min, vitezele calculate sînt date, de asemenea, în tabelul 2.

La acest autoturism, acoperirea teoretică este asigurată pentru toate treptele de viteză, turația minimă fiind turația corespunzătoare momentului motor maxim. Cu ajutorul valorilor obținute mai sus s-au trasat diagramele ferăstrău respective, prezentate în figurile 2 și 3.

Vitezele minime și maxime — determinate prin calcul — ce se pot obține la fiecare treaptă de viteză selectată, în condițiile unei bune funcționări a motorului, sînt prezentate în tabelul 3.

### 3. CARACTERISTICILE DE DINAMICITATE ALE AUTOTURISMELOR OLTCIT

#### 3.1. CARACTERISTICILE DE TRACȚIUNE

Din ecuația de echilibru dinamic — care reprezintă bilanțul forțelor ce acționează asupra autoturismului la plină admisiune (putere maximă) — se determină forța de tracțiune, care echilibrează suma tuturor rezistențelor la înaintare. Forța de tracțiune,  $F_t$ , variază în funcție de momentul motor,  $M$ , astfel:  $F_t = \frac{M \cdot i_1}{r} \cdot \eta$ , în care

$r$  este raza de rulare a roților motoare,  $\eta$  = randamentul global al transmisiei,  $i_1$  = raportul total de transmitere în treapta de viteză selectată.

Pentru determinarea caracteristicilor de dinamicitate ale autoturismelor OLTCIT

TABELUL 1: Rapoartele de transmitere ale autoturismelor OLTCIT

Grupul conic		Cutia de viteze				Raportul total	
TA-1	TA-2	Treapta	TA-1	TA-2	Treapta	TA-1	TA-2
4,375	4,125	I	4,545	3,818	$i_{I1}$	19,885	15,794
		II	2,500	2,294	$i_{II1}$	10,938	9,463
		III	1,643	1,500	$i_{III1}$	7,188	6,188
		IV	1,147	1,031	$i_{IV1}$	5,0188	4,253
		V	4,182	4,182	$i_{VM1}$	18,296	17,251

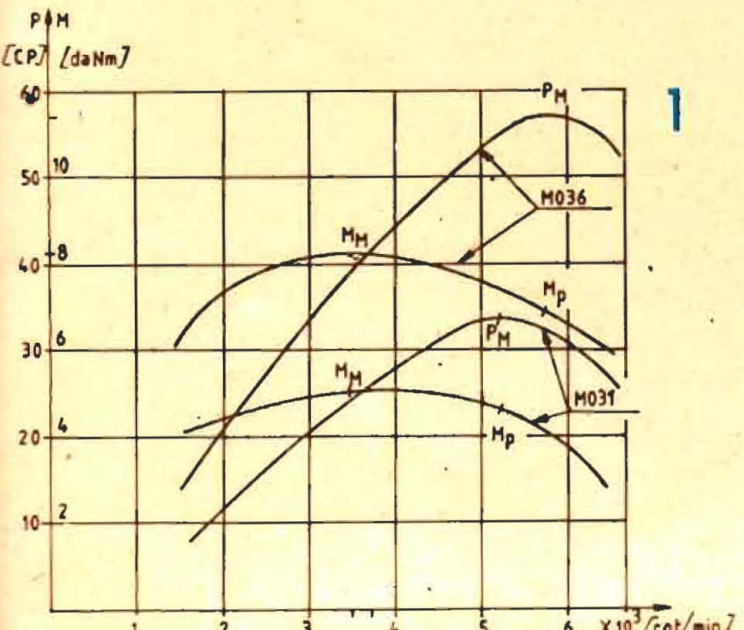
TABELUL 2: Acoperiri la schimbarea vitezelor la autoturismele OLTCIT

Treapta de schimbare	Vitezele corespunzătoare treptelor și turațiilor (km/oră)				Acoperirea (km/oră)	
	Superioară		Inferioară		TA-1	TA-2
	TA-1	TA-2	TA-1	TA-2		
I — II	31,14	39,32	33,02	38,17	-1,88	+1,15
II — III	56,61	65,43	50,25	58,37	+6,36	+7,06
III — IV	86,14	100,07	71,98	84,93	+14,16	+15,14

TABELUL 3: Vitezele extreme teoretice pentru fiecare treaptă de viteză

Autoturismul	extrema	Viteza autoturismului (km/h)			
		Treptele de viteză			
		I	II	III	IV
TA-1	min.	3,37*	28	50	71
	max.	31	56	86	123
TA-2	min.	3,28**	38	58	85
	max.	39	65	100	146

\* calculată pentru  $n = 650$  rot/min;  
\*\* calculată pentru  $n = 500$  rot/min.



# DEPANARE RAPIDĂ

ȘTEFAN STĂNESCU

Ne vom referi la defecțiunile motorului de „Dacia” 1300, și anume la modul în care se manifestă ele și la unele posibilități de remediere temporară sau totală.

● **Ruperea curelei de ventilator.** Curea de ventilator este confecționată din pînză cauciucată, material care se uzează pe timpul folosirii și se rupe. Defecțiunea se constată prin dispariția zgomotului caracteristic produs de ventilator, prin încălzirea motorului și funcționarea acestuia cu detonații, prin aprinderea becului de control și prin nelindicarea încărcării ampermetrului. Remediere: se montează o curea nouă, se reglează întinderea ei și se încearcă funcționarea motorului. În cazul în care nu avem curea de rezervă, prindem capetele celei vechi cu o sîrmă moale.

● **Deteriorări ale racordurilor de cauciuc.** Se produc în urma folosirii incorecte a acestora sau datorită îmbătrînirii cauciucului. Acesta se fiurează și permite scurgerea lichidului de răcire. Remediere: se înlocuiește racordul deteriorat cu unul nou. Cînd nu avem, înfășurăm locul fisurat cu o bandă izolatoare peste care aplicăm un strat de săpun.

● **Defecțiuni ce pot apărea la baterie.** La încercarea de pornire a motorului vedem că aceasta nu se întâmplă, ba, mai mult, becurile de control roșii nu se aprind. Defecți-

nea se datorează unor legături desfăcute, lipsei totale sau parțiale de electrolit în elemente, densității prea mici a electrolitului sau înghețării acestuia (iarnă). Remediere: bateria se dă la control la centrele de specialitate sau se înlocuiește cu una nouă.

● **Coborîrea anormală către zero a acului indicatorului de benzină** se datorează întreruperii circuitului electric sau perforării, dezlipirii ori spargerii rezervorului de benzină.

● **Nefuncționarea vitezometrelor** sau indicarea unor viteze greșite este cauzată de ruperea cablului de kilometraj.

● **Lipsa de benzină** este una din penele care ar trebui să fie înfîlțite foarte rar. Ea se datorează fie terminării combustibilului, fie unor defecțiuni apărute pe circuitul rezervor-carburator.

● **Terminarea combustibilului** duce la oprirea motorului. Fenomenul este precedat de apariția unor întreruperi ale motorului. Defecțiunea se poate observa și la indicatorul de benzină, care rămîne la zero după punerea contactului. Remediere: se pune benzină în rezervor și se amorsează instalația de alimentare prin pompa de benzină, manual dacă are un astfel de dispozitiv, sau prin rotirea arborelui cotil cu ajutorul motorului. Uneori, cum pe fundul rezervorului se strîng impurități,

sau, în cel mai rău caz, jicloarele carburatorului.

**Defecțiuni apărute pe circuitul rezervor-carburator**

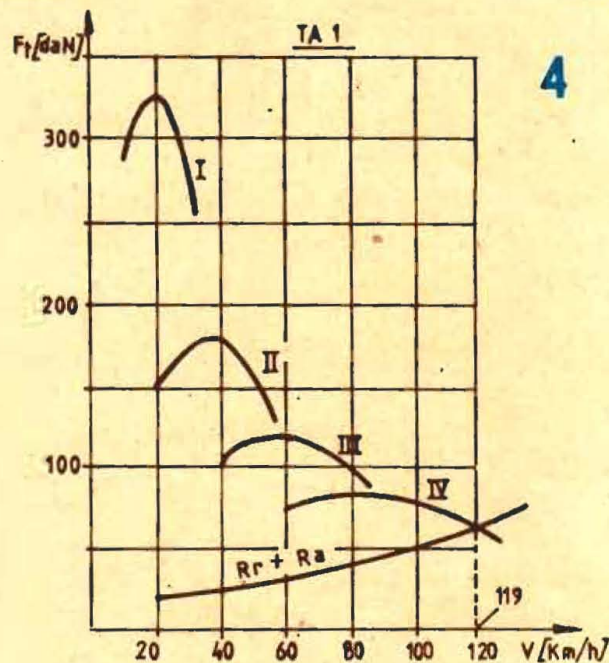
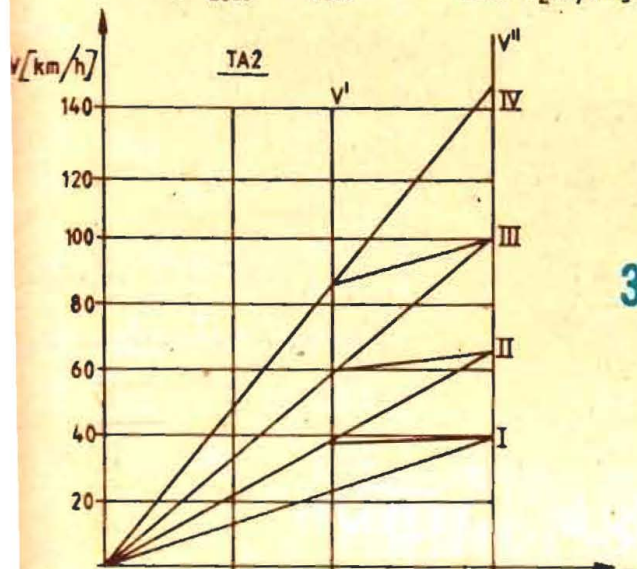
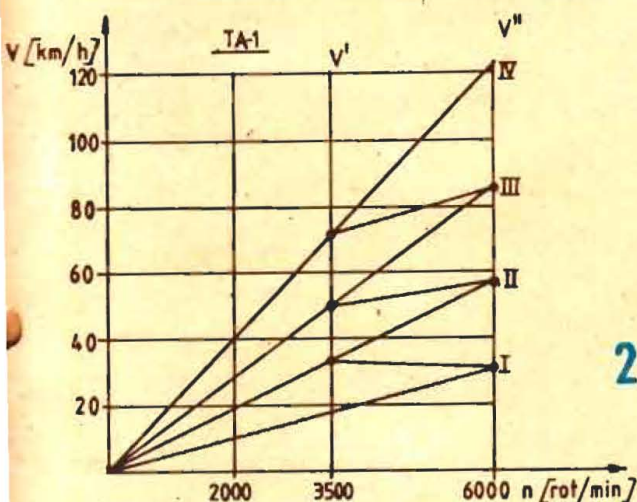
a. **Perforarea rezervorului de benzină** este cauzată în general de ruginirea tablei din care este confecționat. Remediere: temporar, se acoperă spărtura sau fisura cu un petec de țesătură impermeabilă (sau carton subțire) lipit cu săpun sau miez de piine înmuiat.

b. **Conductele sînt infundate sau deteriorate.** Infundarea conductelor duce la alimentarea insuficientă a motorului, urmată de întreruperea funcționării și de oprirea acestuia. Defecțiunea se constată prin demontarea pe rînd a conductelor pe traseul rezervor-pompă de benzină-carburator. În porțiunea în care se observă că nu curge benzină rezultă că sînt impurități. Remediere: se suflă aer comprimat prin conducte cu ajutorul pompei de umflare a pneurilor pînă cînd sînt scoase impuritățile (sau dopurile de gheață, jarna).

c. **Filtrele de benzină infundate sau deteriorate** pot duce la infundarea conductelor sau a jicloarelor carburatorului, întrerupînd funcționarea motorului. Filtrarea se face prin sita metalică aflată în carburator la intrarea benzinei. Remediere: se demontează cu grijă șurubul de prindere a sitei, se scoate sita și se curăță prin suflare cu aer; se verifică dacă prin ea se vede lumina zilei sau a unui bec și se montează la

d. **Defecțiuni ale pompei de benzină.** Pompa de benzină debitează sub presiune combustibil din rezervor spre carburator. Ea este acționată prin intermediul unei pîrghii de către arborele cu came al motorului. Cele mai frecvente pene sînt legate de perforarea membranei, datorată unor defecțiuni ale instalației de alimentare. Odată cu perforarea membranei, apar și scurgeri de benzină însoțite de mirosul caracteristic. Remediere: după constatarea scurgerilor, se demontează pompa și se înlocuiește membrana deteriorată cu una nouă. Dacă nu avem o membrană nouă, recurgem pînă la primul service la improvisații; de exemplu, dintr-o bucată de cauciuc de cameră se confecționează o membrană similară. La scurgerile de benzină în exterior (nu sînt legate de membrană) se aplică săpun pe porțiunea de scurgere.

e. **Defecțiuni ale carburatorului.** Carburatorul este cel mai important organ al instalației de alimentare a motorului. În carburator are loc amestecul benzinei cu aerul într-o anumită proporție. Una din cele mai frecvente pene la carburator este infundarea jiclorului principal. Defecțiunea se produce cînd benzina conține praf, scame etc. Remediere: se golește benzina din carburator, se spală jiclorul principal și se suflă aer comprimat cu ajutorul pompei de umflare a pneurilor. Este interzisă curățarea orificiului jiclorului cu ajutorul sîrmei.



melor OLTCIT, s-au considerat următorii parametri principali:

- f — coeficient mediu de rezistență la rulare (0,02);
- k — coeficient aerodinamic ( $0,0625 \cdot C_x = 0,0241875$ );
- A — aria secțiunii maxime perpendiculare pe direcția de deplasare ( $1,783 \text{ m}^2$ );
- i<sub>1</sub> — raportul de transmitere al grupului conic (4,375 pentru TA-1 și 4,125 pentru TA-2);
- G<sub>1</sub> — greutatea autoturismului;
- r<sub>1</sub> — raza de rulare a pneului (0,274 m);
- η — randamentul global al transmisiei (0,89).

Pe baza unor relații cunoscute din literatura de specialitate, pentru fiecare autoturism separat s-au trasat caracteristicile prezentate în continuare.

Astfel, pentru autoturismul TA-1, la trasarea caracteristicii de tracțiune din figura 4 s-au determinat parametrii principali, în fiecare treaptă de viteză. Similar, pentru autoturismul TA-2.

Caracteristicile de tracțiune dau posibilitatea de a determina și studia performanțele autoturismelor în diferite condiții de rulare și drum.

## 3.2. CARACTERISTICILE PUTERILOR

Din cercetarea bilanțului puterilor la roțile motoare ale celor două autoturisme OLTCIT, s-au trasat graficele acestor bilanțuri, care reprezintă caracteristicile puterilor în toate treptele de viteză, precum și curbele de variație a puterilor rezistente (de rulare și a aerului), pentru fiecare autoturism în parte.

Astfel, în figura 6 avem caracteristica puterilor la autoturismul TA-1, iar în figura 7 aceeași caracteristică pentru autoturismul TA-2.

Pe aceste diagrame s-au trasat curbele de variație a puterilor rezistente în cele două situații extreme cu autoturismele încărcate și numai cu șoferul în habitacul, indicîndu-se vitezele maxime în ambele situații.



Tehnium

# FOTOTEHNICĂ

## TEMPORIZATOR FOTO

Ing. N. ANDRIAN

Un temporizator se poate utiliza în automatizări industriale, automatizări casnice, laboratoare foto etc. În cele ce urmează vom prezenta un temporizator ce poate asigura temporizări între zecimi de secunde și ore, acoperind astfel aproape toate domeniile de utilizare ale unor asemenea dispozitive. Toate componentele electronice sînt de fabricație I.P.R.S. Schema conține un oscilator ce furnizează baza de timp selectabilă între 0,1 secunde și 100 de secunde, un șir de numărătoare decadice și decodificatoare binar-zecimale, 4 comutatoare cu câte un galet pentru programarea temporizării și un circuit cu tiristor ce realizează aprinderea becului sau permite alimentarea cu energie a dispozitivului de execuție.

Oscilatorul are în componența sa

4 porți NAND dintr-o capsulă de tipul CDB 400 E. Pentru a realiza oscilații cu perioada mare utilizînd condensatoare de capacitate mică și rezistențe de valoare ridicată, s-a introdus un tranzistor ce joacă rolul de adaptor de impedanță. Schimbarea gamelor de timp se realizează prin modificarea constantelor RC cu ajutorul comutatorului  $K_1$ .

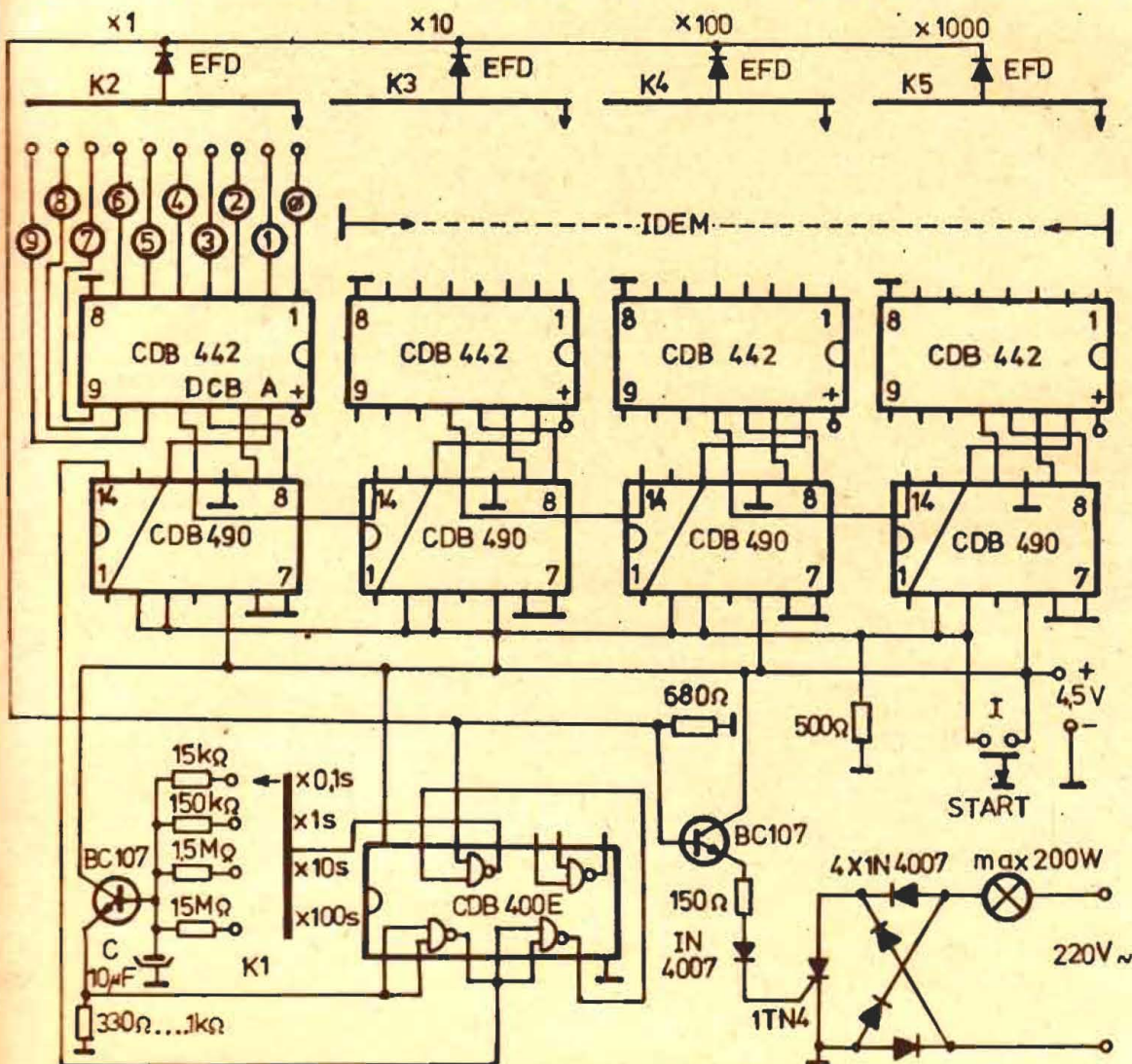
Numărătorul de impulsuri bază de timp este compus din patru capsule de tipul CDB 490 E. Fiecare capsulă conține cite un numărător decadic. Intrarea de numărare se află la pinul 14; iar aducerea la zero se realizează o dată pentru tot șirul prin închiderea contactului I. Astfel, pe pinii 2 și 3 se aplică un nivel logic „1” ce comandă ștergerea conținutului memorat.

Decodificatorul are în compo-

nența sa 4 celule de decodificare binar-zecimală tip CDB 442 E. Ieșirile acestora se leagă la 4 comutatoare cu câte un galet fiecare. Comutatoarele pot fi înlocuite cu cite 10 borne plus un fir cu banană ce se introduce într-unul din lăcașele selectate pentru temporizare. Citirea se face prin observarea pozițiilor celor 4 comutatoare cuplate cu decodificatoarele binar-zecimale. Cifra unităților este indicată de poziția comutatorului  $K_2$ , a zecilor de  $K_3$ , a sutelor de  $K_4$  și a miilor de  $K_5$ . Această cifră este înmulțită cu valoarea bazei de timp, aflîndu-se astfel durata temporizării.

Circuitul de aprindere a becului conține un tiristor și o punte de redresare a curentului alternativ furnizat de rețea. Comanda tiristorului se realizează prin intermediul unui tranzistor tip BC 107.

**Exemplu de programare.** Presupunem că dorim o temporizare de 30 de minute. Se închide contactul I. Se fixează comutatorul  $K_1$  pe poziția X1s, comutatorul  $K_2$  pe poziția 0,  $K_3$  pe 0,  $K_4$  pe 8 și  $K_5$  pe 1. După aceea se alimentează dispozitivul. Startul se dă prin deschiderea contactului I.



Manevrarea hîrtiei fotosensibile în laboratorul fotografic este mult facilitată de existența unui sertar etans la lumină și aflat în apropierea aparatului de mîrit. În acest sertar se ține hîrtia neexpusă și, eventual, dacă spațiul permite, hîrtia expusă pînă la dezvoltare.

Dacă aparatul de mîrit se află pe o masă obișnuită, este probabil ca aceasta să aibă și un sertar utilizabil în sensul expus, după luarea unor măsuri de etanșare la lumină.

Pentru cazul în care acest sertar nu există, se propune construirea unui, corp comun cu planșeta aparatului de mîrit, după cum se poate vedea în figura 1, unde s-au notat: 1 — aparat de mîrit; 2 — planșeta aparatului de mîrit; 3 — ansamblu sertar.

Ansamblul sertar (figura 2) se compune dintr-o casetă avînd perețele superior chiar planșeta aparatului de mîrit și un sertar propriu-zis. Părțile componente sînt: 1 — pereți laterali; 2 — perete posterior; 3 — placă de bază; 4 — perete frontal sertar; 5 — pereți laterali sertar; 6 — placă de fund; 7 — perete posterior sertar; 8 — mîner.

Dimensiunile planșetei aparatului de mîrit sînt „Jxsg”. Plecînd de la ele și alegînd înălțimea sertarului „a”, se determină cotele celelalte ale construcției. Vom exemplifica prin

## LĂMPI CU OGLINDĂ RECE

Ing. V. CĂLINESCU

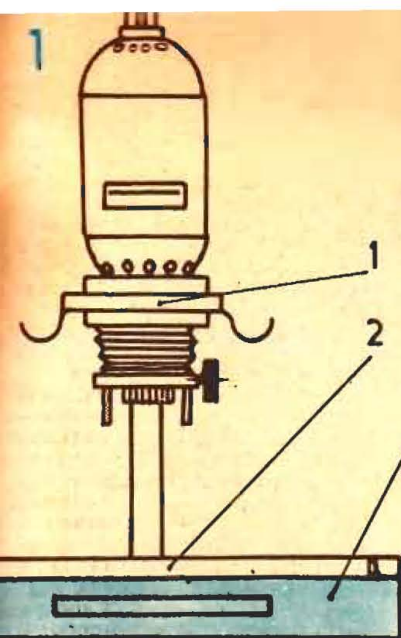
Printre perfecționările care în ultimii ani s-au impus în tehnica fotografică și cinematografică se numără și lămpile cu halogen cu oglindă rece. Fotoamatorul sau cineamatorul le înfățișează în capetele color ale aparatelor de mîrit și la aparatele de proiecție, fie ele pentru diapozitive sau cinematografice.

În construcția clasică a sursei de lumină dintr-un sistem de proiecție există ca părți obligatorii o oglindă concavă, o lampă cu incandescență (excludem cazul folosirii arcului electric) sau, mai rar, una cu descărcare în gaze și un sistem optic condensor. De regulă, sursa în ansamblu este prevăzută și cu un filtru anticaloric.

Introducerea în practică a becurilor halogen a permis în foarte multe cazuri să se excludă sistemul optic condensor, date fiind caracterul punctiform al luminii emise de acestea și intensitatea mare a fluxului luminos. Ca impediment însă a apărut încălzirea mai mare a echipamentului prevăzut cu becuri halogen dato-

După scurgerea celor 1 800 de impulsuri cu perioada de o secundă, la ieșirea circuitului SAU, realizat cu cele 4 diode EFD, apare un nivel logic 0, ce va determina oprirea oscilatorului și blocarea tranzistorului de comandă a tiristorului. O nouă temporizare începe imediat ce șirul de numărătoare se aduce la zero prin închiderea și apoi deschiderea contactului I.





cazul unui aparat de mărit de tip KROKUS 3 (4) care are planșete de 600x450x20 mm. Se alege „a” de 100 mm. Rezultă cota „H” = a+g = 120 mm. Cotele „t” și „T” sînt, de asemenea, la alegere în plaja t = 10...20 mm și t = 15—25 mm. Să considerăm t = 10 și T = 15.

Reperele 2 și 3 se fac din placaj gros de 4—6 mm („b”). Capacul sertarului se face din panel sau scindură,

dură, cota „C” nedepășind valoarea „H”, dar nefiind mai mică de „a+10”. În cazul exemplificat vom considera c = 110 mm. La montarea pereților laterali se va avea grijă ca placa de fund 6 și pereții laterali să fie montați față de marginea inferioară a capacului 4 la o distanță mai mică cu 1—2 mm decît grosimea plăcii 6.

Placa 6 se face din același placaj ca și reperele 2 și 3. Reperele 5 și 7 se fac din panel sau scindură de 6—12 mm grosime. Se vor folosi metode de îmbinare obișnuite în tâmplărie.

Reperele 1, 2, 3 se îmbină prin inciere cu aracet și fixare cu cuișoare sau holșuruburi de dimensiuni corespunzătoare. Planșeta aparatului nu va fi lipită pentru a-și menține forma inițială. Se va urmări însă ca așezarea planșetei pe cadrul format din elementele 1 și 2 să se facă cit mai fest.

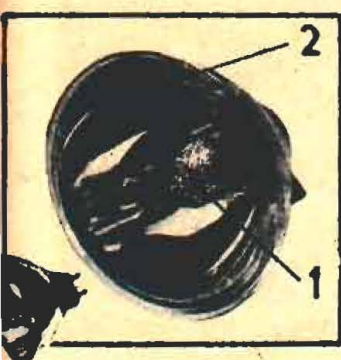
Construcția se completează cu două baghete subțiri (nefigurate), montate pe partea interioară a reperelor 1 ca elemente de ghidare și susținere a sertarului.

Cu acestea construcția este

aproape gata, singura operație care mai trebuie făcută constînd în lipirea unor fișii de catifea sau stofă de culoare închisă pe suprafețele susceptibile de a forma fante neetanșante la lumină.

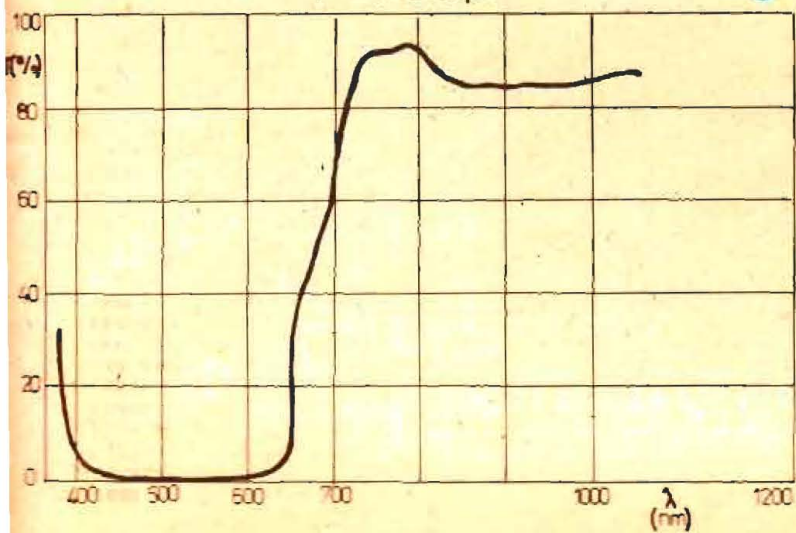
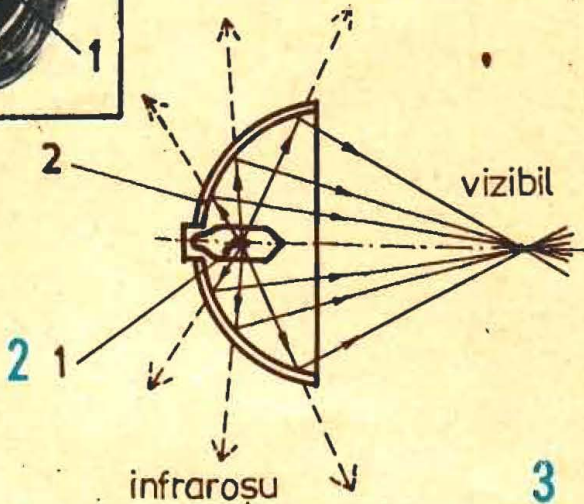
Se va folosi material lemnos bine uscat. Nu se vopșește și nu se încălzește pentru a nu exista riscul formării de vapori ai unor substanțe care să afecteze stratul fotosensibil al hîrtiei care se introduce în sertar.

Construcția este simplă, ușor de realizat cu puțină experiență și îndemnare în tehnica tâmplăriei.



rată principiului de lucru al acestora și puterii lor mai mari comparativ cu becurile de proiecție normale (cu incandescență).

Reducerea cantității de radiații infraroșii, respectiv a căldurii cedate echipamentului (cu implicație negativă asupra peliculelor), se realizează prin intercalarea unor filtre calorice eficiente și prin folosirea în



sistem a oglinzilor reci. Ca etapă ulterioară de perfecționare s-au construit lămpi cu becuri halogen cu oglindă, obținîndu-se astfel un randament luminos crescut prin centrarea absolut corectă a filamentului față de suprafața reflectantă a oglinzii și prin eliminarea filtrului calorice în unele cazuri. Montarea unei astfel de lămpi comportă unica grijă de plasare corectă, centrată față de axa optică.

Figura 1 prezintă fotografia unei lămpi cu oglindă rece de 50—100 W/12 V, destinată capetelor color. Schița din figura 2 oferă explicația denumirii de oglindă rece.

Oglinda este realizată din sticlă optică pe care s-a depus, prin vaporizare în vid, materialul reflectant. Natura materialului și grosimea stratului sînt astfel alese încît pe cale interferențială radiația emisă de becul 1 este împărțită de oglinda 2, cea luminoasă este reflectată, iar cea calorică este refractată.

În figura 3 este dată o curbă principială a transmisiei radiațiilor în funcție de lungimea de undă pentru o suprafață reflectantă interferențială curbă, caz corespunzător situației în discuție. Se observă că în zona vizibilului (400—700 nm) transmisia este nulă sau foarte redusă, ea crescînd după 700 nm, respectiv în infraroșu.

Dezavantajul lămpilor cu oglindă rece este prețul ridicat, de 3—4 ori mai mare decît al unui bec halogen de putere egală, explicația constînd în costurile de fabricație mari ale oglinzii.

Consecință a prețului ridicat, se impun o serie de măsuri de economisire în sensul micșorării duratei de utilizare. Ca exemple de astfel de măsuri putem menționa:

- lucrul cu diafragme mari pentru a realiza timpi de expunere mici;
- nementinerea lămpii sub tensiune în fazele de lucru intermediare;
- alimentarea la tensiuni mai scăzute în fazele premergătoare expunerii sau proiecției propriu-zise;
- folosirea capetelor color numai pentru mărituri pe materiale fotosensibile color;
- evitarea supratensiunilor.

#### (URMARE DIN PAG. 5)

Tranzistorul T este de tip npn, cu siliciu, de mică putere și cu zgomot redus (BC109, BC173, sau chiar BC107, BC172 — prin sortare pentru beta mare și zgomot redus).

Rezistența R<sub>e</sub> din emitor se ia între 1 și 5 kΩ. Valoarea condensatorului C<sub>e</sub> (care poate și să lipsească) afectează, apreciabil citirea, determinînd gradul de filtrare a tensiunii la bornele voltmetrului; ea se alege orientativ între 47 și 470 μF.

Ca instrument indicator se folosește un voltmetru c.c. de 20 kΩ V, pus pe un domeniu de 0,6—3 V.

Pentru etalonare se aplică la intrare un semnal AF cu nivelul cunoscut, de exemplu de 30 mV, se pune voltmetrul pe 3 V și se ajustează R<sub>e</sub> (trimerul) astfel ca acul să indice capul de scală. Se măsoară rezistența R<sub>e</sub> corespunzătoare acestei amplificări de 3 V 30 mV = 100 de ori. Analog se stabilesc valorile lui R<sub>e</sub> pentru alte sensibilități dorite. În final se va introduce un comutator pentru selectarea domeniilor, cu ajutorul căruia se vor conecta în circuit pe rînd rezistențele de etalonare R<sub>e</sub>. Reglajul fin al capului de scală se poate efectua intercalînd în serie cu fiecare rezistență R<sub>e</sub> cite un trimer adecvat. O altă soluție constă în înlocuirea lui R<sub>e</sub> printr-un potențiomtru P de aceeași valoare și conectarea voltmetrului între cursor și masă.

Fiind foarte sensibil la paraziți din mediul ambiant, montajul trebuie ecranat obligatoriu (se introduce într-o cutie metalică, pusă la masă), iar conexiunea de intrare se face cu cordon ecranat.

Experimentarea și etalonarea unui astfel de aparat necesită în mod normal un generator AF reglabil și un osciloscop. Cu rezultate mai modeste se pot folosi și tensiuni „etalon” obținute de la secundarul unui transformator de rețea prin divizivă rezistivă corespunzător calculate.

În fine, menționăm că această aplicație a amplificatoarelor operaționale, întîlnită în literatură în numeroase variante, poartă numele sugestiv de diodă fără prag.

## IONIZATOR DE AER

Fiz. VALENTIN PASCU, Suceava

Noul ionizator pe care îl propunem cititorilor noștri are trei caracteristici esențiale: comportă o construcție simplă, realizează un raport optim între numărul de ioni pozitivi și cel de ioni negativi și, ceea ce este mai important, nu produce oxizi de azot toxici.

### 1. PLEDOARIE PENTRU UN CLIMAT SĂNĂTOS

Longevitatea oamenilor care trăiesc în apropierea râurilor repezi de munte sau pe lângă cascade, cât și incidența redusă a unor maladii (boala hipertonică, astmul, scleroza) în aceste zone sînt îndeobște cunoscute. Explicația este legată de concentrația optimă de ioni mici în aer care prezintă două aspecte:

- cantitativ, care se încadrează în limitele de 1 500—2 000 ioni/cm<sup>3</sup>;
- calitativ, legat de tipul de ioni aflați în exces cu limitele de  $N+/N- = 1,2-1,4$ .

Din ultima relație rezultă că, în mod normal, cantitatea optimă de ioni (+) trebuie să fie mai mare cu 20—30% decît cea de ioni (-). Cum se explică atunci faptul că toate ionizatoarele sînt construite pentru a produce ioni(-)?

În atmosfera marilor orașe și în locuințele moderne ioni mici (-) lipsesc. Gazele de eșapament, aerosolii, iar în locuințe materialele plas-

tice, care s-au substituit celor tradiționale (clasice) în țesăturile păturilor, hainelor, mochetelor, perdelelor, sînt puternic absorbante de ioni mici (-). Ionizatoarele existente, realizate după scheme deja cunoscute, dintre care unele au fost publicate în revista noastră, aduc aport de ioni (-) în compensație. Dezavantajul lor este acela că nu sînt controlabile din punct de vedere al concentrației și cantității de ioni pe care o produc.

Ionizatorul propus înlătură aceste inconveniente, menținînd într-o arie de 2—3 m<sup>2</sup> concentrația și cantitatea optimă.

### 2. DESCRIEREA APARATULUI

Aparatul se compune dintr-un generator de înaltă tensiune, realizat cu un multiplicator de tensiune cuprinzînd un număr  $k=14$  diode și un număr egal de condensatoare, ca în figura 1, și dintr-un fir radiant cu dimensiunile din figura 2.

a) **Generatorul de înaltă tensiune** va folosi diode care să suporte tensiuni de peste 700 V și condensatoare de 10 nF/1 000 V.

Tensiunea la ieșire va fi de:  $U_{IES} = kV2U$ , în care  $k = 14$  (numărul de diode);  $U = 220$  V.

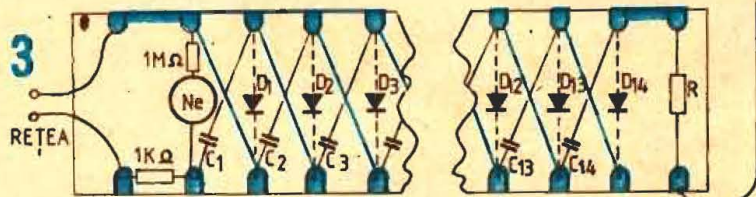
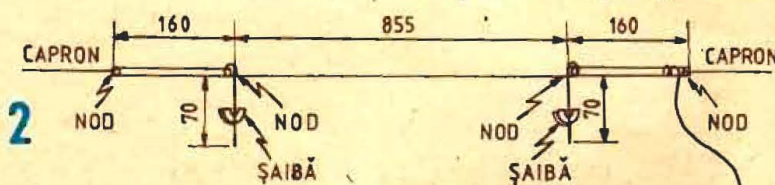
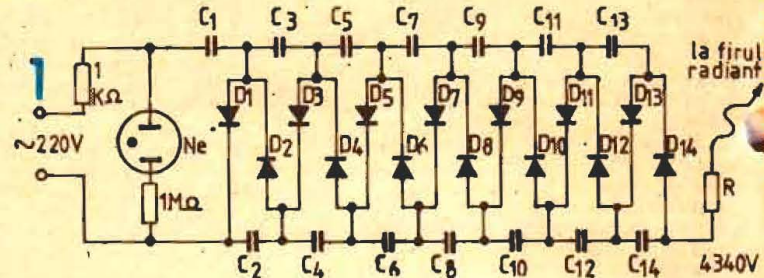
Rezultă:  $U_{IES} = 4 340$  V.

Rezistența de limitare a curentului R are o valoare mare în scopul pro-

tejării persoanei care atinge firul radiant. Se poate construi dintr-un cilindru de material plastic (teflon, roballit), pe care se dispun două coliere; se reglează distanța dintre coliere și cu un megahohmmetru se stabilește o valoare în jur de 1 000 MΩ.

Practic, montajul se poate realiza pe o rigletă dublă cu punți între contacte, ca în figura 3. Pe o parte se vor plasa diodele, iar pe cealaltă condensatoarele. Lampa cu neon indică funcționarea ionizatorului. Evident, ea poate să lipsească, starea de funcționare putînd fi indicată de

cuie, cu respectarea distanțelor minime de 0,5 m. Un fir cu izolație obișnuită face legătura între generator și firul radiant. Se va răsuci la unul din capetele radiantului, fără a fi lăsate „mîstăți”. Din hîrtie nu prea groasă se taie o bandă de 10/80 mm, care se îndoaie de la jumătate, și „călărețul” astfel format se așază peste firul radiant. Se conectează la rețea ionizatorul și, dacă funcționează normal, cînd se apropie mîna de călărețul de hîrtie, acesta se va înclina spre degete. Atingerea accidentală a firului nu este periculoasă.



poziția unui intrerupător montat pe firul de alimentare de la rețea.

b) **Firul radiant.** Se va folosi un fir de oțel, care să nu oxideze, cu  $\varnothing 0,16$  mm și care va avea dimensiunile din figura 2. Greutățile sînt puse pentru a ține verticale capetele de început și sfîrșit ale firului radiant. Se pot folosi șaibe îndoite la jumătate și strînse cu patentul după ce firul a fost trecut prîntre cele două jumătăți. Colțurile șabelor se vor rotunji pentru a evita descărcările Corona. La îndoirile C și D (fig. 2) se vor lega fire de capron (fir de undiță), care vor folosi la ancorarea radiantului între doi pereți opuși ai camerei, ca în figura 4.

Firul radiant va fi așezat la 0,5 m de tavan, pereți laterali sau alte obiecte din cameră. Cîmpul său de acțiune este cel punctat în figura 5. Poate fi întins și între două paturi, la 0,5 m de tavan și nu mai puțin de 1,8 m de pardoseală. Dacă paturile nu sînt distanțate cu mai mult de 1,5 m, ambele persoane vor fi plasate în aria de acțiune a ionizatorului.

### 3. MONTAREA, PUNEREA ÎN FUNCȚIUNE, VERIFICAREA

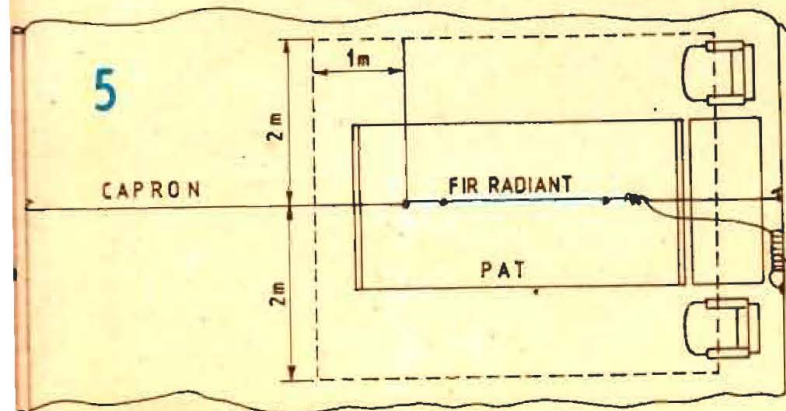
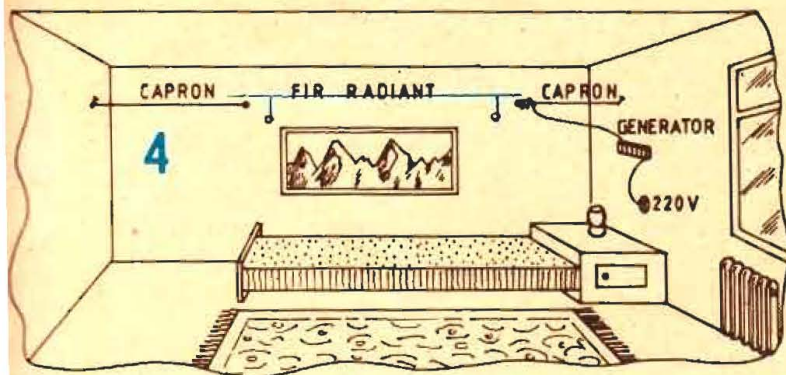
Generatorul de înaltă tensiune, protejat într-o cutie de plastic, se va monta pe perete. Firul radiant se va întinde între doi pereți opuși, capetele de capron fiind prinse de două

După scoaterea de sub tensiune a instalației, timp de aproximativ 10 secunde, călărețul încă trebuie să se încline spre degete.

Aparatul va fi folosit, în general, pe tot parcursul nopții sau de cîte ori ne odihnim. Consumul este infim, practic inexistent, iar funcționarea nu este însoțită de nici un zgomot. Nu se va fuma în camera respectivă, deoarece suspensiile solide împiedică emisia de electroni. O singură țigară fumată deranjează funcționarea timp de cîteva ore.

Ionizatorul a fost testat timp îndelungat și a trecut multiplele probe de control ale specialiștilor.

La un minut după punerea în funcțiune, concentrația de ioni ajunge la valoarea optimă și nu mai crește peste aceasta. În cîteva secunde de la scoaterea din funcțiune a aparatului, concentrația scade la cea inițială. Aparatul realizează un climat îmbunătățit, fără să degaje un miros caracteristic. Nu produce ozon sau oxizi de azot. Deși efectele sale benefice asupra sănătății sînt mari, nu trebuie privit ca un panaceu universal. Cu toate acestea, chiar după prima noapte se vor semnala ameliorări ale somnului și, deoarece efectul are caracter cumulativ, după o perioadă mai lungă de timp se vor înregistra efecte salutare asupra sănătății în general.



# APARATE DE MASURA CU INDICATIE OPTICA

Ing. ZAHARIA IANCU

Aparatele propuse în rândurile ce urmează folosesc pentru indicație o lampă cu incandescență, component electric la îndemina tuturor amatorilor. Dezavantajul principal al circuitului electric cu filament îl reprezintă gama foarte variată a posibilităților de funcționare, ceea ce permite utilizarea lui în aparate indicatoare sau în instalații de semnalizare optică, făcându-l totodată impropriu pentru asigurarea preciziei indicațiilor necesare unui instrument de măsură. În schemele de mai jos acest impediment a fost depășit prin utilizarea pentru indicație a frecvenței clipirilor sau situației „stins-aprins”, fără a fi necesar să se aprecieze intensitatea luminoasă a lămpii.

## VOLTMETRU

Schema electrică din figura 1 reprezintă un voltmetru capabil să măsoare tensiuni continue și alternative cuprinse între 0 și 30 V. Aceste limite pot fi extinse după dorință, ele fiind însă suficiente pentru măsurătorile curente adecvate aparatelor tranzistorizate uzuale, instalațiilor electrice de pe autovehicule sau pentru demonstrații în scopuri didactice.

Schema funcționează astfel: prin poziționarea comutatorului K în una din cele două poziții de lucru, în funcție de natura tensiunii pe care vrem să o măsurăm, se închide circuitul de alimentare a montajului din bateria E. Dacă la bornele de intrare nu apare nici o tensiune, tranzistorul  $T_1$  este închis, lampa nu arde, deoarece tranzistorul  $T_2$  este menținut deschis de către tranzistorul  $T_3$ , închis deoarece are baza nepolarizată în raport cu emitorul. Apariția unei tensiuni suficiente pentru deschiderea tranzistorului  $T_3$ , din divizorul de tensiune format din potențiometrele  $R_3$  și  $R_9$  și rezistențele adiționale  $R_{10}$ ,  $R_{12}$ , provoacă deschiderea tranzistorului  $T_3$ , care, a rândul său, tinde să-l închidă pe  $T_2$ . Variația relativ ușoară a curentului de colector al tranzistorului  $T_2$  este transmisă prin seria  $C_2R_7$  la baza tranzistorului  $T_3$ , determinând deschiderea completă a acestuia. Tranzistorul  $T_2$  se închide, atrăgând deschiderea fermă a tranzistorului  $T_1$ . Lampa L se aprinde, pentru scurt timp însă, deoarece capacitatea  $C_2$  se descarcă destul de repede, iar tranzistorul  $T_3$  revine la pragul de deschidere, aducându-l și pe  $T_2$  la pragul de deschidere. Se reduce curentul de colector al tranzistorului  $T_2$  și lampa tinde să se stingă. Fenomenul se repetă, releul electronic comandat cu tranzistoarele  $T_2$  și  $T_3$  basculează în ritmul impus de capacitatea  $C_2$  și lampa L clipește.

Capacitatea  $C_2$  are rolul de a amplifica luminozitatea lămpii, scurtând impulsul de deschidere a tranzistorului

Rezistența semireglabilă  $R_3$  limitează curentul de repaus al tranzistorului  $T_2$  la 8–10 mA. Dioda  $D_1$  blochează semialternanța pozitivă, în cazul măsurării tensiunilor alternative, împiedicând-o să ajungă la baza tranzistorului  $T_3$ . Eventual, oate lipsi, redresarea fiind asigurată de joncțiunea bază-emitor a acestui tranzistor. Capacitatea  $C_1$  blochează componenta continuă care însoțește tensiunea alternativă măsurată.

Pentru asigurarea unei rezistențe de intrare de 10–15 k $\Omega$ , corespunzătoare sensibilității aparatelor industriale, este necesar ca factorul de multiplicare a tensiunii la bornele de intrare să fie mai mare de 100. Pentru aceasta se

utilizează un preamplificator realizat cu un tranzistor (fig. 2) se obține o rezistență de intrare comparabilă cu cea a voltmetrelor electronice, de ordinul a 50–100 k $\Omega$ .

Practic, aparatul va fi realizat într-o carcasă de formă paralelipipedică, în care se introduc bateriile de alimentare (două baterii de lanternă tip 3R–12 sau 4–6 baterii de lanternă tip R–14 sau R–20 legate în serie) și montajul electronic, realizat pe o bucată de circuit imprimat pe o cârui linie mediană se montează, în ordine, comutatorul cu 3 poziții (la mijloc întrerupt), K, basculant sau prin tranșafie, lampa L, cu soclu E–10/13 și potențiometrul gradat  $R_9$  (sau  $R_{21}$ , caz în care potențiometrul  $R_8$  — calibrare va fi înlocuit cu potențiometrul  $R_{22}$ , cu aceeași semnificație).

Panoul frontal al aparatului susține bornele de intrare, butoanele de acționare ale comutatorului K și potențiometrele  $R_8$  și  $R_9$ , din care  $R_9$  este prevăzut cu scală gradată în volți (gradația „zero” corespunde pe schemă poziției mediane a cursorului), și vizorul lămpii indicatoare L.

Deoarece precizia indicațiilor de 1–2% depinde în mare măsură de tensiunea de alimentare a montajului, implicit de gradul de uzură a bateriei, este indicat ca reglajul să se execute pentru tensiunea de 6 V, urmînd a se alimenta aparatul cu tensiunea de 9 V, corectînd-o la 6 V, pe măsură ce bateria se uzează.

Reglajul și gradarea se execută în comparație cu indicațiile unui voltmetru industrial, considerînd prima clipire a lămpii L. Din capacitatea  $C_3$  se ajustează 3–5 clipiri/s. Din  $R_1$  se limitează tensiunea pe lampa aprinsă, mai mică cu 10–20% decît tensiunea de alimentare a montajului. Se prelungește astfel viața lămpii și a sursei de alimentare. Pentru reglaj rezistența semireglabilă  $R_5$  va fi într-o poziție mediană. În momentul clipirii, curentul de colector al tranzistorului  $T_2$  va atinge 50–80 mA, motiv pentru care intervalul între două măsurători succesive va fi mai mare de 1 minut.

## CAPACIMETRU

Aparatul a cărui schemă este prezentată în figura 3 este destinat să măsoare capacități cuprinse între limitele 2 și 4 000  $\mu$ F, cu tensiuni de lucru mai mari de 6 V.

Aparatul constă din oscilatorul cu reacție prin transformator, realizat cu tranzistorul  $T_1$ , care comandă triggerul realizat cu tranzistoarele  $T_2$  și  $T_3$ , în colectorul cărui este montat și releul electromagnetic R, prevăzut cu un contact de comutare.

La conectarea alimentării, numai tranzistorul  $T_2$  este deschis și lampa L nu se aprinde. În cazul că totuși se aprinde, așteptăm pînă se stingă.

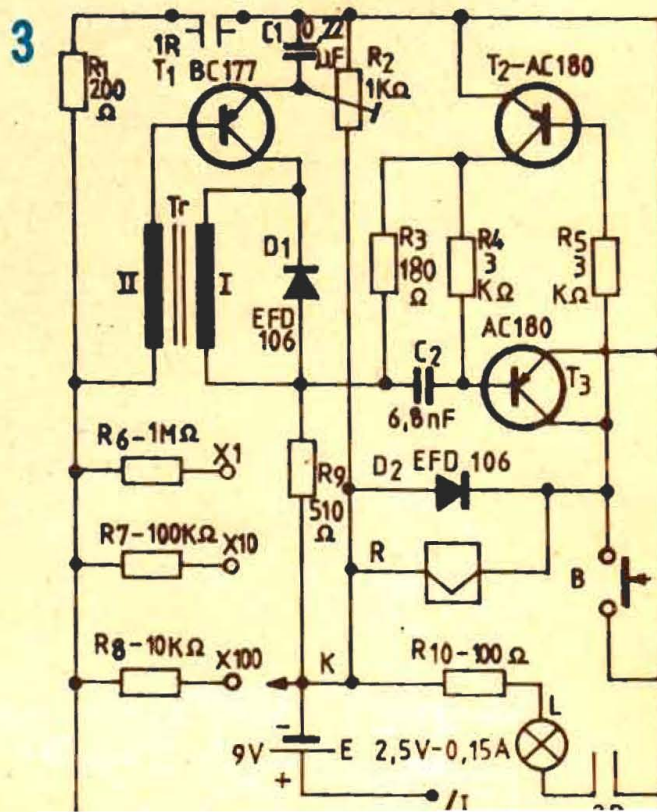
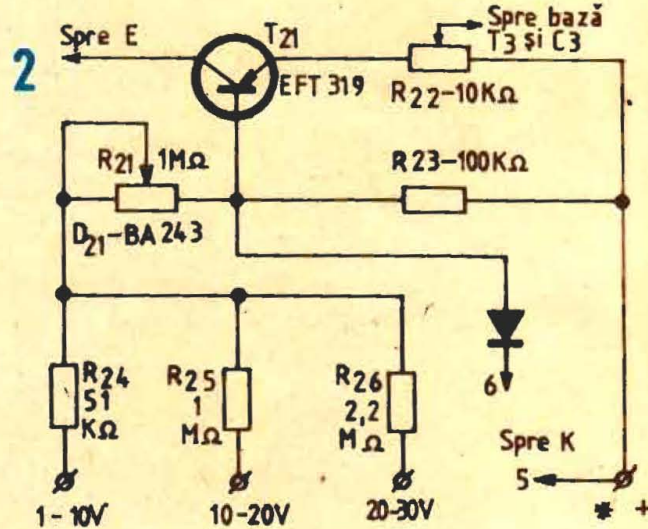
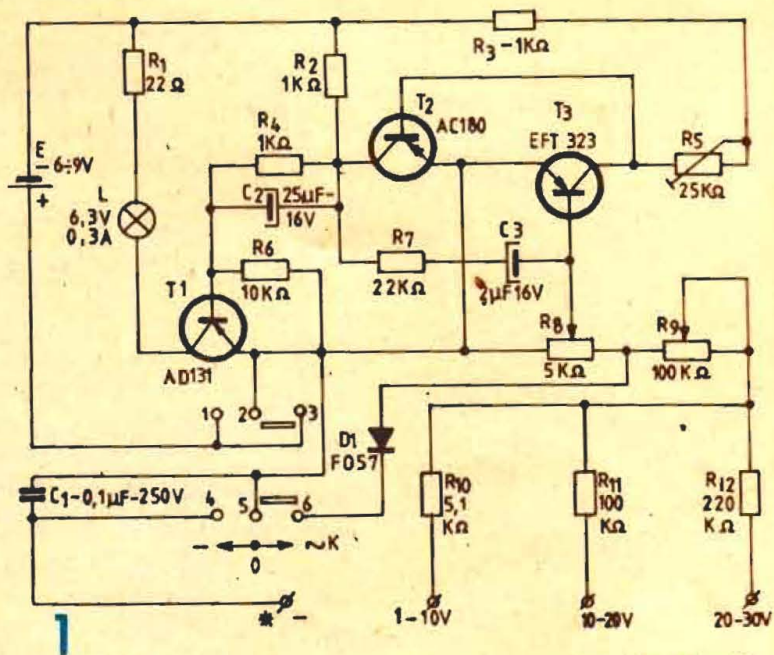
Capacitatea conectată la bornele  $C_x$  este scurtcircuitată de rezistența  $R_1$  prin contactul normal închis 1R al releului electromagnetic.

Apăsăm butonul normal deschis B. Tranzistorul  $T_2$ , închizîndu-se, îl deschide pe  $T_3$ , care atrage releul R. Lampa se aprinde și capacitatea  $C_x$  începe să se încarce prin multiplicatorul decadal  $R_6R_8$ , pînă la valoarea de 63% din tensiunea de alimentare, cînd pornește oscilatorul realizat cu tranzistorul  $T_1$ . Timpul pînă ce tensiunea la bornele capacității  $C_x$  ajunge egală cu 2/3 din tensiunea de alimentare a montajului îl măsurăm cu un cronometru. Bornele de

conectare a capacității  $C_x$  se eliberează, lampa L se stinge. Oprim cronometru, pe care l-am pornit cînd am apăsat pe butonul B. Multiplicînd indicația cronometrului cu coeficientul indicat de poziția comutatorului K, obținem valoarea capacității în  $\mu$ F. De exemplu: poziția comutatorului K x 100 și cronometru

indica 22 secunde. Obținem prin înmulțire:  $C_x = 22 \times 100 = 2\,200 \mu$ F. Releul electromagnetic R se atrage la un curent de 70–100 mA și are rezistența bobinei în jur de 100  $\Omega$ .

(CONTINUARE ÎN PAG. 23)



# DE TELEVIZIUNE ALB-NEGRU ȘI COLOR

Ing. VICTOR BOLCAN

## 1. PROBLEME GENERALE

Ca urmare a hotărârilor Congresului al XII-lea al P.C.R., începând cu data de 23 august 1983 au fost inaugurate primele emisiuni de televiziune în culori (TVC) în țara noastră. Aceste emisiuni sînt inseriate printre emisiunile curente în alb-negru (a.n.) și sînt difuzate prin rețeaua de stații de emisie a programului I de televiziune (TV).

Fenomenele și problemele legate de asigurarea transmisiilor color de bună calitate sînt mai complicate ca în a.n. și presupun ridicarea pe o treaptă mai înaltă a cunoștințelor tehnice și preocupărilor legate de asigurarea și menținerea unor parametri superiori alți în rețeaua de emisie, cit și în rețeaua de recepție (instalații individuale și colective).

Propagarea undelor purtătoare ale informației de televiziune poate fi în multe privințe asemănată cu cea a undelor luminoase, ambele avînd aceeași natură electromagnetice.

Deosebirea fundamentală este însă legată de lungimea de undă foarte diferită și, în consecință, numai în funcție de dimensiunea obstacolelor din mediul de propagare, comparată cu lungimea de undă, se pot face unele analogii. Lungimile de undă folosite pentru rețeaua terestră de emisie sînt cuprinse aproximativ între 0,3 și 6 m, iar cele conținute în spectrul vizibil al luminii aproximativ între 380 și 780 · 10<sup>-9</sup> m (de la nuanța violetă pînă la nuanța roșie).

În cazul undelor de televiziune intensitatea scade cu distanța, ca și la lumină; obstacolele creează zone de umbră radioelectrică, se produc difuzia, difracția, reflexii (unele saloane dacă dimensiunea obiectelor din mediul de propagare se apropie de lungimea de undă), ca și la lumină (vezi coloritul răsăritului și apusul de soare, curcubeul etc.).

Ca urmare a proprietăților de propagare a undelor purtătoare din diferitele canale TV, acoperirea teritoriului unei țări cu programe de televiziune presupune existența a numeroase stații de emisie răspindite pe întreg teritoriul țării și amplasate, de regulă, pe înălțimi naturale sau artificiale dominante, pentru a putea acoperi în vizibilitate directă zone cât mai cuprinzătoare de pe teritoriu. În țara noastră, care are un relief variat, cu numeroase obstacole în calea undelor, s-a impus realizarea unei rețele formate din zeci de stații principale de televiziune și sute de stații secundare sau transatoare. Am putea asemăna rețeaua stațiilor de emisie de televiziune cu o mulțime de faruri, de puteri diferite, destinate în ansamblul lor să „ilumi-

neze" suficient și eficient toată suprafața țării.

Fiecare stație de emisie are în sarcină acoperirea unei zone mai largi sau mai restrînsă, funcție de structura reliefului și poziția amplasamentului, protecția asigurată canalului alocat etc.

Rețeaua de stații a programului I folosește de regulă benzile de frecvență (I, II și III) alocate pentru televiziune în domeniul 48 — 230 MHz cu un total de 12 canale. Fiecare porțiune de pe teritoriul țării este cuprinsă în zona de serviciu a unui anume canal din cele 12. Rețeaua de stații a programului II va folosi, de regulă, frecvențe superioare lui 470 MHz.

În anumite părți mai degajate din zona de serviciu a unei anume stații lei pot face simțită prezența și semnalele de la alte stații vecine sau mai departate, dacă au amplasament dominant și putere aparent radiată (P.A.R.) mare. Raza mare de acțiune a unei stații nu este totdeauna un lucru favorabil deoarece deranjează repetarea aceluiași canal în alte zone prin perturbațiile pe care le poate produce. Se pot produce perturbații și cu stații de televiziune funcționînd pe canale adiacente, canale cu anumite relații nefavorabile de frecvență cu canalul util și cu alte instalații de radiocomunicație.

Avînd în vedere cele de mai sus, cit în țara noastră cit și în țările vecine și chiar la nivel european, alocarea canalelor de emisie pentru fiecare stație în parte presupune luarea în considerare a unui număr mare de factori, inclusiv puneri de acord la nivel internațional pe baza unor reglementări înscrise de toate țările.

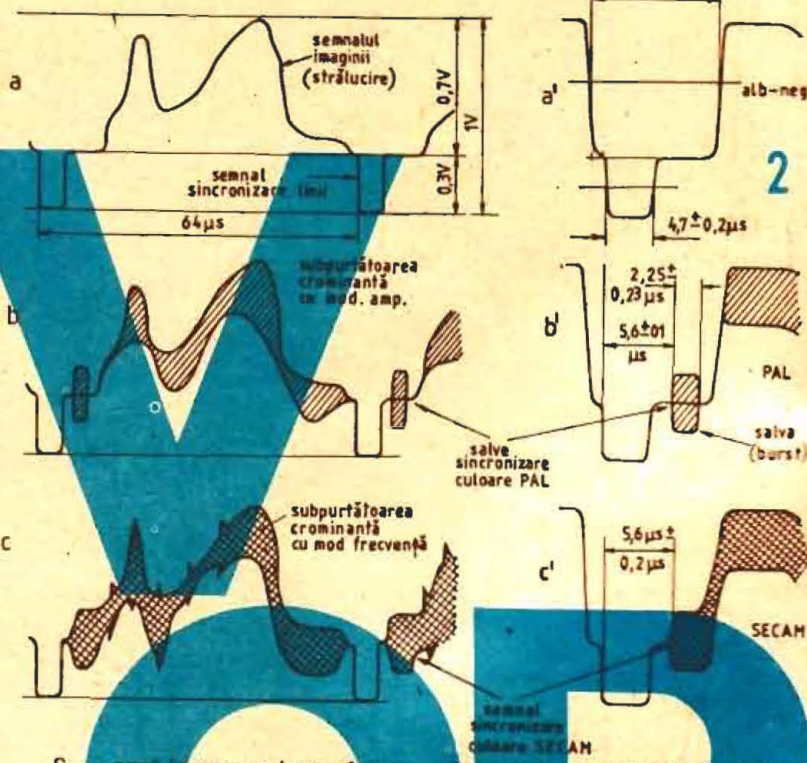
După cum vom vedea, condițiile de recepție din interiorul zonei de serviciu a unei stații nu pot fi la fel de bune pentru totalitatea amplasamentelor datorită distanței față de stația recepționată, structura obstacolelor, poziția antenei de recepție față de obstacolele din imediata apropiere, perturbații etc.

Dacă am considera o situație medie a unei zone de serviciu, am putea prezenta distribuția probabilită a calității condițiilor de recepție în zona respectivă după curba din figura 1 (clopotul lui Gauss). După cum se poate vedea, majoritatea amplasamentelor dispun de condiții bune sau chiar excelente, dar pentru un anumit procentaj de locuri nu pot fi evitate condițiile mediocre sau proaste.

În figura 1 se poate vedea distribuția probabilită a condițiilor de recepție TV, în zona de serviciu, cu caracteristici de teren medii, pe axa X reprezentîndu-se gradele de calitate de la 0 la 5, iar pe axa Y procen-

taje din amplasamentele zonei beneficiind de diferite grade de calitate. Suprafața S a curbei, reprezentînd totalitatea amplasamentelor, este constantă și egală cu suma suprafețelor cu condiții delimitate de numerele întregi 1-5.

S<sub>1</sub> ar fi o zonă cu puține șanse de ameliorare a recepției prin mijloace individuale.



S<sub>2</sub> — zonă în care se impun încercări de optimizare a instalațiilor.

S<sub>3</sub> — S<sub>5</sub> — zonă cu șanse de bună recepție, inclusiv de TVC.

Ne propunem ca într-o serie de articole să trecem în revistă principalele probleme tehnice de care depinde calitatea recepției de televiziune alb-negru și color, prezentînd cîteva din căile posibile de ameliorare a situațiilor dificile (zona condițiilor mediocre și uneori rele, curba din fig. 1).

Vom face cunoștință cu principalele caracteristici ale semnalului a.n. și TVC și vom analiza cîteva din transformările suferite de acesta în lanțul de transmisie. Vom insista mai mult asupra fenomenelor ce se pot petrece în zona de serviciu a stațiilor, după ce undele purtătoare de semnal au fost radiate de antena emițătorului, deoarece în acea zonă diversitatea mare a fenomenelor legate de propagare, obstacolele naturale și artificiale prezintă situații particulare, specifice practic fiecărui amplasament în parte, și nu pot fi controlate prin acțiuni asupra instalațiilor de emisie.

Deși propagarea undelor nu poate fi influențată, cunoașterea citorva fenomene legate de aceasta și în mod deosebit a celor care se petrec în zona din imediata apropiere a fiecărui amplasament de recepție (individuală sau colectivă) poate servi la alegerea unei instalații corespunzătoare de antenă și la amplasarea ei în condițiile optime din zona apropiată de acesta.

Ca primă orientare se poate afirma că, în locurile unde recepția imaginilor a.n. este bună sau foarte bună majoritatea timpului, și recepția TVC va fi satisfăcătoare sau bună. Deoarece optimizarea instalației de recepție acolo unde se simte

preocuparea respectivă este utilă chiar și înainte de a dispune de un receptor color.

Practic, fiecare amplasament de recepție are propriile probleme, cu diverse grade de dificultate, unele chiar foarte mari sau fără posibilități de soluționare, prin propriile mijloace ale posesorilor instalației respective.

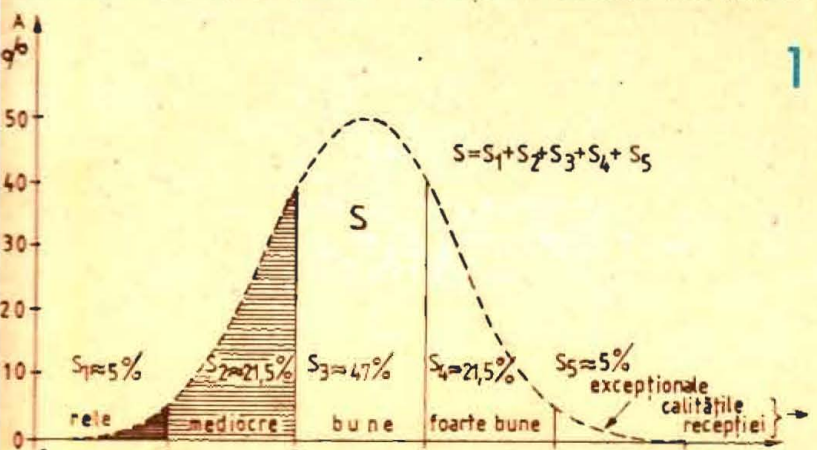
Datorită condițiilor de propagare a undelor de pe diferite canale de televiziune — obstacolele naturale (relief, vegetații), sau artificiale (clădiri, rețele etc.) din preajma amplasamentului și mai ales cele situate pe direcția ce leagă antena de recepție cu cea a emițătorului recepționat —, se produc fenomene diferite între care mai importante

sînt zonele de umbră radioelectrică, reflexiile de obstacole, distorsionarea și perturbarea semnalului util. Suprafața alocată de zonele de umbră depinde de poziția față de stația recepționată și dimensiunea obstacolelor, iar în zonele afectate pot intra localități întregi, părți din acestea sau numai cîteva case sau grupuri de case dispersate.

În vale de munte sau deal, unde de multe ori recepția este nesatisfăcătoare sau imposibilă, poți avea antenă foarte bună, amplificator de antenă etc., fără posibilitatea de a obține o recepție satisfăcătoare dacă nu există condiții „potențial” favorabile pe care să le poți exploata în zona locuinței sau apropiată de aceasta. De regulă, în astfel de zone se face o analiză tehnico-economică, de exemplu: dacă afectează > 1 000 de locuitori, se poate justifica rezolvarea prin instalarea unor stații de translație locale; pentru 1 000 de locuitori prin instalații de distribuție colectivă pe cabluri coaxiale, dacă e vorba de o concentrație de locuințe, sau pe alte căi.

În același timp pot fi numeroase locuri unde condițiile „potențiale” locale sînt bune sau chiar foarte bune, însă neutilizate corespunzător din motive de insuficiență cunoaștere a cauzelor, din lipsa unor mijloace tehnice adecvate, sau pur și simplu prin neglijare.

Prin condiții „potențiale” ale unui amplasament de recepție înțelegem acel maxim de calitate oferit de semnalul sosit de la stația dorită în zona amplasamentului sau în imediata apropiere de acesta, dacă s-ar valorifica optim: poziția și tipul adecvat de antenă, compensarea pierderilor de pe cablul coaxial (amplificator), atenuarea influenței perturbațiilor etc.



# REDAC 625

## NOU NOU NOU



Dintre cele mai recente produse ale Intreprinderii de aparate electrice de măsurat Timișoara am selecționat pentru dumneavoastră redresorul de încărcat baterii de acumulator auto REDAC 625, pe care îl puteți solicita la magazinele specializate cu piese și accesorii auto.

Principalele caracteristici tehnice ale noului tip de redresor sînt:

- tensiunea de alimentare 220 V/50 Hz;
- puterea maximă absorbită 100 VA;

prezentare modernă, noul redresor permite încărcarea acumulatorilor de 6 V și 12 V cu o capacitate cuprinsă între 15 Ah și 90 Ah, acoperind deci practic întreaga gamă a tipurilor de baterii ce echipează autoturismele moderne.

Spre deosebire de celelalte tipuri de redresoare existente, noul model este autoprotejat, mai precis este echipat cu un dispozitiv disjunctiv care asigură, pe de o parte, protecția aparatului în cazul manipulărilor greșite, iar pe de altă parte, protec-

bornele acumulatorului de încărcat (două cordoane cu crocodili).

Aparatul mai este dotat și cu un grafic de utilizare, care dă indicații asupra timpului de încărcare necesar, în funcție de tipul și de starea bateriei. În fine, o lampă de control indică prezența tensiunii la bornele transformatorului, avertizînd astfel conectarea redresorului la rețea.

Se știe că pentru construcția și întreținerea corespunzătoare, cu un

orientativă a tensiunilor etc.

Testorul de tensiune TT-1, pe care îl vedeți în imaginile alăturate și ale cărui caracteristici tehnice le vom prezenta într-un reportaj viitor, răspunde foarte bine acestor cerințe.

# ÎNTRINDEREA DE APARATE ELECTRICE DE MĂSURAT TIMIȘOARA



- tensiunea la ieșire 6 V, respectiv 12 V;
  - curentul maxim de încărcare 8 A;
  - protecție la supracurent și scurtcircuit prin disjunctiv de 6,5 A cu funcționare intermitentă;
  - autoreglarea curentului de încărcare, datorată caracteristicii externe a transformatorului, care limitează superior curentul;
  - aparat indicator de 8 A pentru urmărirea curentului de încărcare;
  - protecția persoanelor împotriva stingerilor accidentale, prin izolația corespunzătoare a părților aflate sub tensiunea de 220 V;
  - greutatea cca 2,5 kg;
  - dimensiuni de gabarit 240 x 170 x 140 mm.
- Compact, robust, cu o linie de

ția bateriei în cazul în care aceasta are tendința de a absorbi un curent de încărcare excesiv.

REDAC 625 se compune dintr-un transformator de rețea, o punte redresoare monofazată și un disjunctiv, toate protejate de o cutie metalică prevăzută cu ferestre de aerisire. Părțile aflate sub tensiune sînt izolate față de cutie.

Pe panoul frontal se află instrumentul indicator al curentului de încărcare, comutatorul de selectare a tensiunii (6 V—12 V) și lampa de semnalizare care avertizează intrarea în funcțiune a autoprotecției prin disjunctiv.

Pe partea din spate a cutiei sînt plasate racordurile electrice la rețea (cordon cu fișă bipolară, care intră în prizele obișnuite de rețea) și la

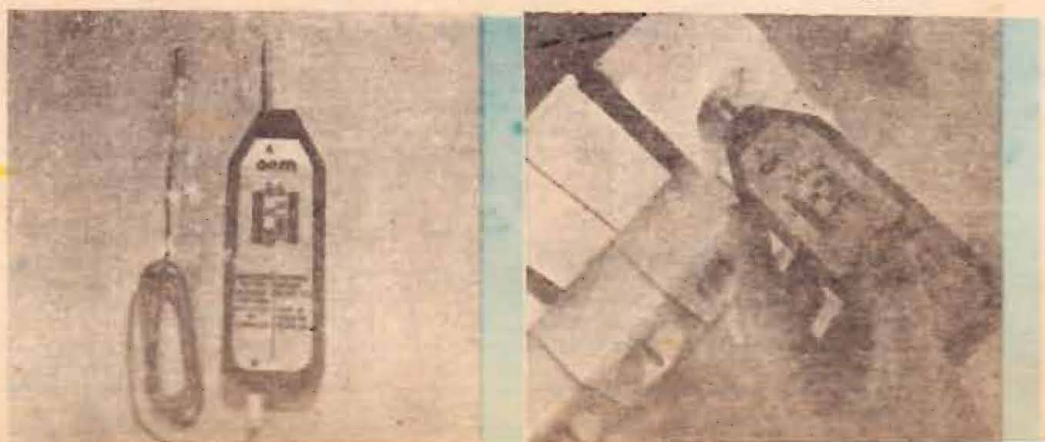
înalt coeficient de siguranță, a rețelelor de alimentare cu energie electrică și a instalațiilor de distribuție, în afară de lucrători calificați mai sînt necesare și aparate adecvate de măsură și control. Or, aparatele de măsură de înaltă precizie — deși foarte necesare și ele pentru unele determinări mai pretențioase — se dovedesc adeseori prea fragile, prea voluminoase și prin urmare incomode, în special pentru operațiile de montare și revizie sau în condițiile de șantier. În astfel de cazuri se preferă utilizarea unor indicatoare simple, robuste, de dimensiuni reduse, care — fără pretenția unor măsurători de precizie — permit identificarea rapidă a conductoarelor de fază, stabilirea succesiunii fazelor, a continuității circuitelor, determinarea

Pentru informații suplimentare privind produsele I.A.E.M. și condițiile de livrare, adresați-vă la ÎNTRINDEREA DE APARATE ELECTRICE DE MĂSURAT TIMIȘOARA, Calea Buziașului nr. 26, telefon: 961/37718, telex: 71343.



## NOU NOU NOU

### TT-1



## 432 / 144 MHz

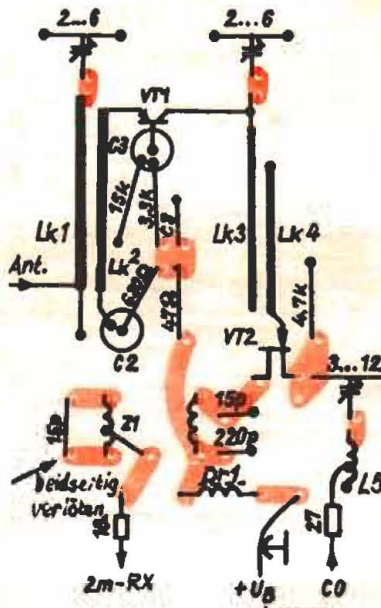
## AMPLIFICATOR

Convertorul conține un amplificator cu tranzistorul AF239 și un mixer cu tranzistorul BF244. Semnalul de 432 MHz se aplică liniei L1, apoi prin linia L2 emitorului tranzistorului AF239. De aici, tot prin cuplaj (L3-L4), semnalul ajunge la grila tranzistorului BF244. În sursa acestui tranzistor este aplicat semnal de 288 MHz de la oscilatorul local. Bobina L5 are 3 spire CuAg 1, bobinate pe Ø 6 mm. Priza este la spira 0,3.

Din drena tranzistorului BF244 se culege semnal de 144 MHz prin două bobine construite pe un suport Ø 5 cu miez de Al. Aceste bobine au câte 4 spire CuEm 0,8.

Liniiile sînt construite din CuAg 1,2 și sînt la distanță de 5 mm de masă. Lungimea lor este dată în desenul cablajului imprimat (scara 1/1).

FUNKAMATEUR, 6/1983

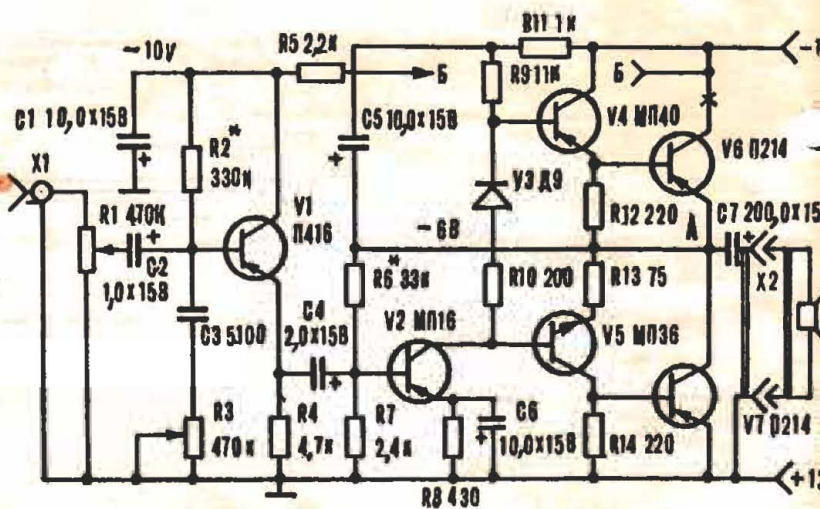


Din materiale și piese de tip mai vechi se poate construi un amplificator util în sonorizarea unui vehicul sau a unei încăperi.

După cum se observă, alimentarea se face cu 12 V dintr-un acumulator sau dintr-un alimentator.

Tranzistoarele P214 se vor monta pe radiator, eventual se vor înlocui cu ASZ15-ASZ17, EFT212.

MODELIST KONSTRUKTOR, 3/1983

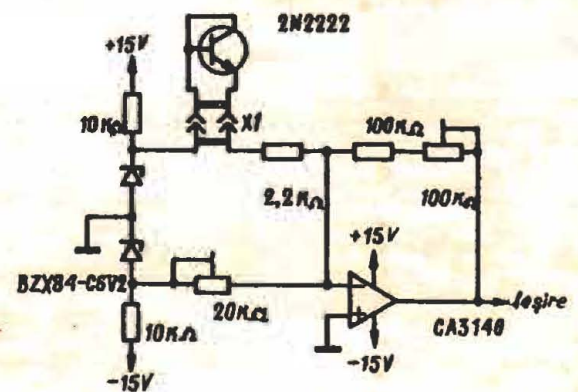


## TERMOMETRU

Montajul se compune dintr-un amplificator CA 3140, iar ca element sesizor al variației de temperatură un tranzistor 2N2222.

La ieșirea amplificatorului se montează un instrument gradat direct în grade. Gama de lucru este cuprinsă între -55°C și +125°C. Diodele Zener sînt PL6, iar amplificatorul poate fi și 741.

RADIO ELECTRONICS, 11/1981

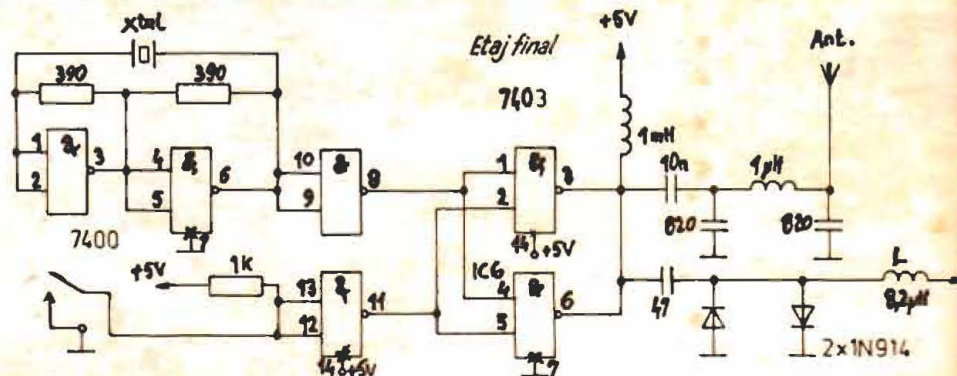


## Tx ~ QRP

Acest mic emițător debitează 200 mW în banda de 7 MHz. Etajul oscilator este construit cu două celule dintr-un CDB 400. Celelalte două celule sînt utilizate în separator și manipulator.

Etajul final este format dintr-un 7403.

CO-DL, 10/1981



U R S S	K188A1	K188A2	K188A3	K188A4	K188A5	K188A7	K188A8	K188P1
Texas Instruments	SN7420N	SN7430N	SN7400N	SN7410N	SN7440N	SN7422N	SN7401N	SN7450N
Fairchild	9N20	GN30	9N00	9N10	9N40	—	9N01	9N50
Motorola	MC7420P	MC7430P	MC7400P	MC7410P	MC7440P	—	MC7401P	MC7450P
National Semicond.	DM8020	DM8030	DM7400	DM8010	DM7440	—	DM8001	DM8050
Signetics	N7420A	N7430A	N7400A	N7410A	N7440A	—	N7401A	N7450A
ITT	ITT7420	ITT7430	ITT7400	ITT7410	ITT7440	—	ITT7401	ITT7450
Mullard	FJH111	FJH101	FJH131	FJH121	FJH141	—	—	FJH151
Toshiba	TD3420P	TD3430P	TD3400P	TD3410P	TD3440P	—	TD3401P	TD3450P
NEC	$\mu$ PB203	$\mu$ PB204	$\mu$ PB201	$\mu$ PB202	$\mu$ PB205	—	$\mu$ PB215	$\mu$ PB206
Mitsubishi	M53220P	M53230P	M53200P	M53210P	M53240P	—	M53201P	M53250P
Siemens	FLH121	FLH131	FLH101	FLH111	FLH141	—	FLH201	FLH151
Telefunken	TL7420N	TL7430	TL7400N	TL7410N	TL7440N	—	—	TL7450N
Sesosem	SFC420E	SFC430E	SFC400E	SFC410E	SFC440E	—	SFC401E	SFC450E
SGS	T7420	T7430	T7400	T7410	T7440	—	T7401	T7450
Phillips	FJH11A	FJH101A	FJH131A	FJH121A	FJH141A	—	FJH231A	FJH151A
Ferranti	ZN7420E	ZN7430E	ZN7400E	ZN7410E	ZN7440E	—	—	ZN7450E
Tesla	MH7420 MHC111	MH7430 MHC111	MH7400 MHA111	MH7410 MHB111	MH7440 MHE111	—	—	MH7450 MHF111
RFT	D120	D130	D100	D110	D140	—	—	D150

U R S S	K188P2	K188P4	K188P11	K188T1	K188T5	K188M5	K188M6
Texas Instruments	SN7453N	SN7455N	SN7460N	SN7474N	SN7474N	SN7492N	SN7492N
Fairchild	—	—	9N60	9N72	9N74	9390	9392
Motorola	MC7453P	—	MC7460P	MC7472P	—	MC7490P	MC7492P
National Semiconductors	DM8053	—	DM8060	DM8540	DM8510	DM8530	DM8532
Signetics	N7453A	—	N7460A	N7472A	N7474A	S7490A	S7492S
ITT	ITT7453	—	ITT7460	ITT7472	ITT7474	ITT7490	ITT7492
Mullard	FJH171	—	FJY101	FJJ101	FJJ131	FJJ141	FJJ251
Toshiba	—	—	TD3460P	TD3472AP	TD3474P	TD3490P	TD3492P
NEC	$\mu$ PB208	—	$\mu$ PB210	$\mu$ PB212	$\mu$ PB214	$\mu$ PB219	$\mu$ PB222
Mitsubishi	M53253P	—	M53260P	M53272P	M53274P	M53290P	M53292P
Siemens	FLH171	—	FLY101	FLJ111	FLJ141	FLJ161	FLJ171
Telefunken	TL7453N	—	TL7460N	TL7472N	TL7474N	—	—
Sesosem	SFC453E	—	SFC460E	SFC472E	—	—	SFC492E
SGS	T7453	—	T7460	T7472	T7474	T7490	—
Phillips	FJH171A	—	FJY101A	FJJ111A	FJJ131A	FJJ141A	FJJ251A
Ferranti	ZN7453E	—	ZN7460E	ZN7472E	ZN7474E	—	—
Tesla	MH7453 MHG111	—	MH7460 MJA111	MH7472 MJA111	MH7474 MJB111	—	—
RFT	—	—	D160	C172	—	—	—

U R S S	K188M5	K188M1	K188PY1	K188T5	K188M6	K188M7
Texas Instruments	SN7493N	SN7495N	SN7481N	SN7477N	SN74192N	SN74193N
Fairchild	9393	9395	—	9397	9360	8366
Motorola	MC7493P	MC7495P	MC7481P	MC7477P	MC7492P	MC7493P
National Semicond.	DM8533	DM8580	—	—	DM8560	DM8563
Signetics	S7493A	S7495A	—	S7477A	S74192A	S74193A
ITT	ITT7493	ITT7493	ITT7481	—	ITT74192	ITT74193
Mullard	FJJ211	—	—	—	—	—
Toshiba	TD3493P	TD3495P	—	—	TD34192AP	—
NEC	$\mu$ PB223	$\mu$ PD226	—	—	$\mu$ PB2192	$\mu$ PB2193
Mitsubishi	M53293P	M53295P	—	—	—	—
Siemens	FLJ181	FLJ191	—	FLQ111	FLJ241	FLJ251
Sesosem	SFC493E	SFC495E	—	SFC481E	SFC4192E	SFC4193E
SGS	T7493	—	—	—	—	—



**circuite integrate**  
**EQUIVALENT**

(URMARE DIN PAG. 19)

Transformatorul  $T_r$  se va realiza pe un miez de ferită de la filtre de frecvență intermediară ale radiocoptoarelor tranzistorizate și cu două înfășurări egale, a 150—175 spire conductor de emailat 0,07—0,09 mm.

Constructiv, aparatul nu se deosebește de voltmetrul descris mai sus.

Mai întâi se reglează oscilatorul autoblocat. Cu rezistența semnalizată  $R_2$  la valoarea maximă (cu la capătul de sus pe schemă), curenții provizoriu la un capăt rezistența  $R_1$ , și ascuțită în casca oscilatorului în derivație pe rezistența  $R_3$  pentru a evita oscilațiile generate. În caz de oscilare, se vor inversa terminalele uneia dintre înfășurările transformatorului  $T_r$ .

Trigerul se verifică legându-se puțin timp în scurtcircuit joncțiunea colector-emitor a lui  $T_3$ , după care se aprinde sau idem la  $T_2$  și la  $T_1$  se stinge.

Refacem montajul și reglăm aparatul astfel ca tensiunea între curs și capătul de sus pe schemă să fie exact de 5,6 V. De această tensiune depinde precizia măsurătorilor.

Rezistența de izolație a capacităților măsurate va fi cu atât mai mică cu cât coeficientul de multiplicare al timpului cât rămâne aprinsă lămpa este mai mic, fiind necesari c

# Tehnum SERVICE

Programul 3 se transmite numai în gama undelor ultracurte. Utilizați un aparat dotat cu această gamă sau construiți un convertor și cuplați ieșirea convertorului la gama de US (10,4—16 MHz).

**CIOBOTARU IOAN — Pașcani**  
Pentru reparații apelați la o reprezentanță a întreprinderii „Electronica”.

**MIRCEA VALENTIN — Roșiori de Vede**

Mira de control TV la care vă referiți aparține televiziunii elene.

**CIOCAZAN GHEORGHE — Jud. Dolj**

Nu cunoaștem schemele la care vă referiți.

**OPREA VASILE — Roman**

Nu deținem schema solicitată.

**RĂDULESCU ION — Jud. Dolj**

În articolul publicat sînt date toate detaliile constructive. Verificați calitatea tranzistoarelor și tensiunea de alimentare.

Pentru televizor apelați tot la cooperativă.

**IOSIVAN NICOLAE — Hunedoara**

Emisiuni de televiziune de la mare distanță se pot recepționa în principal datorită condițiilor meteorologice deosebite; aportul antenei este mai redus. Vom mai publica antene pentru benzile IV-V-TV.

**IOVĂNICĂ TEODORICĂ — Corabia**

fost publicat. În rest nu vă putem ajuta.

**CRISTESCU V. — Suceava**

Recepția TV la mare distanță — imagine și sunet — se datorează unor anomalii — deci și nerespectarea trecerii sunetului poate fi o anomalie.

Mercurul nu se folosește în construcția antenelor.

**GOGU MIHAI — URZICENI**

Verificați condensatoarele de decuplare a motorului, apoi comutatorul de regim.

**PANAIT ADRIAN — Brăila**

Nu trebuie să fiți supărat că magnetofonul dv. redă numai 15 kHz, iar altele 20 kHz. Ca să redă 15 kHz trebuie să aveți difuzoare de calitate și în plus și fiziologic trebuie să recepționați aceste frecvențe.

**DANCIU MIHAI — Vîșeu**

Scrisoarea dv. a fost remisă Federației române de radioamatorism, care vă va trimite răspuns.

**CUȚOV NICOLAE — Tulcea**

Un complex stereo are două amplificatoare identice, TDA 2030 nu are echivalent I.P.R.S.

**LAZA ȘTEFAN — Suceava**

Verificați stabilitatea oscilatorului de linie. Nu deținem schema solicitată.

I. M.

**NICOARĂ SILVIU — Orașul Victoria**  
Vă recomandăm detectorul MF

publicat în „Tehnum” nr. 9/1983 pag. 19

**MUNTEANU EDUARD — București**

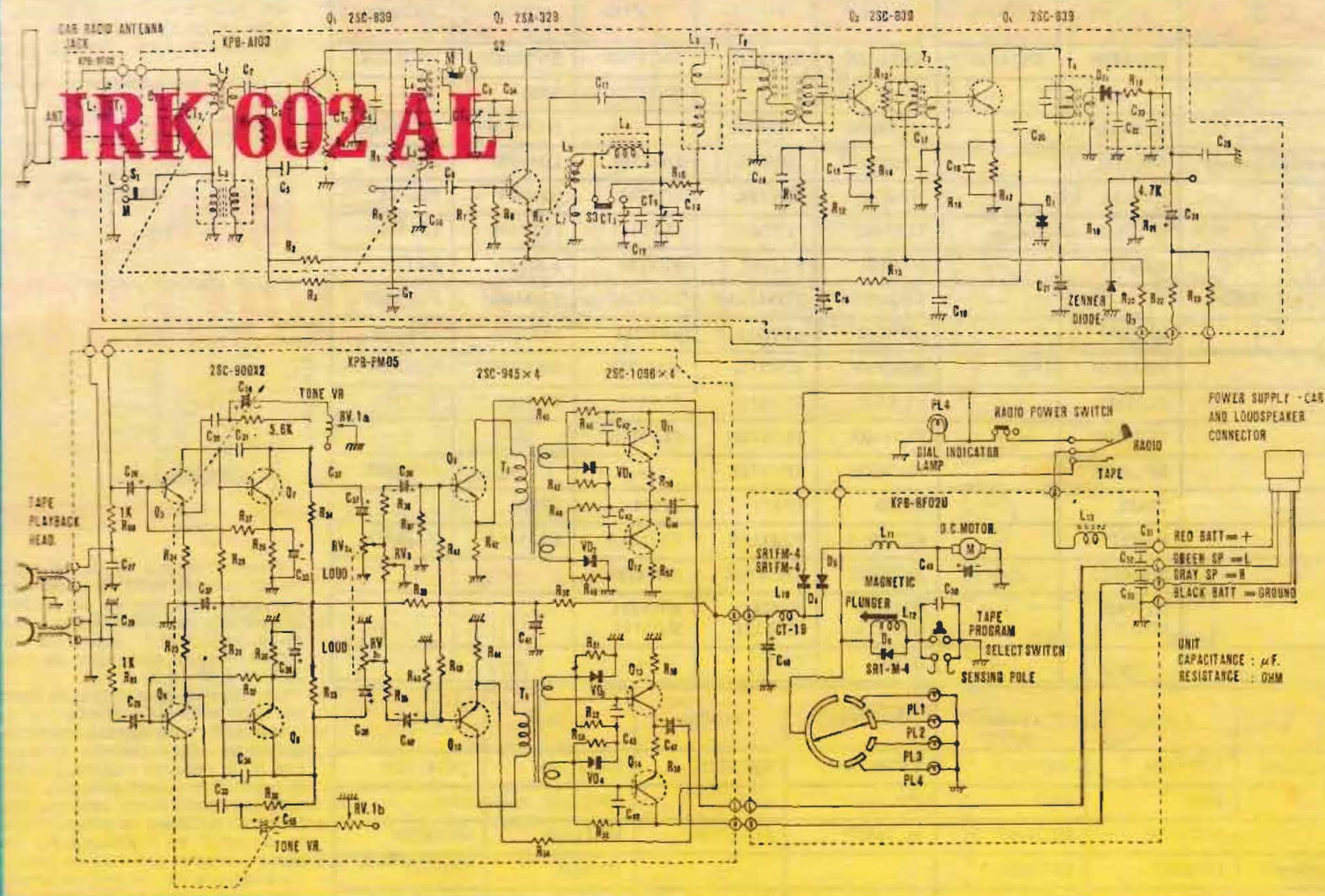
Aparatul IRK 602 AL este destinat a fi montat pe autoturism și se compune dintr-un receptor ce lucrează în unde medii și lungi și dintr-un casetofon apt a cili numai casete mono sau stereo.

Are două amplificatoare de AF ce pot debita 2,5 W pe canal pe o sar-

cină de 4—8 Ω.

Alimentarea se face din acumulatorul autoturismului cu minusul la masă.

Componentele pot fi înlocuite astfel: 2SA329 = BC177; 2SC839 = BF214; 2SC900 = BC109; 2SC945 = BC107.



**Redactor-șef: ing. IOAN ALBESCU**  
Redactor-șef adj.: GHEORGHE BADEA  
Secretar responsabil de redacție: ing. ILIE MIHĂESCU  
Redactor responsabil de număr: flz. ALEXANDRU MĂRCULESCU  
Prezentarea artistică-grafică: ADRIAN MATEESCU

Administrația  
Editura Științelor

**INDEX 44212**

**CITITORII DIN STRĂINĂTATE SE POT ABONA ADRESÎNDU-SE LA ILEXIM — DEPARTAMENTUL EXPORT-IMPORT PRESĂ, P.O. BOX 136—137, TELEX 11226, BUCUREȘTI, STR. 13 DECEMBRIE NR. 1.**

Tiparul executat în  
Combinatul poligrafic „Casa Științei